RUBUUSUUN RUUPUMESNIMBUU ANSNIMBNITUUETH UQAUBHU UYUNEUHUBH SENEYUAHP ИЗВЕСТИЯ НАЦИОНАЛЬНОЙ АКАДЕМИИ НАУК РЕСПУБЛИКИ APMEHUЯ PROCEEDINGS OF THE NATIONAL ACADEMY OF SCIENCES OF THE REPUBLIC OF ARMENIA

ISSN 0515-961X

# **4hSnh@3nhuutr tr4rh uuuhu HAYKN 0 ЗЕМЛЕ EARTH SCIENCES**



Պատասխանատու խմբագիր Բ. Կ. ԿԱՐԱՊԵՏՅԱՆ

Պատասխանատու խմբազբի տեղակալներ՝ Ռ. Տ. ՋՐԲԱՇՅԱՆ, Ա. Ս. ՖԱՐԱՄԱԶՅԱՆ

Պատասխանատու քաrտուղաբ՝ է. Ս. ՌՈՍՏՈՄՈՎԱ

ամբագրական կոլեգիա՝

Պ. Գ. ԱԼՈՅԱՆ, Շ. Հ. ԱՄԻՐՅԱՆ, Ա. Լ. ԱՆԱՆՅԱՆ, Վ. Ռ. ԲՈՅՆԱԳՐՅԱՆ, Ս. Ս. ԳԱՐԲԻՆՅԱՆ, Ս. Մ. ՀՈՎՀԱՆՆԻՍՅԱՆ, Ռ. Լ. ՄԵԼՔՈՆՅԱՆ, Ռ. Տ. ՄԻՐԻՋԱՆՅԱՆ, Ս. Ն. ՆԱԶԱՐԵԹՅԱՆ, Մ. Ա. ՍԱԹԻԱՆ

Ответственный редактор Б. К. КАРАПЕТЯН

Заместители ответственного редактора Р. Т. ДЖРБАШЯН, А. С. ФАРАМАЗЯН

Ответственный секретарь Э. С. РОСТОМОВА

Редакционная коллегия

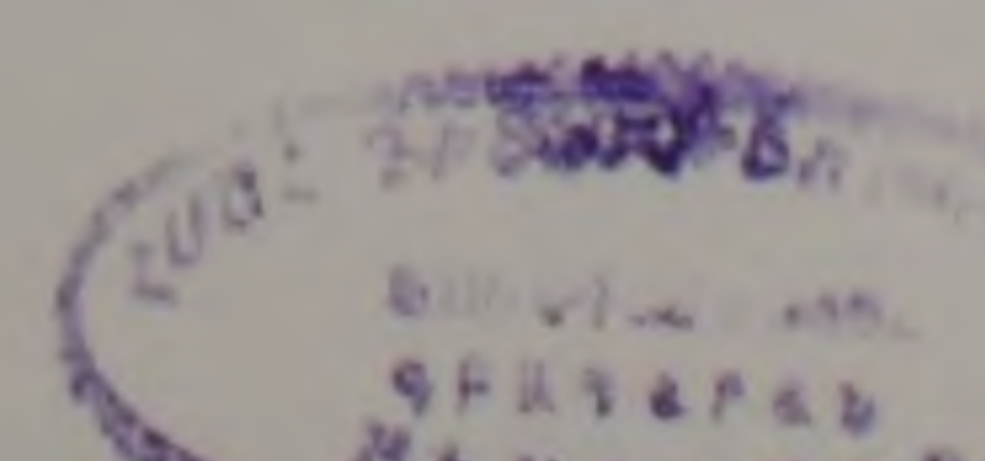
П.Г. АЛОЯН, Ш.О. АМИРЯН, А.Л. АНАНЯН, В.Р. БОЙНАГРЯН, С.С. ДАРБИНЯН, Р.Л. МЕЛКОНЯН, Р.Т. МИРИДЖАНЯН, С.Н. НАЗАРЕТЯН, С.М. ОГАНЕСЯН, М. А. САТИАН AM 409

# ՀՀ ԳԻՏՈՒԹՅՈՒՆՆԵՐԻ ԱԶԳԱՅԻՆ ԱԿԱԴԵՄԻԱՅԻ ՏԵՂԵԿԱԳԻՐ ԳԻՏՈՒԹՅՈՒՆՆԵՐ ԵՐԿՐԻ ՄԱՍԻՆ

2USAP XLIX 1996

P A 4 U. V P U. 4 A P P 8 A P V	
Ա. Ա. Ավագյան, Ռ Տ. Ջոբաշյան. <i>Երկրաբանական տեղեկատվության վիճակը և խըն-</i>	
դիրները Հայաստանում Ֆ. Ա. Հայբապետյան. Հայաստանի հարավ-արևմտյան մասի միջին-վերին էոցենի և օլիուցենի նստվածըների կենսաշերտագրական ստորաբաժանումը փոքր բենքիու ֆո	
րաժինիֆերներով Ռ. Տ. Ջբբաշյան, Հ. Ա. Ղազաբյան, Ս. Հ. Կաբապետյան, Խ. Բ. Մելիքսեթյան, և. Խ. Մնագականյան, Կ. Գ. Շիբինյան, Հայկական լեռնաշխարհի հյուսիս-արևելյան մասի մեղոկայնողոյան հասակի բազալտային հրաբատյնությունը	1
Հ. Ս., Մադոլաև, 3. Հ. Ղանբամանով, <i>հավիի և դազի հոտվածքարանական ծուղակները</i> Հայաստանի Հանրապետության պալևոգենի նստվածքներում	3
6. Հ. Ամիբլան, Մ. Ս. Ագրգակլան, Ա. Ալթունյան, Մարջանի ոսկի-կապար-ծարիրա- յին շանթավայրի ֆորմացիոն պատկանելիությունը և նրա Հանջադաշտի շեռանկար-	
ները 1Ի. Ս. Սիմոնյան. Տարրերի պարադենետիկական անալիզի կիրառումը երկրաթիմիակախ անոմալիպները դնահատելիս Մարջան—Մազմազակ հանրային տեղամասի օրի-	3
նակով Պ. Գ. Ալոյան․ Հայաստանի հանքավայրերի օքսիդացած հանքերի տեսս կավորումը և տեխ	4
նոլոգիական զնահատականը	5
11. Ս. Մես-յան, <i>Հակաֆիլտրացիոն դետնահողային իւսանուրդների կազմի</i> ընտրու- Ոյան եղանակ	6
Վ. Մ. Մոյնագրյան. Հայկական լեռնաշատրհի լեռնալանջերի ձևավորման և զարգացմ Հն Հիմնական օրինաչափությունները	6
Ս. Խ. Իաղբամյան. Հայկական լեռնաշխարհի կենտրոնական մասի երկրակեղեի սեյսմիկ ձեղթվածթավորումը և ըստ ժամանակի լարվածա ղեֆորմացիայի վիճակի փուիո	7
խությունը Յու. Ա. Աղաբալյան, է Մ. Բաղղասաբյան, Ս., Թ. Բաղդասաբյան, Հ. է արգաբյան. Հայաստանի երկաքի Հանքավայրերի Համալիր յուրացման Հեռանկարները	8
ՀԱՄԱՌՈՏ ՀԱՂՈՐԴՈՒՄՆԵՐ	
Ս. Մ. Գրիգույան, Ս. Ս. Բուբիկյան. <i>Նոր տվյալներ Դիլիջանի շկրտախմբի հասակի</i> վերաբերյալ ըստ բրածո ֆաունայի մնացորդների	
11։ Հ. Տեր-Մինասյան. Հայաստանի Հանրապետության տարածքի սե	8
Ն. Լ. Մելիքյան. Արտեզյան ջրաբեր շերտի ջրահաղորդականությունը որոշելու ՝ դանակի	9
Դ. Հ. Մելքոնյան, Պ. Ա. Մաթևոսյան, Մ. Հ. Մնացականյան, Ս. Գ. Մաբզսյան. Հայաս- տանի տարածթում 1990—95 ԲԱ. օղոնի ընդհանուր տարունակուկյան շափումների արդյունըները	9
СОДЕРЖАНИЕ	
A A Авакян. Р. Т. Лжобашян. Состояние и задачи геологической информа-	

	СОДЕРЖАНИЕ
	А. Авакян, Р. Т. Джрбашян. Состояние и задачи геологической информатики в Армении
	тосным фораминиферам
	А. Садоян, Ю. Р. Каграманов. Литологические ловушки нефти и газа в па- леогеновых отложениях Республики Армения
	О. Амирян, М. С. Азизбекян, А. З. Алтунян. Формационная принадлежность Марджанского золото-свинцово-сурьмяного месторождения и перспективы его рудного поля
P.	С. Симонян. Применение парагенетического анализа элементов при оценко геохимических апомалий на примере Марджан-Мазмазакского рудного участка



<ul> <li>Г. Алоян. Типизация и технологическая оценка окисленных руд месторождений Армении</li> <li>С. Р. Месчян. Метод подбора состава противофильтрационных грунтовых смесей.</li> <li>В. Р. Бойнагрян. Основные закономерности формирования и развития склонов Армянского нагорья</li> <li>А. Х. Баграмян Сейсмическая трещиноватость и временные вариации напряженно-деформированного состояния земной коры в центральной части Армянского нагорья</li> <li>Ю. А. Агабалян, Л. М. Багдасарян, А. Т. Багдасарян, А. В. Маркарян. Перспективы комплексного освоения железорудных месторождений Армении</li> <li>8</li> </ul>
VDATVUE COOFIIIEUUG
краткие сообщения
С. М. Григорян, С. А Бубикян. Новые данные о возрасте дилижанской свиты по исконаемым фаунистическим остаткам
CONTENTS
A. A. Avakian, R. T. Djrbashian. States and Question of Geological Informatics in Armenia F. A. Hayrapetian. Biostratigraphic Dissection of the Middle-Upper Eocene and Oligocene Deposits in the South-Western Part of Armenia According to Smoll Benthos Foraminifera R. T. Djrbashian, G. A. Kazarian, S. G. Karapetian, Kh. B. Meliksetian, A. Kh. Mnatsakanian, K. G. Shirinian, Meso-Cenozoic Bazaltic Volcanism in The North-Eastern Part of The Armenian Highland H. A. Sadoyan, Yu. R. Kagramanov. Lithological Traps for Oil and Gas in the Palaeogene Sediments in Armenia Sh. H. Amirian, M. S. Azizbekian, A. Z. Altounian. Formational Identity of the Marjan Gold-Lead-Antimony Deposit and Prospects of Its Ore Field R. S. Simonian Application of the Elemental Paragenetic Analysis in the Evaluation of Geochemical Anomalies On the Example of the Marjan-Mazmazak Ore Locus. P. G. Aloyan, Classification and Technological Evaluation of Oxidized Ores of Armenia. S. R. Meschian. A Method for Proportioning of Antiscepage Soil Mixtures Compositions V. R. Boinagrian. Basic Regularities in Formation and Development of the Armenian Highland Slopes A. Kh. Baghramian. Seismic Fracturing and Time Variations of Stress-Deformed State of the Earth's Crust in the Central Area of the Armenian Highland. Yu. A. Aghabalian, L. M. Bagdasarian, A. T. Bagdasarian, A. V. Markarian. Prospects of Comprehensive Development of Iron-Ore Deposits of Armenia
BRIEF INFORMATION
S. M. Grigorian, S. A. Bubikian. New Data on the Age of Dilijan Suite According to Fossil Fauna Remnants R. H. Ter-Minasian. Evaluation of Mud Stream Hazard in the Territory of the Republic of Armenia N. L. Melikian. On the Method of Determination of Water Conductivity of Artesian Aquifer D. H. Melkonian, P. A. Matevossian, M. H. Mnatsakanian, S. G. Sarkissian. The Results of Total Ozone Content Measurements over the Territory of Armenia in 1990 to 1995

# СОСТОЯНИЕ И ЗАДАЧИ ГЕОЛОГИЧЕСКОЙ ИНФОРМАТИКИ В АРМЕНИИ

#### С 1996 г. А. А. Авакян, Р. Т. Джрбашян

Институт геологических наук НАН РА 375019 Ереван, пр. Маршала Баграмяна, 24a, Республика Армения Поступила в редакцию 10.09.96.

Проведен анализ основных направлений автоматизации информационного обеспечения и применения количественных методов решения геологических задач. Показаны возможности и пути достижения современного уровня информатики в геологических научных исследованиях и производственных работах на основании опыта ИГН реализации геологических баз данных и математических моделей. В этой связи ставится вопрос об изучении и анализе геологических данных с позиции информатики. Целью этих работ являются структуризация и преобразования формальными методами, а также организация хранения, оперативного доступа и использования накопившихся за десятилетия геологических данных

Быстрое расширение областей, вовлекаемых в современную информатику, и очевидные преимущества ее применения являются достаточным обоснованием целесообразности ее широкого внедрения в геологию Армении. (Сегодняшнее состояние информационного обеспечения геологических научных исследований и практических работ в Армении не может считаться удовлетворительным). В связи с этим неизбежным процессом нам кажется актуальным в настоящей статье представить общие подходы и те основные задачи информатики, которые на основании опыта работ в Институте геологических наук (ИГН) НАН Армении нам видятся применительными к специфике геологии Республики.

Следует отметить, что работы в этой области проводились геологическими организациями Армении разрозненно, без общего плана и единых методических принципов. Первые шаги по объединению усилий работы в этом направлении предпринимаются ИГН НАН и Гос-

упрнедра РА.

Работы в области информатики связаны общей целью последовательного наращивания баз данных о минеральных ресурсах и месторождениях, а также автоматизации решений некоторых основных задач геологической науки и практики и, по-видимому, представляют собой самые результативные шаги в области геологической информатики-Причины такого положения вытекают также из принципов ведения экономики в прошлые годы, которые скорее стимулировали получение повой информации при экстенсивных методах ее обработки, чем способствовали интенсивному, углубленному использованию имеющихся данных.

В настоящее время обостряется необходимость интенсивного использования накопившихся геологических данных в связи с новыми принципами экономики Республики Армения и складывающейся соответственно им тенденцией сокращения объема полевых исследований. В связи с этим и следуя опыту развитых стран, в данной статье впервые ставится вопрос о том, чтобы объектом исследований, наряду с традиционной тематикой, сделать геологическую информацию, накопленную в Армении на протяжении многих десятилетий. Предметом исследований могут стать все виды информации, используемые геологической наукой, производством и смежными областями народного хозяйства. Конечной целью обсуждаемого направления исследо-

ваний является создание научных и методических основ для развитой информационной системы, действующей автономно или в составе возмажной в будущем Республиканской информационной сети. Более близкими практическими результатами представляются создание и поэтапное наращивание автоматизированного геологического информационного обеспечения управленческих, производственно-экономических, проектных решений и научных исследований.

Для геологии предпочтительными методами и приложениями информатики являются: составление специализированных программ, автоматизация хранения и пользования данными на основе баз данных и персональных компьютеров, анализ структуры и формальное представление данных, построение количественных моделей объектов, процессов и отношений между ними, разработка правил адекватного применения и корректной интерпретации результатов вычислительных методов. В ограниченных случаях оказывается возможной также автоматизация получения данных при полевых, аналитических работах. Рассмотрение перечисленных задач является содержанием данной статьи.

За рубежом указанные вопросы имеют длительную историю развития. Из них наиболее актуальным было и продолжает оставаться создание информационных систем для оценки состояния, перспектив и степени изученности минеральных ресурсов. В этих системах полезные ископаемые и месторождения рассматриваются как товарное качество и национальное имущество в геологическом, технологическом и экономическом аспектах. Более двух десятилетий в США. Франции, Японии. Израиле и др. странах на национальном уровне созданы системы баз различных геологических данных, в том числе разведочных, картографических, каталогов буровых скважин [6, 7, 8, 9].

В странах СНГ на протяжении последнего десятилетия геологическая информатика развивалась в направлении создания тематически специализированных баз данных, т. е. ограниченных как по геологической тематике, так и по виду и форме данных. Подобные базы данных обычно содержат информацию, относящуюся к определенному региону. По этой причине, а также вследствие программной несовместимости баз данных на территории СНГ до сих пор отсутствует кооперация в области геологической информатики между странами и

регионами.

Развитие обсуждаемого направления и его сегодняшнее состояние в Республик можно представить на примере работ, проведенных в ИГН НАН РА. Изложение нашего опыта далее в статье построено таким образом, чтобы показать возможности методов информатики в каждой из традиционных стадий геологических работ: обзора литературы, полевых наблюдениях, аналитических и камеральных работах, в которые входят анализ данных, построение и интерпретация вычислительных моделей, а также рутинные работы по оформлению результатов работ в виде отчетов или подготовке к публикации.

Автоматизация работы с библиографическими материалами важна в связи с тем, что научно-исследовательские и производственные работы по геологии, будучи процессом генерации информации, сами являются мощным потребителем литературных данных. В автомативированной системе научно-технической информации, в сферу обслуживания которой ранее входила также Армения, головной организацией по геологии является РИЭМС. Вероятно, восстановление связи с этой системой наиболее реально связано с подключением к глобаль-

ной информационной сети [4.5].

Библиографическая информационная система может базироваться на персональном компьютере и быть предназначена для индивидуального пользования. Система такого назначения в ИГН была разработана годы назад, однако не получила распространения вследствие малочисленности персональных компьютеров. При ее составлении был использован большой опыт первого фундаментального русскоязычного тезауруса с английским переводом терминов [3]. Тезаурус представляет собой пополняемый машинный словарь ключевых слов, в котором определены синонимы, вышестоящие и нижестоящие по объему термины каждого ключевого слова. В последующем возможности автоматической обработки и использования литературных источников значительно расширились в связи с появлением фирменных программных средств для составления справочных систем, содержащих произвольные данные.

Полевые наблюдения трудно поддаются автоматизации, ее методы наиболее разработаны для аппаратных средств, Такая возможность имеется на стационарных объектах наблюдения, оборудованных автоматическими записывающими устройствами. Наш опыт автоматизации аналитических работ также имеет характер отдельных экспериментов, в частности, в области спектрального анализа. Наиболее полная автоматизация этого процесса охватывает передачу интенсивности спектральных линий с помощью аналогово-цифровых устройств в ЭВМ, затем—машинная интерпретация этих линий и печать результатов. В ИГН реализована часть этой схемы, автоматически интерпретирующая интенсивности спектральных линий, вручную вводимые в

компьютер.

Камеральные работы разнообразны как по форме, содержанню так и по глубине их обработки. Относящиеся к ним чертежные, картографические, вычислительные и машинописные работы с высоким эффектом поддаются автоматизации. В литературе имеется опыт автоматизации описания и анализа структуры и минерального состава пород в прозрачных шлифах, однако дальнейшего развития эти ме-

тоды не получили.

В настоящее время в традиционной геологической картографии успешно применяются методы компьютерной графики. Состояние в этой области можно описать на примере НГН, где как программные, так и аппаратные возможности соответствуют современному уровню. Необходимая вычислительная техника для картографических работэто специфические устройства ввода (цифрователь, сканер) и вывода (графопостроитель или плотер). Обработка или создание графических документов, в наиболее сложном случае-карт и трехмерных изображений, начинается с ввода данных в ЭВМ. Карты предварительно кодируются путем трансформации в цифровые данные. Такое представление графических данных позволяет их обрабатывать самыми разнообразными численными методами, редактировать, прибавлять и убавлять данные, а также строить новые производные карты и выводить их на бумагу автоматически, с помощью графопостроителя. Полная схема автоматизации исключает ручное черчение и позволяет получить без дополнительных работ различные варианты карт или их фрагментов.

Особой интересной областью работ является создание картографических баз данных. Такого вида работы в настоящее время продолжают углубляться, однако их описание выходит за пределы нас-

тоящей статьи.

Описанными средствами построены: серия моноэлементных геохи-мических карт бассейна озера Севан, погоризонтные планы распределе-

иня содержаний, выраженных в изолиниях полезных компонентов некоторых промышленных месторождений Армении. Примером интересного решения одной из задач автоматизированного картирования явилось построение лаидшафтно-геохимической карты Разданского района масштаба 1:50000. Эта производная карта создана путем сложения информации четырех карт—геоморфологической, геологической, климатической, растительных поясов. Составление такой карты представляет собой задачу отнесения территориальных единиц к заданным группам и затем графическое изображение результатов классификации. Подобные комплексированные карты могут иметь самое широкое применение.

Научные исследования и практические работы в геологии основаны на изучении структуры исходных данных, количественном описании объектов и отношений между ними, построения адекватных геологическому содержанию моделей. Описанные до сих пор работы служат этой основной цели, ее обслуживают также автоматизированные базы данных в качестве информационного обеспечения.

Анализ исходных данных производится с целью их структуризации и разработки способа формального описания предмета исследования, используемого при конструировании баз данных и количественном моделировании. Методы анализа геологических данных определяются их специфичностью, заключающейся в неоднородности (подетальности изучения) объектов или их частей, неодинаковой точности различных методов измерения и описания свойств объектов разнородности по форме представления—числовая, графическая, текстовая.

Первые две особенности приводят к необходимости анализа качества данных и их соответствия решаемой геологической задаче.

Для этой цели применяются статистические числовые методы, определяющие независимость совокупности данных, принадлежность членов выборки одной генеральной совокупности, адекватность данных наблюдений выбранной модели. Различная форма данных требует применения методов формализации, позволяющих совместное их использование, в том числе кодирование графической информации.

Особенности формализации текстового материала геологического содержания связаны с тем, что такой текстовой материал, как правило, составляется довольно свободно не только в отношении стиля изложения, но и пользования терминологией. В то же время в геологической практике известны довольно установившиеся формы документации, например, скважин, горных выработок и др., традиционная практика использования которых показывает, что без ущерба для содержания можно разработать также определенные правила описания и других геологических объектов—месторождений, рудных тел, сстественных обнажений горных пород, геологических разрезов и др. Разработка таких правил и соответствующих им документов необходима для того, чтобы иметь входной документ, достаточно формализованный для работы с ним в автоматизированном режиме, но унифицированный не в ущерб содержанию.

Разработка таких документов связана также с уточнением терминологии, номенклатуры описываемых геологических образований, в том числе с установлением синонимов не рекомендуемых к употреблению терминов и т. д. Заполнение же документов по каждому геологическому объекту является процессом создания новой информации. Для информационной системы «Минеральные ресурсы» в ИГН совместно с НЦ «Геоэкономика» разработан паспорт для типового опи-

сания месторождений полезных ископаемых, включающий общие и географические сведения, данные по геологии структуре, минеральному составу сортов полезного ископаемого, сведения о запасах, условиях отработки и экономической оценке месторождения. Составлены паспорта более четырехсот месторождений, зарегистрированных в Госбалансе РА.

Математическое моделирование геологического объекта рассматривается как построение его формального количественного образа, который неотделим от цели работы, практического применения молели Методы моделирования в значительной степени зависят и от содержания объекта-рудное месторождение, магматическое или осадочное образование и т. д., однако идеология моделирования во многом одинакова для различных областей геологии. Общим и независимым от содержания объекта в моделировании является выбор признаков. представительно описывающих объект, анализ и систематизация данных и разработка методики представления данных. Для некоторых областей геологии такие решения находятся весьма просто. Например, для построения геолого-статистических моделей месторождений полезных ископаемых применительно к задачам разведки, подсчета запасов используются данные детального опробования и документация горных выработок. В большинстве же случаев при построении многофакторных моделей сложным вопросом является выбор определяющей информации. Так, при геохимических поисках основным является установление элементов индикаторов, при прогнозе месторождений установление рудоконтролирующих факторов и относительная количественная оценка их роли. Далее важным вопросом является выбор теоретической модели по признаку ее соответствия содержанию моделируемого геологического объекта. Здесь определяются также количественные отношения между признаками, их информационный вес в модели.

Следует отметить, что уже на стадии подготовки к моделированию обрабатывается большой материал, что повышает его ценность ч создаются возможности для его многократного использования в других аналогичных задачах. Например, данные, подготовленные для подсчета запасов, затем, с добавлением новых, могут быть многократно использованы для оперативного анализа движения запасов.

Информационная ценность геологического материала повышается за счет того, что произволятся контроль качества, анализ структуры и систематизация данных, формируются новые производные данные а также новые формы представления данных (построение диагностических, генетических и др. диаграмм), оформление данных в виде, удобном для постоянного хранения и прямого оперативного доступа. Кроме указанных часто обнаруживаются новые, неизвестные отноше-

ния между признаками моделируемого объекта.

Наряду с количественным описанием изучаемого объекта результатом математического моделирования является создание методов, алгоритмов, программ для решения аналогичных задач на других объектах. Применение в практической геологии этих средств, а также моделей детально изученных объектов в качестве эталонных обеспечивает надлежащий методический уровень работ, выполнение инструкций и рекомендаций, заложенных в модели, строгую научную обоснованность анализа и интерпретации полевых и камеральных материалов. В научных исследованиях более важны те результаты моделирования, которые приводят к сопоставимости работ разных авторов за счет стандартизации схем интерпретации и представления результатов исследования,

Следует отметить, что пами пакоплен опыт моделирования рудных месторождений в связи с геологоразведочными задачами. Наиболее разработанными методами и задачами моделирования рудных месторождений являются количественное описание месторождений на основе молели статистики случайной величины применительно к детальной назведке и полсчету запасов, построение объемной геолого-математи-

ческой модели рудных месторождений.

Первый тип модели использован для всех месторождений Армении, запасы которых подсчитывались на протяжении последних лет. Этим методом получены интересные результаты, в особенности при высокой изменчивости содержаний полезных компонентов. Изменчивость оруденения анализируется дифференциально в соответствии с практическими задачами оценки достоверности подсчета запасов и определения степени устойчивости состава рудной массы в пространстве рудного тела или месторождения и во времени—при обработке руд. На Меградзорском месторождении золота показана целесообразность интервальной оценки среднего (по причине высокой изменчивости) содержания полезных компонентов. Сравнением выборочной средней с доверительными интервалами истипной средней прогнозируется отклонение запасов золота от подсчитанных в пределах от 5 до 15%

Методом, основанным на модели статистики случайной величины, определяются минералогические типы руд, устанавливаются их количественные соотношения и пространственное распределение. На Техутском медно-молибденовом месторождении анализом двухмерного (совместного) статистического распределения меди и молибдена по пробам 18-и горизонтальных слоев установлено, что распределение меди и молибдена не зависят друг от друга, что свидетельствует о наличии на месторождении как самостоятельно медных, так и молибденовых руд, а также о количественном преобладании такого состава руд над медно-молибденовыми рудами. Сравнением послойного статистического распределения устанавливается также изменение соотношения минералогических типов руд по вертикали. Полученные данные подтверждают выводы, основанные на изучении вещественного состава руд [2] и помогают в построении объемной модели месторождения.

Сходные задачи методом объемного, трехмерного тренд-анализа решены на Каджаранском месторождении, для Левобережного участка. Для рудных месторождений методика тренд-анализа была применена впервые [1], в результате чего выделены статистически однородные объемные зоны и установлено вертикальное зональное строение Левобережного участка, количественно описаны пространственные закономерности распределения меди и молибдена.

В процессе наших работ методы статистического моделирования применялись также в области вулканизма при изучении верхнеплиощен-четвертичных базальтовых породных ассоциаций Армении. Интересные результаты дали также модели климатических процессов, ре-

жима подземных вод и др.

В заключение следует отметить, что рассмотренные вопросы автоматизации информационного обеспечения достаточно полно охваты вают основные области геологических научно-исфледовательских и производственных работ.

Описанные методики, разработанные программы и накопленные базы занных, а также наш опыт работы с ними свидетельствуют о том, что современные возможности информатики могут быть неограни-

ченно использованы для решения разных вопросов геологии Армении. Системные, координированные действия геологических учреждений в этом направлении приведут к многостороннему эффекту. С одной стороны будут ревизированы и систематизированы накопленные десятилетиями материалы, с другой—повысится эффективность их использования, что станет достаточной компенсацией резкого сокращения объема полевых геологических работ.

Работа выполнена в рамках темы 94-579, финансируемой из

госбюджета Республики Армения.

#### ԵՐԿՐԱԲԱՆԱԿԱՆ ՏԵՂԵԿԱՏՎՈՒԹՅԱՆ ՎԻՃԱԿՆ ԵՎ ԽՆԴԻՐՆԵՐԸ ՀԱՅԱՍՏԱՆՈՒՄ

Ա. Ա. Ավագլան, Ռ. Տ. Ջրբաշյան

#### Ufhnhnif

ժամանակակից տեղեկատվությունը լայնորեն տարածվել է նաև նրկրւբանության ասպարեզում։ Հայաստանում այս ուղղությամբ աշխատանոներ
կատարվում են ավելի քան մեկ տասնամյակի ընթացքում, սակայն այս աշխատանքները միավորված չեն եղել մեկ ընդհանուր ծրադրով և նպատակով
նշված բացը լրացնելը հատկապես կարևորվում է այժմ, երբ խիստ կրճասվել է դաշտային և փորձարարական աշխատանքների ծավալը։ Այս պատճառով առաջ եկող նոր տվյալների պակասը կարող է լրացվել առ այսօր գոյություն
ունեցող նյութերի առավել ինտենսիվ օգտագործմամբ, ինչև հնարավորու
թյուն են տալիս տեղեկատվական միջոցները։ Այս տեսակետից որպիս նոր
մոտեցում առաջարկվում է հետազոտման առարկա դիտել նաև երկրաբանա-

կան ինֆորմացիան։

ընկնանարության աստանեսուղ աբմեիտավություն ժիտության կիրառություններից առավել գերադասելի են տվյալների պահպանման և փոխակերպման ավտոմատացումը, նրանց ձևական ներկալացման եղանակները, առարկաների, գործընթիացների և նրանց միջև կապերի քանակական մոդելների կա ռուցումը, հաշվողական եղանակների և մաթեմատիկական մոդելների հետ ավորված կիրառումը և մեկնաբանումը։ Որպես ուսումնասիրության առարկա քննարկվող ասպարեզում կարող են հանդես դալ տեղեկատվության բուոր տեսակները, որոնը ծառալում են երկրաբանական գետությանը, արտադրությանը և ժողովրդական տնտեսության կիր այլ ճյուղերին։ Քննարնվող ուղղունյան վերջնական նպատումը հանդեսանում է դարդացած տեղենատվակա Տամակարգի դիտական և մեթոդական հիմքի ստեղծումո, չետադալուս չաւրապետական տեղեկատվական ցանցի կաղմում գոոծելու չամար։ Հայաստանում երկրաբանական տեղեկատվության ասպարեզում անցյալ տաբիների ընթացքում աշխատանքներ կատարել են հիմնականում ՀՀ ԳԱԱ ԵԳ ինստիսուտում։ Այդ աշխատանքների թվեն են պատկանում Թեղուտե, Լենքե, Արմանիսի, Իեյի հանջավայրերի նմուշարկման տվյայների հենքերի կազմում։ և շատկապես Կապանի և Շահումյանի հանթավայրերի երկրաբանական չետախուղական ամալիր տվյալների հենքերի համակարգի ստեղծումը։ Վերջեսե կարևոր հատկանիշը կայանում է նրանում, որ այն ընդգրկում է բազմատեսակ գծագրական, թվային, տերստային նյութեր, որոնո ըստ պահանջի կարող են ձևափոխվել և օգտագործվել համատեղ։

Հային հղանակով կաղմվել են Սևանա լճի ավաղանի հրկրաբիննական մականակությունը Հայիսին մանական հրականական մարդական մանական մարդական արդական մարդական չուրական մարդական չուրական մարդական չուրական չուր

էլեմենտ քարտեզներ և Հրազդանի շրջանի լանդշաֆտների 1:50000 մասշտաբի

քարտրու

Մաթեմատիկական մոդելավորումը դիտվում է որպես երկրաբանական մարմինների, գործընթացների ձևական բանակական կերպարի ստեղծում։ Մոդելավորման ուղղակի արդլունք են հանդիսանում նաև մեթոդական նոր լուծումները, ալգորիթմական և ծրադրային միջոցների ստեղծումը, երկրաբանական նյութի համակարգումը և ժամանակակից պահանջներով կաղմակերակումը և պահպանումը։

-արդում վերլուծունի և երկրարանական արդյունըները բավա-

վետությունը և առաջնահերթ իւնդիրները։

## CONDITIONS AND OBJECTIVES OF GEOLOGICAL INFORMATICS IN ARMENIA

#### A. A. Avakian, R. T. Djrbashian

#### Abstract

The basic directions of information computerization and application of quantitative methods in solving geological problems are analyzed. Based on the experience of the Institute of Geological Sciences in realization of geological databases and mathematical models, the real possibility and way to achieve the modern level of informatics for scientific researches and geological production in Armenia are shown. To this end an issue on study and analysis of the geological data of Armenia from the viewpoint of informatics, aimed at their restructuring and transformation by means of formal methods, arrangement for storing, operational access and use, is put forward.

#### ЛИТЕРАТУРА

1. Авакян А. А., Манукян С. Р. Математическая модель штокверкового оруденения по данным Каджаранского месторождения. В кн.: Многофакторные модели рудных месторождений... Тбилиси, 1988, с. 75—76.

2 Амирян Ш. О., Пиджян Г. О., Фарамазян А. С. Стадии минерализации, минералы руд Техутского месторождения—Изв. АН АрмССР, Науки о Земле, 1987,

№ 4, c. 31—44.

3. Дворкина Б. Д., Долгополов В. М. и др Многоязычный тезаурус по геологии (русский вариант) Л., 1982, 272 с.

4. Клименко С., Уразметов В., Internet—среда информационного обитания общества.

Противно, 1995, 325 с.

5. Каталог локальных баз данных научно-исследовательских учреждений и организаций АН СССР и АН союзных республик. М. 1990, 159 с.

6. Albirt T. N. Geoscience data management. Comp. and Geosc., 1976, vol. 2, pp. 311—313.

7. Bernard A. G. Quantitive fall-back of naturalist classification of ore deposites. Comp. and Geosc.. 1976, vol. 2, pp. 313—315.

8 Boehm S., Frenkel Y., Gill D. Computerised catalog of geological maps of Israel. Compand Geosc., 1980, vol. 6, pp. 451-456.

9. Clark A. L. Resource data bases-resource assessment. Comp. and Geosc., 1976, vol. 2, pp. 309-311.

#### БИОСТРАТИГРАФИЧЕСКОЕ РАСЧЛЕНЕНИЕ СРЕДНЕ-ВЕРХНЕЭОЦЕНОВЫХ И ОЛИГОЦЕНОВЫХ ОТЛОЖЕНИИ ЮГО-ЗАПАДНОЙ ЧАСТИ АРМЕНИИ ПО МЕЛКИМ БЕНТОСНЫМ ФОРАМИНИФЕРАМ

#### С 1996 г. Ф. А. Айрапетян

Институт геологических наук НАН РА 375019 Ереван, пр. Маршала Баграмяна, 24а, Республика Армения Поступила в редакцию 10.09.96.

Впервые в палеогеновых отложениях юго-западной части Армения по мелким бентосным фораминиферам представлено биостратиграфическое расчленение. В основе расчленения находятся представители семейства Anomalinida, которые имеют широкое горизонтальное и вертикальное распространение При расчленении учитывалось также вертикальное распространение других семейств мелких бентосных фораминифер.

При биостратиграфическом расчленении отложений палеогена первостепенное значение придавалось планктонным фораминиферам, на основании которых разрабатывались схемы зонального деления [5, 6, 7]. В разрезах, где отсутствуют планктонные фораминиферы, особое значение приобретают мелкие бентосные фораминиферы, которые дают возможность детального стратиграфического расчленения. Такие схемы в свое время были созданы как для различных регионов в пределах бывшего Советского Союза, так и для зарубежных стран.

В юго-западной части Армении мелкие бентосные фораминиферы имеют широкое распространение в отложениях верхней части среднего эоцена, верхнего эоцена и нижнего олигоцена. В предлагаемой статье приводится определение более чем двухсот видов мелких бентосных фораминифер, относящихся к 56 родам. Из них секреционные формы составляют 65%, а агглютинированные-35%. Изучение систематического состава и особенностей развития мелких бентосных фораминифер показало, что для биостратиграфического расчленения особо важное значение имеют представители семейств Anomalinidae. характеризующиеся быстрой сменой видового состава во времени, что позволяет выделить характерные виды и группы видов. на основе которых возможно уточнение стратиграфического положения и сопоставление содержащих их отложений. В нашем материале присутствуют более двадцати видов аномалинид, дающих возможность дробного подразделения верхнеэоценовых и олигоценовых отложений. Поскольку бентосные фораминиферы не имеют широкого субглобального распространения, как планктонные фораминиферы, автор ограничился выделением слоев по этой группе фауны.

Средний эоцен. Среднеэоценовые отложения представлены нуммулитовыми известняками, песчаниками, алевролитами, глинами и мергелями. В данных отложениях Н. А. Саакян-Гезалян, Ю. А. Мартиросян и В. А. Крашенинниковым выделены зоны по планктонным фораминиферам. В нижней части среднего эоцена, соответствующей зонам Acarinina bullbrooki и Acarinina rotundimarginata, бентосные фораминиферы имеют очень обедненную ассоциацию (в видовом и родовом отношении) и малочисленны. Несмотря на это, в указанном интервале по аномалинидам можно выделить слои с Heterolepa propria.

Верхняя часть среднего эоцена соответствует слоям с i vigerina cos.e.-

lata-Cibicidoides land aricum.

Слои с Heterolepa propria. Породы слоев представлены в основным известняками и крупнозернистыми песчаниками арпинской свиты. Общая мощность в разрезе Ланджар составляет приблизительно 40 м. В разрезах юго-западной части Армении мощность этих слоев сравнительно меньше. Из семейства аномалинид к характерным видам относятся Heterolepa propria, Cibicidina westi, Anomalina granosa, A. spissiformis, Falsipianulina ammophila. Среди других мелких бентосных форамичифер встречяются Reussella terquemi, Chilostomella affinis. В нижней части зоны Hantkenina alabamensis. гле заканчивают свое существование l'eterolepa propria, Chilostomella

affinis, проходит верхняя граница слоев.

Слон с Uvigerina costellata-Cibicidoides land aricum. С нижней части зоны Hantkenina alabamensis мелкие бентосные фораминиферы разнообразны по видовому составу и многочисленны в количественном отнешении. По данным Э. М. Бугровой, на Кавказе, в Крыму и Средней Азин соответственно зонам Hantkenina alahamensis и Globigerina turcmenica по планктонным фораминиферам ею выделена зоня L vigerina costellata по бентосным форминиферам. На исследованной территории этот вид начичает встречаться с верхней части среднего зоцена и продолжает свое существование в верхнем зоцене, a Cibicidoides landjaricum sp nov. встречается только в указанных планктонных зонах. Поэтому данный интервал по бентосным мелким фораминиферам целесообразно называть слоями с Uvigerina costellata-Cibicidoides landiaricum Питологически представлены они в основном мергелями, алевролитами и глинами. Общая мощность варынрует от 50 до 100 и. Здесь впервые появляются Valvulina lacera, Marginulina propinqua, Gyroidina soldanil. Cibicidoides micrus, Heterolepa eoceana, Anomalina affints, Bolivina antegressa angulata и индекс-визы. Присутствуют агглютинированные форыы-Spiropiectammina dalmatina, Textularia dibolensis. Cobmectho c ними продолжеют встречаться frondicularia budensis. Ammodiscus incertus. Valvulina haeringensis, Clavulinoides szaboi, Karreriella cubensis. Pseudoclavulina cylinarica, Marginulina fragaria, Anomalina granosa, A. spissiformis. Cibicidina westi, Falsiplanulina ammophila, Globobulimina ovata, Bulimina sculptilis, Uvigerina spinicostata, Globocassidulina globosa.

Нижняя граница слоев с l'vigerina costellata-Cibicidoides landjaricum фиксируется появлением l'vigerina costellata, Cibicidoides landjaricum sp. nov., C. grimsdalei, C. micrus, Heterolepa eoceana, Planulina costata, верхния граница проводится исчезновением виза

Cibicidoides landjaricum sp. nov.

Верхний эоцеп. В верхнеэоценовых отложениях Северного Кавказа. Крыма и Средней Азии Э. М. Бугрова по бентосным мелким фораминиферам выделяет зону Planulina costata [1, 2, 3]. На территории южной Армении вид Planulina costata единично встречается в среднеэоценовых отложениях, в большом количестве—в верхнеэоненовых и продолжает свое существование в отложениях инжией части нижнего олигоцена. Учитывая общий комплекс мелких бентосных фораминифер, в верхнеэоценовых отложениях южной Армении можно выделить также слои с Planulina costata, которые соответствуют зомам по планктонным фораминиферам Globigerapsis semiinvoluta и Globorotalia cocoaensis. Верхний эоцеп южной Армении литологически представлен мергелями, песчаниками, а также маломощными

нзвестняками. Общая мощность варьирует от 80 до 100 м, В верхнем эоцене в южной Армении по аномалинидам можно дать более дробное подразделение, т. е. выделить слои с Cibicidoides trancatus и слои

e Heterolepa pygmea.

Слои с Cibicidoides truncatus. Они соответствуют нижией зоне верхнего эоцена Globigerapsis semiinvoluta и нижней части средней зоны Globorotalia cocoaensis. Общая мощность върьирует от 30 до 50 м. Из предстанителей семейства аномалинид чарактерными видами являются Cibicidina westi, Cibicidoides grimsdalei, C. micrus, C. truncatus, Heterolepa eoceana, Anomalina spissiformis, A. granulosa. Из представителей других мелких бентосных фораминирер появляются Discorbis schuratensis, Halkyardia minima. Queraltina epistominoides. Совмество с ними продолжают свое существование Ellipsoglandulina multicostata, Cylindroclavulina colomi, Aragonia tanosheki, Nodosaria lateguata, MarBinulina bohmi, M. tragaria, M. pediformis, M. propinqua, Gyroidina soldanii, Eponides praeumbonatus. Нижняя граница фиксируется появлением Cibicidoiaes truncatus, Discorbis schuratensis, Queraltina epistominoides, верхняя—исчезновением Cibicidoides grimsdalei, Cibicidoides truncatus

Слои с Heterolepa pygmea. Данные слои соответствуют верхней части зоны Globorotalia cocoaensis. Они представлены глинистыми породами. Эти слои характеризуются появлением Heterolepa pygmea. Из аномалинид обильно встречаются Cibicidoides ungerianus, С. oligocenicus, Heterolepa dutemptei, Н. biumbonata, И reussi. Среди других мелких бент сных фораминифер установлены Rotalia lithothamnica, Saracenaria arcuata, Bulimina aksuatica, В. pupoides, В. sculptilis, Uvigerina costellata, U. hispida, U. jacksonensis, U. spinicostata, Rectuvigerina millepunctata, Trifarina labrum, Воlivina nobilis. В. nobilis-gracilis, В. denticulata. Мощность слоев варьирует от 20 до 40 м.

Надо отметить, что слои с Cibicidoides truncatus и слои с Heterolepa pygmea содержат сравнительно близкие комплексы мелких бентосных фораминифер. Верхнеэоценовые отложения, которым соответствуют вышеуказанные слои, литологически не отличаются от вышезалегающих осадков олигоцена. Поэтому изменение фаунистических комплексов здесь имеет, вероятно, эволюционный характер и не связано с

фациальными обстановками.

Нижний олигоцеи. Нижнеолигоценовые отложения южной Армении отличаются фауной от одновозрастных пород Северного Кавказа. Крыма и Средней Азии. Поэтому зоны, которые выделены для олигоцена указанных районов, невозможно выделить на исследованной территории в южной Армении. Нижнеолигоценовые отложения представлены глинами, несчаниками и известняками, в которых постепенно увеличиваются мелкие бентосные фораминиферы. В данных отложениях Н. А. Саакян-Гезалян выделены три зоны по бентосным фораминиферам. Они не соответствуют нынешнему пониманию зон и поэтому имеют местное стратиграфическое значение: 1. Нижняя зона смещанных эоцен-олигоценовых фораминифер. 2. Средняя зона Valvulineria erevanensis. 3. Верхняя зона Almaena palmulata.

По нашим исследованиям, в нижнеолигоценовых отложениях выделены слон с Heterolepa graunlosa и слои с Almaena palmu-

lata.

Слои с Heterolepa granulosa. Эти слои хврактеризуются появлением и расцветом следующих видов апомалинид - Heterolepa granulosa, H. reussi, H. autemplei, H. krasheninnikovi sp и v. Cibici-

		Система					
сред	ний эопен	8	ерхний зоцен	пижний отигопен		Поло дел	
P <sub>11</sub>   P <sub>12</sub>	P <sub>13</sub> P <sub>14</sub>	P <sub>15</sub>	P16 P17	P <sub>16</sub>	P	Зоны по планкт пым ф рамини ераг	
		Planuli	na costata	Heterolepa granulosa	Almacna		
H. propria	L. c.siel ata-C.	Cibicidoides truncatus	Heterolepa pygmea			Стои по бентосным фераминиферам	
						Anomalina granosa (Hantken). Cibicidina westi Howe. Cibicidoides micrus Berm. Anomalina spissiformis (Cush.). Cibicidoides landjaricun sp. Heterolepa eoceana (Gümbel). Anomalina affinis (Hantken). Cibicidoides truncatus (Gümb.). Cibicidoides grimsdalei (Nutt.). Cibicidoides ungerianus Orb. Heterolepa biumbonata (Furs.). Planulina costata (Hantken). Heterolepa dutemplei (Orb.). Heterolepa krasheninnikovi sp. Heterolepa pygunea (Hantken). Cibicidoides oligocenicus (Samoilova Heterolepa reussi (Silvestri). Cibicides scaleanus Galloway et Heminway. Heterolepa granulosa (Bermudez). Cibicidoides pseudoungerianus Cushman. Almaena taurica Samoilova. Almaena palmulata Sahakian- Gezalian.	

des scaleanus, Planulina costata. С указанными видами продолжают существовать аномалиниды и другие мелкие бентосные фораминиферы, перешедшие из подстилающих отложений. Слои с Heterolepa granulosa coofbetctbyют зонам Globorotalia centralis-Globigerina gortanii и Globigerina tapuriensis (г.е. соответствуют самой верхней части верхнего эоцена и низам олигоцена). Мощность слоев варьирует от 40 до 60 м. В верхней части слоев с Heterolepa granulosa завершает существование Heterolepa granulosa и уменьшаются в количественном отношении Heterolepa pygmea, H. reussi, Cibicidoides oligocenicus, Cibicides scaleanus, Planulina costata. Из других бентосных фораминифер уменьшаются в размерах Bolivina antegressa и В. nobilis. Верхняя граница слоев с Heterolepa granulosa фиксируется исчезновением Heterolepa granulosa, Н. руд-теа, Н. reussi, Cibicidoides oligocenicus.

Слои с Almaena palmulata. Названные слои представлены песчаниками и известияками, соответствуют зоне Globigerina sellii нижнего олигоцена. Мощность их варьирует от 250 до 500 м. Здесь сокращается число видов планктонных фораминифер; среди мелких бентосных фораминифер преобладают агглютинированные формы. Из представителей аномалинид продолжают встречаться виды, составляющие фон в слоях с Heterolepa granulosa. В большом количестве обильно встречается Heterolepa dutemplei. Из других мелких бентосных фораминифер характерны Rotalia lithothamnica, R. audouini, R. fungiformis, Purgo simplex, Asterigerina ventriconvexa, Fpistomina kuzejensis, Elphidium armenium, Almaena palmulata, A. taurica, Globobulimina ovata, Uvigerina pygmea, Virgulina schreibersiana, Bolivina budensis, B. deniculata, B. nobilis-gracilis, Nonion ova-

tus.

Итак, на территории Армении по мелким бентосным фораминиферам можно выделить: a) слои с Heterolepa propria и слои с Uvigerina costellata-Cibicidoides landjaricum в среднеэоценовых отложениях; б) слои с Cibicidoides truncatus и слои с Heterolepa pygmeaв верхнеэоценовых отложениях: в) слои с Heterolepa granulosa и слои с Almaena palmulata—в олигоценовых отложениях (табл. 1).

Детальное изучение характерных разрезов верхнеэоценовых и олигоценовых отложений Ехегнадзорского, Араратского и Приереванского районов Армении дало возможность наметить некоторые пред-

положения о развитии мелких бентосных фораминифер.

Большой интерес представляет вид Bolivina antegressa Subbotina, который хорошо изучен на территории бывшего Советского Союза. На Северном Кавказе этому виду придавалось важное значение, так как по его появлению проводилась граница между верхним эоценом и нижним олигоценом. На территории Армении Bolivina antegressa Subbotina существует в эоцене и олигоцене, однако отмечаются морфологические особенности в строении этого вида, которые замечены еще в 1960 г. Н. А. Саакян-Гезалян. Среднеэоценовый подвид В. antegressa angulata мелок по размерам, раковина снабжена килем. камеры низкие, плоские, угловатые. Этот таксон продолжает свое существование до средней части верхнего эоцена. В верхах верхнего эоцена и в низах нижнего олигоцена встречается В. antegressu interposita Sahakian-Gezalian Подвид В antegressa dentata Sahakian Gezalian приурочен только к нижнему олигоцену. Камеры последнего по сравнению с древними его формами более высокие и вздутые. У B. antegressa interposita наблюдаются варьирующие признаки раннего и позднего типов строения. В южной части Испании в бассейне Памплона найдена только B. antegressa angulata, которая приурочена к верхам среднего зоцена. Остальные два подвида не обнаружены. B. antegressa angulata на территории северной Италии и в юго-западной части Армении начинает встречаться в середине среднего зощена, а B. antegressa interposita появляется в нижней части верхнего зощена. Этот факт подтверждает, что изучение указанного вида и его подвидов важно не только для проведения границы между верхиим зоценом и олигоценом, но также между средним и верхним зоценом.

Особенно важно и интересно распространение и развитие Волічна nobilis (Hantken) и Bolivina gracilis Cushman. Они свя-

заны промежуточной формой Bolivina nobilis-gracilis Grunig.

Эволюция этих таксонов прослежена в палеогоновых отложениях северно Италин от Bolivina nobilis (Hantken) и до Bolivina gracilis Cushman. Игальянские микропалеонтологи Bolivina nobilis называют те формы, у которых длина раковины превышает 0,5мм и они имеют хорошо выраженные ребра в начальной половине раковины. У некоторых экземпляров длина раковины меньше 0,45 мм, вдоль оси раковины протягиваются почти параллельные маленькие ряды камер, а ребра отсутствуют. Эти раковины идентичны голотипу Bolivina gracilis. Между этими видами выделяется промежуточная форма, у которой раковина меньше 0,5 мм и в начальной части раковины видны хорошо выраженные ребра. Послойное изучение материала показало, что изменчивость морфологических признаков позволила наблюдать вертикальное распространение этих подвидов и на территории Армении. В среднем эоцене В nobilis и се подвиды отсутствуют. Они имеют широкое распространение в верхнем эоцене и средней части нижнего олигоцена. В верхней части нижнего олигоцена их количество уменьшается, редко встречаются только маленькие Bolivina gracilis. Гипичный В. nobilis существует в верхней части зоны Globorotalia cocoaensis и в зоне Globorotalia centralis-Globigerina gortanii, где с данным видом встречается В nobilis-gracilis и обе формы достигают больших количеств.

Итальянские микропалеонтологи сравнивают В. nobilis бассейна северной Италии с современной В. argenta из южной Калифорнии (Lutze, 1964). Из современных боливинид Е. Лютце отличает стройные, длиниые формы, живущие в низкокислородной среде Эти таксоны соединяются друг с другом промежуточными формами. Палеонтологи Италии находят, что в северной Италии также изменилось содержание кислорода и в связи с этим выявлены разновидности В. nobilis. Наблюдения над изменениями морфологических признаков боливинид от эоцена до олигоцена на территории Армении приводят к выводу, что исчезновение ребер, уменьшение и расширение раковии являются признаками приспособления к новым биономическим условиям. Эволюция рода Bolivina от стройных, длинных форм по широких связана с увеличением содержания кислорода. Этот факт может помочь в дальнейших палеоэкологических исследованиях.

Морфологические изменения фиксируются и в линиях других видов. В верхнеэоценовых отложениях обычны представители вида Eponides praeumbonatus Mjatliuk, которые характеризуются более вздутыми камерами и дуговидно изогнутыми швами, нежели олигодсновые формы Eponides umbonatus (R uss).

Распределение фораминифер в разрезах тесно связано с характером пород. Намечается такая закономерность: а) в песчанистых отложениях встречаются сравнительно крупные формы мелких бентосных фораминифер, относящиеся к родам Asterigerina и Rotalia, а также некоторые другие крупные формы, б) в глинистых породах

man.

присутствие этих двух родов уменьшается, а иногда они совсем исчезают. И, наоборот, увеличивается количество и разнообразие других секреционных бентосных форм; в) в песчанистых отложениях почти исчезают планктонные фораминиферы.

Выявленные мелкие бентосные фораминиферы в изученном райо-

не дают основание сделать следующие выводы:

1. Большие изменения мелких бентосных фораминифер произош-

ли у границы среднего и верхнего эоцена.

В пограничных отложениях среднего и верхнего эоцена в югозападной части Армении появляются новые роды Queraltina и 
Halkyardia Появление рода Queraltina в Средиземноморье является 
одним из важнейших признаков для проведения границы среднего и 
верхнего эоцена. На территории Армении этот род также начинает 
свое существование с подошвы зоны Globigerapsis semiinvoluta. 
Надо отметить, что он в небольшом количестве выявлен из разрезов 
Ланджар. В других разрезах этот род отсутствует или встречается 
выше, продолжая свое существование в более молодых отложениях. 
Относительно рода Halkyardia следует отметить, что его представители в других бассейнах мира найдены также из среднеэоценовых отложений, однако в юго-западной части Армении Halkyardia minima 
(Liebus) появляется в верхнем эоцене.

Кроме Queraltina и Halkyardia у границы среднего и верхнего эоцена получают развитие Discorbis и другие бентосные форамини-

феры.

2. У границы верхнего эоцена и олигоцена имели место следу-

ющие изменения мелких бентосных фораминифер.

Присутствие представителей рода Almaena является основным отличием верхнеоценовых и олигоценовых отложений. В разрезе Ланджар этот род установлен в зоне Globigerina sellii. в Шораг-бюрском разрезе—начиная со средней части зоны Globigerina tapuriensis.

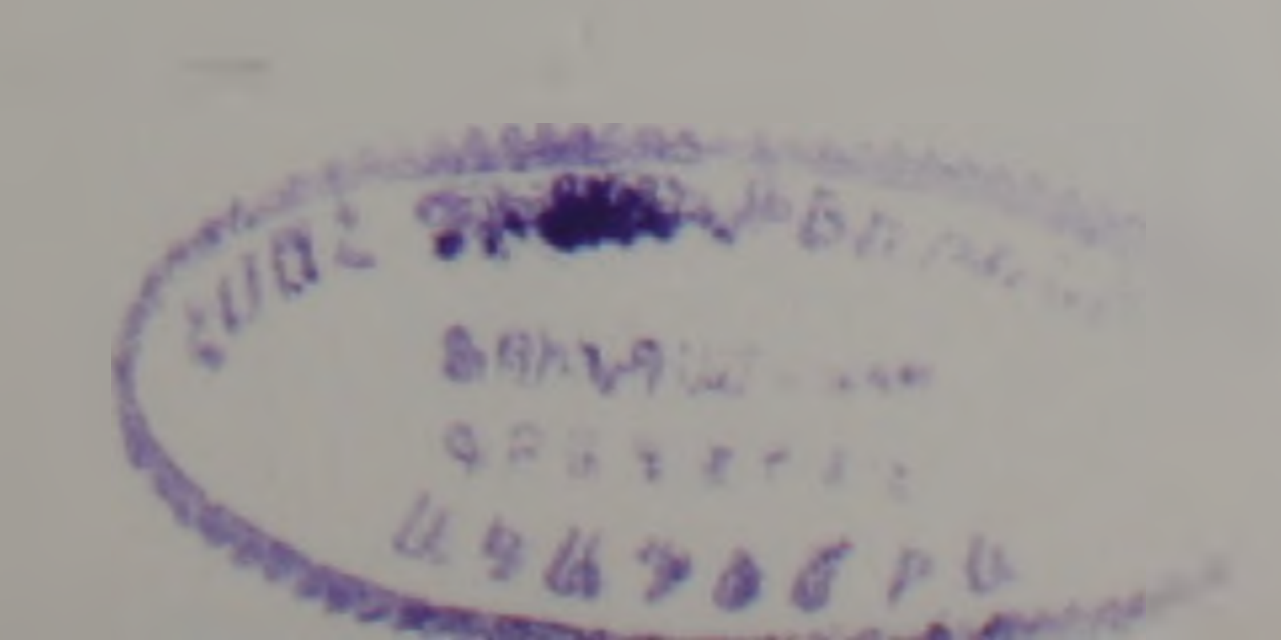
В среднеэоценовых и верхнеэоценовых отложениях Средиземноморья обычны виды рода *Cyclammina*, а на исследованной территории этот род известен только с нижнего олигоцена. Но это местная особенность. У границы верхнего эоцена и олигоцена в Армении изменился видовой состав мелких бентосных фораминифер, исчезли некоторые виды и появились новые.

ՀԱՅԱՍՏԱՆԻ ՀԱՐԱՎ–ԱՐԵՎՄՏՅԱՆ ՄԱՍԻ ՄԻՋԻՆ-ՎԵՐԻՆ ԷՈՑԵՆԻ ԵՎ ՕԼԻԳՈՑԵՆԻ ՆՍՏՎԱԾՔՆԵՐԻ ԿԵՆՍԱՇԵՐՏԱԳՐԱԿԱՆ ՍՏՈՐԱՔԱԺԱՆՈՒՄԸ ՓՈՔՐ ԲԵՆԹՈՍ ՖՈՐԱՄԻՆԻՖԵՐՆԵՐՈՎ

Ֆ. Ա. Հայրապետյան

1h J th n th n L J

Հայաստանի էոցենի և օլիգոցենի հասակի ապարների համար առաջին անգամ փոքր բենթոս ֆորամինիֆերներով անցկացվում է ստորաբաժանում, որի հիմքում ընկած են հիմնականում Anomalinidae սեռի ներկայացուցիչները ունեն համեմատարար ները։ Պետք է նշել, որ այս սեռի ներկայացուցիչներն ունեն համեմատարար լայն հորիզոնական և ուղղահայաց տարածում։ Ստորաբաժանման ընթացջում հաշվի են առնված նաև փոքր բենթոս ֆորամինիֆերների բոլոր մյուս սեռերի տվյալները։



Այսպիսով, Հայաստանում փոքր բենքոս ֆորամինիֆերներով անցկացվում են հետևյալ շերտերը՝ ա) Heterolepa propria և Uvigerina costellata-Cibicidoides la idjaricum միջին էոցենի ապարներում, բ) Cibicidoides truncatus և Heterolepa pygme ւ վերին էոցենի ապարներում, դ) Hetero-

lepa pygmea 4 Almaena palmulata oppgnghip unumphhpned:

Մեծ հետաքրքրություն են ներկայացնում Bollvina antegressa Subbotina, B. nobilis (Hantken), B. gracilis Cushman և նրանց միջանկյալ ձևերը, որոնց մեջ տեղի ունեցած փոփոխությունները կարևոր նշանակություն ունեն միջին-վերին էոցենի և օլիգոցենի ժամանակաշրջանի հնաէկոլոգիական հարցերի պարզաբանման համար։

# BIOSTRATIGRAPHIC DISSECTION OF THE MIDDLE-UPPER EOCENE AND OLIGOCENE DEPOSITS IN THE SOUTH-WESTERN PART OF ARMENIA ACCORDING TO SMALL BENTHOS FORAMINIFERA

#### F. A. Hayrapetian

#### Abstract

The biostratigraphic dissection of the Palaeogene deposits in the south-western part of Armenia according to small benthos foraminifera is presented for the first time. The dissection is based on the specimens of Anomalinidae family, which are widely spread out both vertically and horizontally. The dissection also takes account of verteal spreading of other families of small benthos foraminifera.

#### ЛИТЕРАТУРА

- Бугрова Э. М. К характеристике некоторых родов семейства (фораминиферы). Вопр микропалеонт., 1972, вып. 15, с. 114—117.
- Бугрова Э. М. Зональная стратиграфия по микроорганизмам и методы ее разработки Тез. докл. X Всесоюз. микропалеонтол. совещ., Ленинград, 1986. 237 с.
- 5. Бугрова Э. М. Фораминиферы рода *Pianulina* из эоцена Советского Союза. Палесит. жури, 1977, № 4, с. 21—33.
- 4. Василенко В. П. Ископаемые фораминиферы СССР. Аномалиниды. Тр. Всес. нефт. научи-иссл. геологоразвед. ин-та, 1954, Новая серия, вып. 80, 200 с.
- 5. Крашенинников В. А., Птугян А. Е Соотношение фаун планктонных фораминифер и нуммулитов в палеогеновых отложениях Армении. Вопр. микропал., 1973. вып. 16, с. 146—182.
- 6 Саакян-Гезалян Н. А. Фораминиферы третичных отложений Ереванского бассейна. Изд. АН АрмССР, Ереван, 1957, 96 с.
- Субботина Н Н. Стратиграфия инжнего палеогена и верхнего мела Северного Кавказа по фауне фораминифер. Тр. Нефт. геол. научи.-иссл. ин-та сер Авып. 96, 1936, 31 с.

#### МЕЗОКАЙНОЗОЙСКИЙ БАЗАЛЬТОВЫЙ ВУЛКАНИЗМ СЕВЕРО-ВОСТОЧНОЙ ЧАСТИ АРМЯНСКОГО НАГОРЬЯ

(C) 1996 г. Р. Т. Джрбашян, Г. А. Казарян, С. Г. Карапетян, X. Б. Меликсетян, А. Х. Мнацаканян, К. Г. Ширинян

Институт геологических наук НАН РА 375019 Ереван, пр. Маршала Багримяна 24 а, Республика Армения Поступила в редакцию 5.11.96.

В статье последовательно рассматриваются геолого-тектоническая позиция и петро-геохимические особенности мезокайнозопских базальтовых комплексов СВ части Армянского нагорья Установлен дискретный характер изменчивости состава базальтов во времени, связанный с процессами реконструкции геодинамических режимов окраин Евразнатской и Иранской плит и разделяющей их офиолитовой сутуры. Выделены три устойчивых петро-геохимических типа базальтов, отвечающих режимам островных дуг, континентальной коллизии и рифтогенеза. Эволюция каждого из типов отражает тенденцию усиления роли К2О, некогерентных элементов, суммы РЗЭ и степени их фракционирования. Многообразие типов базальтов связывается с гетерогенностью и разноглубниностью исходных мантийных субстратов, различиями в степени их плавления и участия флюидной фазы.

В геологическом развитии Армянского нагорья как составной части Кавказского сегмента Альпийско-Гямалайского складчатого пояса отражены все главные этапы его формирования в условиях взаимодействия Евразиатской и Ирано-Аравийской континентальных плит и сокращения акватории океана Тетис. В эволюции магматизма региона базальтовый вулканизм занимает ключевую позицию неоднократно проявляясь на отрезке времени от юры до четвертичного. Он приурочен к разнородным тектоническим зонам и связан с перемещением и метаморфическим преобразованием больших масс глубинного вещества, отражая составы наименее дифференцированных при движении к поверхности магматических расплавов [26, 11].

Статья посвящена сравнительному анализу мезокайнозойских базальтовых комплексов северо-восточной части Армянского нагорья, рассмотрению их геолого-тектонической позиции, прослеживанию особенностей состава в стратиграфической последовательности (табл. 1). Важной задачей являлась идентификация дискретных комплексов с определенными геодинамическими обстановками на петрографо-петрохимическом и геохимическом уровнях. Изученные базальты представляют с одной стороны преимущественно начальные члены в различной степени дифференцированных разновозрастных серий, с другой обра-

зуют самостоятельные однородные серии.

В работу вошли оригинальные аналитические данные авторов по химическому и микроэлементному составу базальтовых комплексов. Основной объем силикатных, количественных спектральных (Ва, Sr, NI. Co, Cr, V, Zr. Nb, Yb, Y) и Rb—Sr изотопных анализов выполнен в ИГН НАН РА. Использовались кроме того петрохимические данные по юрским и палеогеновым базальтам, приведенные в работах Э. Г. Малхасяна, С. О. Ачикгезяна, А. Г. Тонаканяна, А. И. Шмидта, Е. А. Успенской. А. С. Остроумовой, И. Я. Центер. Определения РЗЭ в базальтах верхнего мела и палеогена выполнены по материалам

авторов в ГЕОХИ РАН; содержания РЗЭ в юрских и миоцен-четвертичных базальтах заимствованы из публикаций Р. Магакяна [10], Г. С. Закариадзе [7], Б. М. Меликсетяна [12], В. С. Попова [18], М. А. Сатнана с соавторами [19].

Проведенное исследование выявило дискретность составов базальтов (рис. 1), подразделяющихся на три устойчивых петро-геохи-

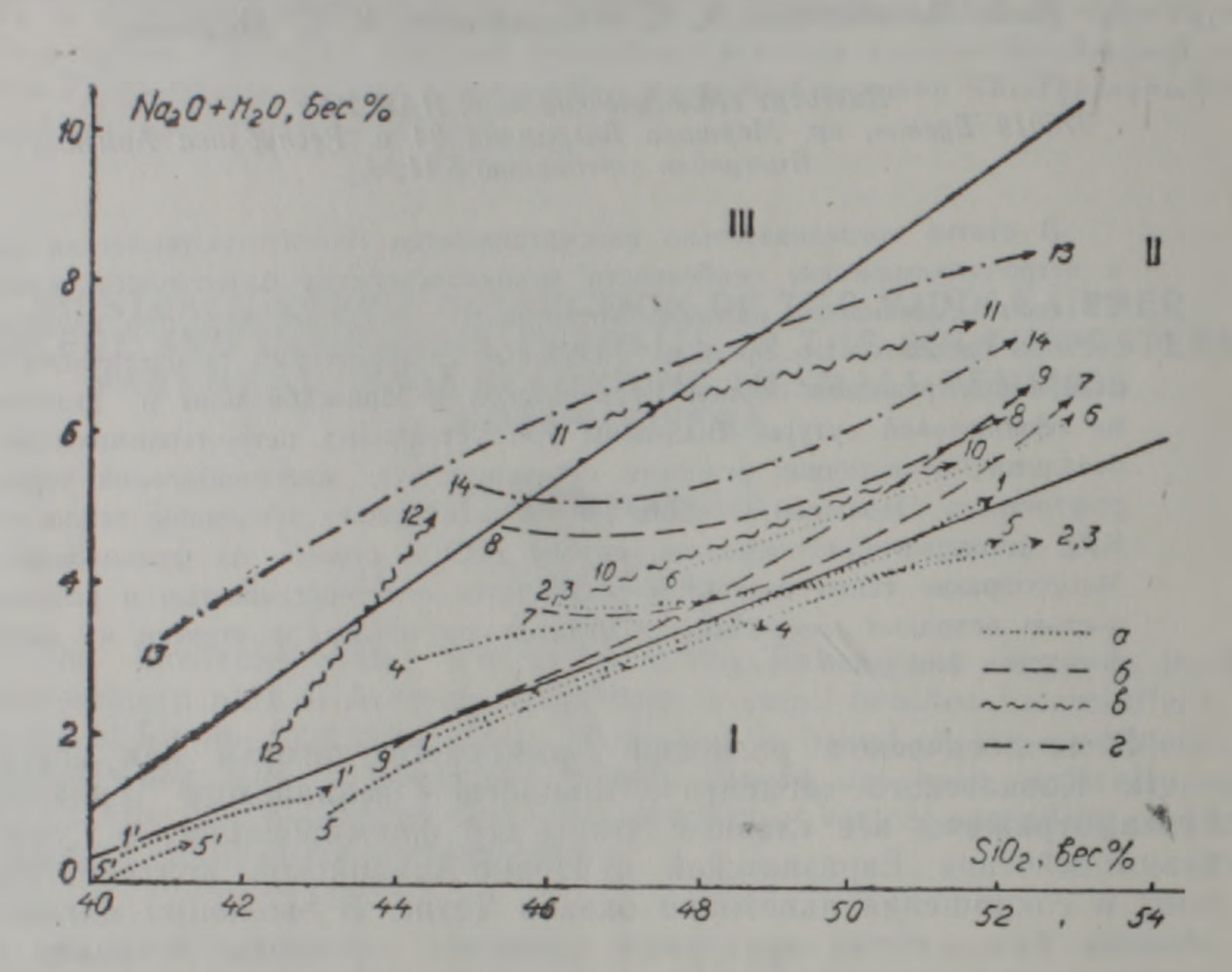


Рис. 1. Диаграмма SiO<sub>2</sub>— (Na<sub>2</sub>O+K<sub>2</sub>O) для мезокайнозойских базальтовых комплексов северо-восточной части Армянского нагорья. І-ІІІ-поля серий: I-толентовые и нормальные известково-щелочные серии; II субщелочные серии; III-щелочные серии. а-г-базальтовые комплексы различных геодинамических режимов: а-островодужные; б-раннеколлизнонные; в-позднеколлизионные; г-рифтогенные 1-14-вариационные линии: Ј3 К1 базальты Сомхето-Карабахской энсиалической ОД: 1-Алавердский ареал, 1'-пикриты, 2,3-Бердский и Капанский ареалы; 4-К2 базальты Прикуринского, Иджеванского, Таузского прогибов; J<sub>3</sub> h<sub>2</sub> базальты Севанской и Вединской энсиматических ОД: 5-нижняя серия, 5'-пикриты; 6-верхняя серия; Ру-Руз базальты раннеколлизионного этапа: 7-Базумская зона, 8-Вайкский блок, 9-Зангезурская зона, N<sub>1</sub>-Q базальты позднеколлизнонного этапа: 10-Транскавказская зона трещинных извержений: 11-Арагац-Сюникская зона ареальных извержений, 12-Капанский активизированный блок; базальты полициклического рифтогенеза: 13— Т<sub>3</sub>— Ј<sub>1</sub> Ерах-Неграмская зона, 14— Ру<sup>3</sup>— Вайк-Вединская зона.

мических типа: I—Базальты островодужных обстановок, II—Базальты коллизионных обстановок, III—Базальты рифтогенных режимов.

#### 1. Базальты островодужных обстановок

а) Базальты юрско-раннемелового этапа развития Сомхето-Карабахской ОД на субконтинентальном фундаменте южного края Закавказского срединного массива. Заложенная на различных по глубинному строению блоках раздробленного древнего основания, Сомхето-Кара-Сахская ОД имеет фрагментарное строение и состоит из самостоятель-

Геоструктуры		Воз-	Вулканические зоны, ареалы и геодинамические обстановки	Тип и формы извержений	Природа магмовыводящих каналов	Петрологические особенности магма- тических расплавов	Петрохимические типы серий	Главные поро- дообразующие минералы базальтов	Современные
фиолитовая	Вединская	K <sub>2</sub>	Примитивная ОД с переходами к разви- той (70-75 млн.лет)	Подводные извержения субщелочных базальтов, трахиандезитов, трахитов и их пирокластов	Некрупные дайки, штоки, экструзии	Выплавки субщелочных базальтов на глубоких горизонтах мантийного клина под ОД (60-80км)  87 SI/86 SI = 0,70509	Последовательно-диф- ференцированная пикродолерит-трахи- базальт-трахитовая		ОД Фиджи,
я-Севан-Эльбурсская ос сутура	вая зова	J <sub>3</sub> -K <sub>1</sub>	Примитивная ОД на симатическом офио- литовом основания (7-83.1 млн.лет)	Подводные излияния толентовых шаровых лав и гиалокластитов	Дайки небольшой протяженности	Базальтовые выплавки эклогитов при сейсмо- фокальной зоне (10-12км)	Контрастно-диффе- ренцированная толе- ит-плагиориолитовая Na серия	PI+CPx	Внутриокеан- ские дуги Тон- го, Кермадек,
	Севанская	K2	Примитивная ОД с переходами к разви- той (90-85млн.лет)	Подводные излияния субщелочных базальтов, трахиандезитов, трахитов, выбросы пирокластики	Дайки небольшой протяженности, штоки, экструзии	Выплавки субщелочных базальтов на глубоких горизонтах мантийного клина под ОД (60-80км)	Последовательно диф- ференцированная трахибазальт-трахито- вая Na, K-Na серия	Ol+Pl+Ti-CPx	ОД Фиджи, Соломоновы
Эрэмиджая	BAR 3CHA	J <sub>3</sub> -K <sub>1</sub>	Примитивная ОД на симатическом офис- литовом основании (титон-бернас-114 млн.лет)	Подводные излияния толентовых шаровых лав гналокластитов	Дайки небольшой протяженности	Базальтовые выплавки эклогитов при сейсмо- фокальной эсие (10- 20 км) <sup>87</sup> SI/ <sup>86</sup> SI = 0,70472	Контрастно-диффе- ренцированная толент- плагиориолитовая Na серия	P1+CPx	Внутрискеан- ские дуги Тон- га. Кермадек. Марианская
to a	Предмалокав- казский окра- ино-морской бассейн	K <sub>2</sub>	Прикуринский, Та- узский, Иджеванс- кий вулканические ареалы (прогибы): зрелая ОД с внутри- дуговым рифтингом (77-80 млн.лет)	Прибрежно-морские, островные зулканы: лавоно-цилановые экс-трузивные хребты, ВТС и ВТД	Анные дайки, экс- трузии, вулканичес- кие купола	Плавление мантии Ап- Fo фации (10-12кбар) под осевым центром растяжения задугового окраинного моря 87 Sr/80 Sr = 0,70402- 0,70438	Известково-щелочная, субщелочная протя- женно-дискретная базальт-андезит-рио- литовая К-Na серия	Am + CPx Ol + CPx + Pl Ol	Окраинные моря с конти- нентальной З.К. Аляскиес- кий сегмент ПО ОД
RCKO-Sakankasckan sucus	то-Карабакская ОД		Алавердский, Тауш- ский, Капанский вулланические аре- алы: Резвитая ОД (128- 144 млн.лет)	Подводно-морские и мелководные вулканы - центры лавовых излияний и эксплозивных выбросов	Дайки, субвулка- инческие корневые тела	Базальтовые выплавки из эклогитов сейсмофокальной зоны северо-направленной	Толентовая Na, K-Na, известисно-щелочная К-Na базальт-андезит- риолитовая серия	P1+CPx CPx+O1+OPx	Периферийно- океанические ОД с субконтинен-
Llow	Соми	2 2	Примитивная ОД (168.5млн.лет)	Подводно-морские вулканы - дентры лавовых излияный	субвулканические тела, силлы	субдукции	Толентовая Na, K-Na, известково-щелочная К-Na базальт-риолито- вая контрастная серяя	P1+CPx	тальной корой (Курилы, Алеуты)
Ковти	нская зона	T3-J1	г.Ерах-с.Ехегис- с.Азнабюрт-ст.Нег- рам(146-121 млн.лет)	Трещинные изания трахибазальтов, тражитов	У Трещинный, экструзивные купола	Мантийно-подкоровые расплавы, глубина зарождения более 70км	контрастно-диффе- ренцированные субщелочные К-Nа серии: трахибазальты трахиты, фонолиты	Pl+Ol+Ti-CPx Ti-CPx+Kis+ +Anc+Ap	Африкано- Аравийская рифтовая
Центрально-Ар- мянская зона поз- двеколлизисиного воздымания и рифтогенеза		Pgi <sup>3</sup> -N <sub>1</sub>	Междуречье Азат- Веди-Западный Вайк (зона рифтогенного растяжения) (в.оли- гоцен-7,7 млн.лет)	Трещинные изличния тефритов и трахибазальтов дентральные полигенные вулканы (Гортун: Варданес, Алахюр)	ПАЛЕОГЕН  Трещинный (дайки); жерловины, экстру- завные купола	- НЕОГЕН  Мантийные подкоровые расплавы, глубина зарождения-60-70км  в SI/80 SI = 0,70636- 0,70837	Дифференцированные субщелочные К- Na, К серии: 1) трахибазальт- трахиандезит-фонолит, 2) трахибазальт-трахи-	P1+O1+CPx+Lc +San+Anc	Африкано- Аравийска: рефтовая система
ический пояс			Базумская зона близипиротного глубинного сжатия (30-39млн.лет)	Прибрежно-континен- тальные центральные вулканы с высокой эксплозивностью	Полигенные ВТС. линейные системы даек, силлов, экструзий	Генерация магм при взаимодействии ман- тийных расплавов (30- 50км) с корой; анатек- тические кислые магмы 87 St/80 St = 0,70406- 0,70485	Дифференцированные известково-щелочная, К-Na, субщелочная, К- Na и щелочная К се- рии	Ol+CPx+OPx+ Pl+Am(Bi)  CPx+Am+Pl+ +Ksp+Bi	НВОИСИУОЭ
YAKABO-BAYTOF TKO BAR K-K):	HCKAM JOHA	Pg <sub>2</sub> <sup>3</sup>	Вайкский краторный ареал (блок) (28,5-38,5млн.лет)	Ареальные, мелководно- морские моногенные вулканы, ВТС	изолированные вулканические центры простые ВТС с кальдерами обрушения	Генерация магм при взаимодействии мантий- ных расплавов с мелано- кратовым субстратом (50-70км), 87 St/86 St = 0.7035-0.7045	Дифференцированная тракибе зальт-траки- андезит-риолитовая субщелочная К-Nа серия	Pl+CPx+Am	ые зоны Ср
BO Upancautt B	ETPAALEO-APMS		Зангезурская зона субмеридновального глубинного растяже- ния (28-39млн.лет)	Континентальные, островные вулканы трещинного типа со слабой эксплозивной деятельностью	Субмеридиональные трещинные экстру- зии, субвулканичес- кие тела; структуры корневых зон вул- канов	Плавление подкоровых мантийных диапиров (глубина зарождения 70-80км) 87 Sr/80 Sr = 0,70389-0,70410	Укороченные серии: толентовая, известко- во-щелочная К-Na (ба- зальт-андезит) и суб- щелочная К-Na (тражи- базальт-тражнандезит)	PI+CPx+OPx+ +Ol CPx+PI+Am	едиземномор
ECEO-ADME	IIe	Pg <sub>2</sub> <sup>2</sup>	Базумская зона близширотного глубинного сжатия (42-48млн.леті)	Мелководно-морские дентральные вулканы с высокой эксплозивностью, экструзии, ВТС	Аненная система даек, экструзий, ВТС	Генерация магм при взаимодействии мантий- ных расплавов с вещес- твом коры (20-30км) 87 Sr/86 Sr = 0,70372- 0,70485	Дифференцированная базальт-андезит-рио- литовая известково- щелочная К-Na серия	Pl+CPx+OPx+ +Am Pl+Am+CPx	CKOPO THIIA
ABATO			Зангезурская зона субмеридионального глубинного растяже- ния (42-49млн.лет)	Прибрежно-морские, островные вулканы трещинного типа	Субмеридиональные трещинные экстру- зии и субвулкани- ческие тела; корне- вые зоны вулканов	Плавление подкоровых мантийных диапиров (глубина зарождения 50-70 км) 87 SI/80 SI = 0,70389-0,70404	Укороченные толенто- вая Na-К и известково- щелочная К-Na серии (мелабазальт-базальт- андезит)	OPx+CPx+Pl+ +Ol CPx+Pl	
				верхний п		твертичный			
поп	кавка зское перечное ,	N <sub>2</sub> -Q <sub>1</sub>	Рифтогенный ман- тийный вулканизм. Бас. рек Ахурян, Дебет, Дзорагет, Котайкское плато, отроги Гегамского нагорья, сопредель- ные районы Грузии,	Аинейно-трещинные излияния базальтов	Глубинные (сквозь- коровые) разломы растяжения меридя- онального направ- ления, секущие все продольные зоны альпийской складчатостя	Первичные, подкоро- вые, недифферен- цированные магматические расплавы устойчивого состава, выплавленные на глубинах порядка 40-	Долериты субщелочного- нормального ряда, насыщенные или слабо недосыщенные кремнеземом	P1+O1+CPx	
Центрально-Ар- мянская область позднеоротенной (позднеколлизион- ной) альпийской складчатости и блоково-глыбовых дифференциро- ванных поднятий Активизирован- ный Капанский блок ранней консолидации		N <sub>2</sub> -O <sub>3</sub>	Позднеорогенный мантийно-коровый вулканизм 1.Западная вулк.зона: Арагациий массив. 2.Восточная вулк. зона: Гегамское, Варденисское, Сюникское нагорыя.	Эффузивно-эксплозивные извержения моногенных дентральных вулканов:  1. Массив г. Арагац.  2. Гегамское, Варденисское и Сюникское нагорья (ареальный вулканизм)	Вертикальные кана- лы, соединяющие жерла вулканов с промежуточными (2-5км) и перифери- ческими счагами (0,5-1,5км).	Первичные мантийные расплавы базальтового состава и их дифференцированные и контаминированные разности	1. Субщелочные ба- зальты-андезиты- дациты. 2. Субщелочные ба- зальты-трахибазальты- трахиандезиты, фельдинатондные базальты (Сюник)	P1+O1+CPx P1+O1+CPx+ +Ana+Ap	
		Q <sub>2</sub>	Капанская квазикратонная блоковая структура	Центральная эксплозивно- эффузивная активность моногенных вулканов (многовыходный тип)	Барабатум-Халадж- ский и Мецмагарии- ский мезозойские разломы, активизи- рованные в средне- четвертичное время	Первичные недиференцированные мантийные расплавы. Глубива выплавки порядка 75-85км	1. Оливиновые и 2. Роговообманковые базаниты с переходами к щелочным пикритам	Pl+Ol+CPx CPx+Am+Pl	

ных палеовулканических ареалов-Алавердского, Бердского, Шамхорского, Карабахского, Капанского, разделенных поперечными разломами древнего заложения. На начальном этапе (J1-J2) ОД развивается над единой северо-направленной палеозоной субдукции, трассируемой Севано-Акеринской офиолитовой сутурой. С конца J2 наряду с сохранением прежней зоны погружения на Ю-ЮВ фланге ОД воз никает новая, южно-направленная зона [2, 6]. На  $J_1-J_2$  этапе вулканизма формируется конграстная базальт-плагиориолитовая серия, прнуроченная к осевым зонам Алавердского, Бердского и Капанского ареалов: в пределах последнего роль базальтов относительно невелика. Петрохимический тип  $J_1-J_2$  базальтов соответствует низкокалиевым, низкотитанистым толентам и известково-щелочным базальтам примитивных ОД тихоокеанского типа. Отмечаются низкие содержания (в г/т) как литофильных / КИР-Li(5.25), Rb(10,1), Sr(189), Ва(135), и Zr(28,5), так и фидерофильных—Ni(38,5), Cr(95), Co(36,5) элементов [10]. Характерны кроме того низкие значения отношений Ti/V (~10). Ti/Zr. Ti Cr. Ni'l.o, высокие V Cr. пологий характер кривой распределения РЗЭ с La/Yb = 3 (рис. 2) и слабое обогащение ЛРЗЭ, свойственное островодужным толентам [10]. Эти параметры свидетельст

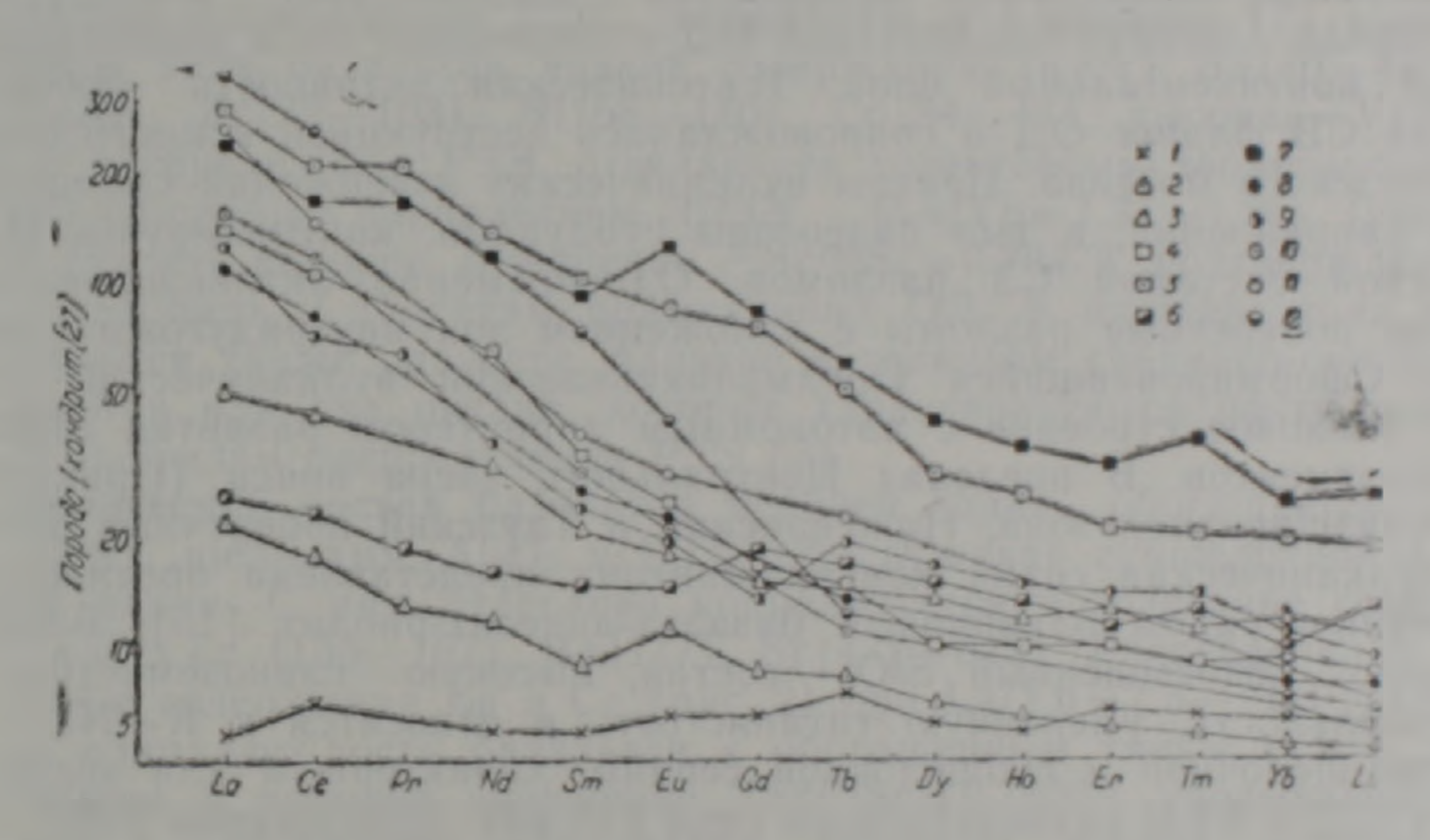


Рис. 2. Нормированное по хондриту распределение РЗЭ в мезокайнозойских базальтовых комплексах северо-восточной части Армянского
нагорья, 1— J<sub>n</sub> K<sub>3</sub> базальты Севанской и Вединской энсиматических
ОД по [7]; 2—1, J<sub>2</sub> базальты Сомхето-Карабахской энсиалической ОД по
[10]; 3—К<sub>2</sub> базальты Прикуринского, Иджеванского, Таузского прогибов.
4— Рg<sup>3</sup> базальты Базумской зоны; 5—Рg<sup>3</sup> базальты Вайкского блока;
6— Pg<sup>2</sup> мелабазальты Зангезурской зоны, 7—Рg<sup>3</sup> базальты Зангезурской
зоны; 8— Т<sub>3</sub>—J<sub>1</sub> щелочные базальты Ерах-Неграмской зоны по [19],
9— Pg<sup>3</sup>— N<sub>1</sub> шелочные базальты Вайк-Вединской зоны по [19],
11— N<sub>2</sub>—Q базальты Транскавказской зоны трещинных извержений по
[18], 12—Q базальты Капанского блока по [18]

вуют о происхождении  $J_1 - J_2$  базальтов из обогащенного гранитом субстрата и малоглубинном характере магматического очага с быстрым подъемом расплавов к поверхности.

J<sub>3</sub>— K<sub>1</sub> этап вулканизма Сомхето-Карабахской ОД отвечает формированию дифференцированной базальт-андезит риолитовой серии. Выраженной в каждом из ареалов с различной полнотой Интенсив-

ность вулканизма и роль базальтовых излияний данного этапа нарастают с СЗ (Алаверди) на ЮВ (Берд) и юг (Капан) [6, 14]. По петго-геохимическим параметрам базальты соответствуют толеитовым и известково-шелочным типам развитых ОД Тихоокеанского пояса, что подчеркивалось и [16]. В них усиливается известково-щелочной треид, возрастает степень порфировости, уменьшаются содержания Ni, Cr, Co, возрастают (в г/т) — V (440), Zr (35), Y (22), Li (16), Sr (220), но сохраняется уровень содержаний РЗЭ и форма кривой их распределения [10]. В направлении с СЗ на ЮВ -Ю проявляется латеральная зональность составов с ростом FeO/MgO, К2O и, особенно TiO2, с чем связапо появление среди базальтов Капанского ареала высокотитанистых (1.12-2,30% ТіО2) разностей, тяготеющих к ограничивающим его с запада и востока шовным зонам. Подобная изменчивость может указывать на локальные растяжения в задуговых структурах типа узких глубоководных бассейнов с корой океанического типа и проявления обогашенных легкоплавкими когерентными элементами мантий-

ных расплавов при малой степени плавления.

б) Базальты позднемелового этапа развития Сомхето-Карабахской ОД. Коньяк-сантонскому этапу вулканизма предшествует сгруктурная перестройка Сомхето-Карабахской ОД с переходом ее в консолидированный континентальный блок. Тектопическая активность проявлялась на СВ фланге ОД и сопровождалась деструкцией южного борта Закавказского массива. Центры вулканических извержений смещались в СВ направлении, в тыл палеозоны субдукции, контролируясь Прикуринской системой СЗ разломов. Одновременно активизировались древние поперечные разломы с заложением зон внутридугового рифтинга. Сформировавшийся Предмалокавказский вулканический пояс имеет блоковое строение с автономным характером развития отдельных фрагментов. В пределах Центрального звена пояса (Прикуринская близширотная зона, Иджеванский и Таузский поперечные прогибы) вулканическая серия коньяка-сантона представлена протяженнодискретным рядом оливиновый базальт-андезит-риолит [15]. Базальты имеют недосыщенный  $SiO_2$  состав, высокую глиноземистость и магнезнальность, умеренную титанистость и относятся к К-Na известково-щелочной и субщелочной сериям, характерным для энсиалических ОД и АКО тихоокеанского типа [15, 20]. Содержания КИР элементов (в e/T) в них, хотя и превосходят  $J - K_1$  базальты, относительно невысокие Li(6,2), Rb(2-3,5), Ba(95-132), Sr(276-353), Y (22), но резко возрастают Zr (96-111). Cr (276-453), Ni (208-228). Со (48). Характерно плавное распределение P39 (La<sup>11</sup>/Sm<sup>H</sup> = 1.6) с заметным обогашением ЛРЗЭ (La/Yb=5,5-5,9) (рис. 2). Выявляются высокие значения индикаторных отношений-К/Rb (2110 2818), Ni/Co (4,7), Ti/Y (260), Ti/V (45), низкое—V Cr (0,35--0,5). По Ti—Zr соотношению данные базальты отвечают серням островных дуг. 87Sr 186Sr изотолный состав варьирует от 0.70402 до 0.70432, что наряду с инзкими Rb/Sr отношениями указывает на мантийные источники выплавления Приведенные данные позволяют интерпретировать К2 вулканизм как смешанный «островодужный-внутриплитный» [5]. В петрологическом аспекте подобная двойственность связана с усилением степени плавления гетерогенного мантийного субстрата за счет углубления источника флюндных компонентов, в геодинамическом-с установлением относительно стабильного тектонического режима, на что указывают и [6]. Фрагментарность строения вулканического пояса позволяет предполагать наличие прерывистых малых осей спрединга, что характерно для задуговых окранию-морских бассейнов [21].

Постскладчатое растяжение рифтового типа на  $K_2$  этапе развигня Сомхето-Карабахской ОД нашло свое отражение также в образовании СВ расколов, контролирующих рой даек пикродиабазов и пикритов в Алавердском ареале [9]. Эти породы отличаются высокими содержаниями MgO(14.5-23.9%), Ni и Cr, низкими— $Al_2O_3$ ,  $TiO_2$ . Высокие отношения Ti/Cr(3.7), Cr/V(156), Ni/Co(8.0) являются индикаторами очагов истощенной верхией мантии с высокой степенью плавления.

з) Базальты верхнеюрспо-верхнемелового этапа развития островных дуг на офиолитовом фундаменте. Во фронтальной зоне Сомхето-Карабахской ОД на данном этапе формировались новые вулканические дуги-Севанская и Вединская. В их сложении участвуют две последовательные серин-шижияя контрастная толент-плагногранитовая серия, залегающая на размытой поверхности офиолитов, и несогласно с перерывом сменяющая ее верхияя дифференцированная трахибазальт-трахнандезит-трахитовая серия. По химизму базальты нижней серни соответствуют низкокалиевым толентовым и известково-щелочным типам примитивных ОД на симатическом основании. Они характеризуются низкой тиганистостью, умеренной глиноземистостью. Геохимические исследования Г. С. Закариадзе и соавторов [7] выявили в данном типе базальтов низкие содержания (вг/т) Ва (40-43), Sr 1125—180), Zr(72—103), Ni(58—140), Co(34—44), высокие—V(260— 405) и распределение РЗЭ, отвечающее толентовому деплетированному типу со слабым накоплением ЛРЗЭ (La/Yb=1.31-1.86) (рис. 2). Сравнительно высокое отношение  ${}^{87}{\rm Sr}/{}^{86}{\rm Sr} = 0.70472$  подтверждает их принадлежность к толентам примитивных ОД. В нижней серии устанавливаются также разности, близкие к толеитам срединно-океанических рифтов или дна океана, которые характеризуются почти хондриговым профилем распределения РЗЭ [7].

Химический состав базальтов верхней серии обогащается TiO<sub>2</sub> (до 3,5%), щелочами, Al<sub>2</sub>O<sub>3</sub> и P.O<sub>5</sub>, обнаруживая субщелочной и шелочной уклоп. С иим отчетливо коррелируется возрастание содержаний (в г/т) Zr (150—167), Ba(117), Sr(472—515), Распределение РЗЭ и высокие содержания La и Ce (рис 2) при La/Yb=7,5—14,8 указывают на принадлежность базальтов к обогащенным типам [7]. С этим согласуется и высокое отношение <sup>87</sup>Sr/<sup>86</sup>Sr=0.70509, указывающее на их связь с мантийными субстратами высокого уровня щелочности. Ассоциация низкокалиевых толентов с высокотитанистыми субщелочными и щелочными базальтами в Севанской и Вединской энсиматических ОД выявляет гетерогенность блоков их основания, которая осложняет тектонический режим перехода от примитивной стадии к ранней с вовлечением в плавление более глубинных, специфически

обогащенных мантийных субстратов.

#### 11. Базальты коллизиенных обстановок

а) Базальты раннеколлизионного (средне-верхнеэоценового) этапа развития Центрально-Армянского мегаблока. С процессами конвергенции Евразиатского (южная часть Закавказского срединного массива) и Афро-Аравийского (северный край Иранской плиты) континентов и последующей коллизии отдельных микроплит и фрагментов древних ОД связано формирование палеогенового континентально-вулканическоге пояса. Он отчетливо наложен на разнородные и разновозрастные структуры древней консолидации: на севере это фрагмент Сомхето-Карабахской ОД (Лорийский блок), на юге—древняя ПКО Иранского

микроконтинента (Вайкский блок, Зангезурская зона), в центральной части—разделяющая эти структуры Севанская шовная зона (Ширакский, Базумский, Памбакский, Арегунийский блоки). Геодинамический режим формирования палеогенового вулканического пояса отвечает коллизии типа континент-континент, который предполагает одновременное возникновение зон глубинного сжатия и растяжения, особенно характерное для областей клиновидных выступов поддвига-

ющейся плиты (Аравийский клии) [12, 4, 17].

Базум-Севанская зона глубинного сжатия близширотного простирання приурочена к Севанской офнолитовой сутуре в зоне сочленения Сомхето-Карабахской ОД с северной окраиной Центрально-Армянского мегаблока. Вулканизм развивается в обстановке, сходной с субдукционной, определяемой глубинным поддвигом Центрально-Армянского мегаблока в северном направлении по линеаменту Спитак-Ширак. Выделяются два этапа вулканизма: среднеэоценовый (базальтандезит-риолитовая серия) и верхнезоценовый (базальт-андезитриолитовая и трахибазальт-трахириолитовая серии). По химизму базальты данной зоны отвечают известково-щелочным и субщелочным К-Nа типам. В базальтах верхнего эоцена усиливается степень недосыщенности SiO2, роль глинозема и щелочей за счет K2O Характерны повышенные содержання КИР элементов (вг/т) — Ва (467—910), Rb(8,5-50), Sr(445-1200), а также Zr(84-132), Y(16-22), высокие значения V/Cr, Zr/Y, K/Rb индикаторных отношений, низкие содержания Li(2,2-6), Cr(103-120), Ni(40-56). Кривая распределения РЗЭ (рис. 2) имеет крутой профиль ( $La^H/Sm^H=3.3-61$ ) со значительным обогащением легкими РЗЭ (La/Yb>10). Петро-геохимические параметры базальтов Базумо-Севанской зоны в целом отвечают ассоциациям зрелых ОД и АКО средиземноморского типа с мощной контипентальной корой в основании, что подтверждается и соотношениями Ti—Zr. Отношения <sup>87</sup>Sr/<sup>86</sup>Sr, варьирующие в пределах 0.70372—0.70485. могут интерпретироваться как признаки вовлечения корового материа. ла в магмообразование. Выплавление базальтовых расплавов происходит из истощенного мантийного субстрата в условиях высокого Рн, и взаимодействия с нижней короп.

Зангезурская зона глубинного растяжения имеет близмеридиопальное простирание и развивается в пределах ЮВ края Центрально-Армянского мегаблока по Зангезур-Далидагскому разлому. Выделяются среднеэоценовый (мелабазальт-базальт-андезитовая серия) и верхгеэоценовый (базальт-андезитовая и трахибазальт-трахиандезитовая серии) этапы вулканизма. Начальные члены среднезоценовой серии близки к Na толеитам ОД, более поздние отвечают известково-щелочным типам АКО с умеренно высоким содержанием MgO и низким TiO2. В базальтах верхнего эоцена усиливается К- Na уклон с переходом от известково-щелочных к субщелочным типам АКО. По сравнению с Базум-Севанской, в базальтах Зангезурской зоны уменьшаются солержания (вг/т) Ва (180—281), Rb (6.5—8), Sr (377—600), Zr (44—70), Ni(28-34), Y(6-16), возрастают Li(2-10), Cr(120-130), V(130-350) Кривая распределения РЗЭ в мелабазальтах имеет пологий хондритовый профиль (La<sup>H</sup>/Sm<sup>H</sup> = 1,4) с высоким уровнем содержаний ТРЗЭ (La/Yb=3-4); в субщелочных базальтах верхнего эоцена резко возрастает сумма РЗЭ при сохранении пологого профиля кривой н низкой степени их фракционирования с La/Yb=6,2 (рис. 2). По T — Zr соотношению базальты относятся к островодужным типам с переходом наименее дифференцированных мелабазальтов в область составов СОХ. Низкие величины 87Sr/86Sr отношений (070389-0.70410)

указывают на участие в петрогенезисе базальтов мантийных источниксв. Выплавление базальтовых расплавов связано с интенсивным подтоком восстановительных флюндов из участков неистощенной мантии с высоким содержанием граната. Возрастная последовательность серий отражает процесс вовлечения в плавление все более глубинных участков мантийного диапира и усиление степени плавления [12, 4].

Вайкский кратонный ареал приурочен к стабилизированной центральной зоне Центрально-Армянского мегаблока. В отличие от смежных Севано-Базумской и Зангезурской зон интенсивный вулканизм проявляется здесь лишь в верхнем эоцене с образованием укороченной серии трахибазальт-трахиандезит. Трахибазальты представлены недосыщенными SiO<sub>2</sub>, меланократовыми, высокотитанистыми типами, отвечая субщелочным К- Na сериям АКО и внутриплитных обстановок. Они отличаются высокими содержаниями КИР элементов (г/т)-Ba (250-780), Li (10-50), Rb (9-86), Sr (420-1160), Cs (0.6-4.8), a также Zr (80—156), V (160—281), Co (32—56), умеренными—Cr (9—42), Ni(42-47), низкими—Y(10-17); по Ti-Zr соотношению принадлежат к внутриплитным ассоциациям. Распределение РЗЭ (рис. 2) обнаруживает сравнительно пологий профиль в левой части спектра (LaH/>mH) == 3,8 и максимальное для палеогеновых серий содержание ЛРЗЭ при высокой степени фракционирования (La/Yb=15-60). Отношения  $^{87}\mathrm{Sr}/^{86}\mathrm{Sr} = 0.7035 - 0.7045$  указывают на мантийный источник расплавов, взаимодействующих с нижнекоровым субстратом. Совокупность геохимических данных позволяет связывать базальты Вайкского блока с метасоматически измененным амфиболсодержащим ман тийным источником невысокой степени плавления.

б) Базальты позднеколлизионного (неоген-четвертичного) этапа развития Центрально-Армянского мегаблока Широкое проявление базальтовых серий-одна из характерных особенностей молодого вулканизма Армении, связанная с завершающими этапами горообразовання и континентальной коллизии. В результате этих процессов спаянными воедино оказались разновозрастные и разнотипные континентальные блоки байкальской, герцинской и альпийской консолидации Тектоническая гетерогенность субстрата обеспечила его восприничивость к значительным деформациям и разнообразие геодинамических условий проявления вулканизма [22]. К неотектоническому этапу развития региона приложимы представления о «двухъярусной тектонике плит», суть когорых состоит в выделении в зонах коллизионного орогенеза корового и подкорового ярусов и двух разных масштабов проявления тектоники плит [23]. Важной особенностью неотектонического развития Армянского нагорья является отчетливая интерференция тектонических зон и связанных с ними вулканических проявлений. Главными являются зоны, подчиненные общекавказским широтным структурам, и зона Транскавказского поперечного поднятня [13]. Базальтовый вулканизм представлен трещиншым и ареальным тыпами извержений, проявляющимися в различных геодинамических условиях.

Трещинный базальтовый вулканизм приурочен к зоне Транскавказского поперечного поднятия и связан с сквозькоровыми рифтогенными расколами без вертикальных смещений крыльев. Разломы тяготеют к линеаментам «африканского» направления, которые прослеживаются от рифта Мертвого моря на север, в пределы Армянского нагорья и далее на Б. Кавказ [1]. Базальты этих структур обрауют достаточно однородную по составу формацию платобазальтов и распространены в виде обширных и мощных (100—300 м) лавовых нокровов в пределах Амасийского, Ашоцкого, Лорийского, Котайкского плато, бассейнов рр. Ахурян, Дебед, вдоль 103 побережья оз. Севан Они относятся к известково-щелочному петрохимическому типу с пологим трендом накопления щелочей по мере возрастания SiO2 (рис.1). Характерны низкие содержания К2О (до 1%), ТіО2, умеренные-НдО(2,45-7,40%). Описываемые базальты заметно обогащены КИР лементами (вг/т) —Li(7,6—9), Rb(11), Sr(320—708), Ва(450), обеднены Zr(150), Y(20-22), Та(0,47), Nb(<10). Одновременно отмечаются высокие содержания таких сидерофильных элементов, как V(105-140), Co(15-36), пизкие-Cr(60-120), Ni(15-42). По геохимическим данным В. С. Попова с соавторами [18], распределение РЗЭ в платобазальтах (рис. 2) характеризуется умеренным обогашеинем легкими лантаноидами (La/Yb = 12,3), крутым наклоном кривой (La<sup>11</sup> Sm<sup>11</sup> = 4.1) и высокой степенью дифференцированности легких и тяжелых РЗЭ на фоне плавного убывания последних. Величина "Sr/6Sr дает устойчивое значение 0.7040 [17]. Однородность состава больших объемов трещинных платобазальтов, отсутствие признаков дифференциации и контаминации, геохимические параметры позволяют предполагать их мантийное происхождение из истощенного субсграта и условия «сухого» высокотемпературного плавления низкон степени. Геодинамический режим вулкапизма соответствует пульсационным излияниям жидких лав по сквозным расколам растяжения

без задержки в промежуточных очагах.

Ареальный базальтовый вулканизм в тектоническом плане конгролируется близширотными общекавкаскими структурами пояса, Базальты, представляющие начальные члены дифференцированных серий, изливались из небольших моногенных вулканов центрального гипа, связанных с залегающими на разных уровнях промежуточными (2-5км) и периферическими (0,5-1км) вторичными очагами [24] Ареальный вулканизм локализован в западной и восточной зонах (табл. 1), различающихся масштабом и временем проявления базальтов и степенью дифференцированности комплексов, начальными членами которых они являются. В масштабах проявления базальтового вулканизма отмечается четкая латеральная зональность, выраженная возрастанием его объемов по мере удаления от Транскавказского поперечного поднятия на ЮВ, где в пределах Сюникского нагорья достигает максимума В том же С3-ЮВ направлении протяженные известково-шелочные и субщелочные серии сменяются укороченными субщелочными и щелочными, возрастает общая и калиевая щелочность с появлением на Сюникском нагорье фельдшпатоидных базальтов. Согласованно с латеральным трендом щелочности увеличивается степень недосыщенности SiO., меланократовость, усиливается роль ТіО<sub>2</sub> и Р<sub>2</sub>О<sub>5</sub>. Состав микроэлементов в ареальных базальтах по сравнению с платобазальтами отличается значительно более высокими содержаниями (в г/т) Li(12-24), Rb(18-43), Cs(<1.6), Sr(1400-1780), Ba(1267), Zr(180-240), Nb(20), Co(21-100), V(96-320), Та(1,8), низкими—Cr(28-100), Ni(25-40), Y(15-18). Существуют также латеральные вариации содержаний микроэлементов между ареальными базальтами западной и восточной зон, при этом в последней роль КИР элементов, V, Со выше, а Cr, Ni, Y-заметно ниже. По Ti—Zr соотношениям базальты обеих зон, как и платобазальты. относятся к внутриплитным континентальным сериям. По [18] для ареальных базальтов характерно резкое возрастание как суммы РЗЭ, так и степени фракционирования легких и тяжелых лантанондов (La/Yb=30.5) с крутым профилем кривой (La''Sm''=5.2). Отношения <sup>м7</sup>Sr/<sup>86</sup>Sr = 0.7035—0.7037 [17] отвечают мантийным источникам. При

веденные петро-геохимические параметры указывают на ведущую роль в петрогенезисе ареальных базальтов частичного плавления сбогащенного водосодержащими и редкоземельными акцессорными фазами мантийного источника, состав которого обнаруживает латеральную изменчивость с увеличением глубины залегания, степени плав-

ления и роли флюндиых компонентов в ЮВ направлении.

Базальтовый вулканизм зоны активизации. Капанский блок пред ставляет крайний ЮВ-Ю фрагмент Сомхето-Карабахской ОД, выступающий как постинверсионная консолидированная структура. В его границах повейший базальтовый вулканизм представлен группой моногенных вулканических центров, приуроченных к глубинным разломам мезозейского возраста, активизированным на позднеорогенном этапе. Лавы и эксплозии этих вулканов не имеют аналогов среди мезокайнозойских базальтов и являются наиболее магнезиальными (8 11,56% MgO) и педосыщенными SiO2 (до 11% нормативного нефелипа) среди повейших базальтов Армении [25]. Они отличаются натровым уклоном  $(3.25-5.25\% \text{ Na}_2\text{O})$ , высокими содержаннями  $\text{TiO}_2$ (1,21-1,65%) и  $P_2O_5(0,9-1,2\%)$ . Геохимическая специфика базанитов состоит в пониженных содержаниях коррелируемых с калием элементов (вг/т) — Li(7,9), Rb(17—24), Ва (100), резко повышенных— Sr (2000—2400) и таких тугоплавких сидерофильных элементев, как Ni(275-430), Cr(320-560), при низких V(142-153), Co(32-43). Из группы ВЗИ элементов наряду с Т., заметно повышены содержаиня Zr(170—210), Nb(17—25), Та(09—2.40), Y(18—24). По соотисшению Ti—Zr капанские базаниты занимают центральное положение в поле внутриплитных базальтов. По [18] содержание суммы РЗЭ в капанских базанитах наиболее высское во всем ряду мезокайнозой ских базальтов (рис. 2), что отчетливо коррелируется с повышенной общей щелочностью. Заметно сильное обогащение легкими РЗЭ (La/Yb=46,3-62,5), крутой наклон линии изменения содержаний  $(1.31)/\text{Sm}^{-1} = 4-4.1)$  при резко пониженных содержаниях ТРЗЭ. Эти особенности должны отражать плавление метасоматически обогащенного мантийного субстрата, содержащего амфибол и редкоземельные акцессории [18]. Уровень зарождения первичных очагов капанских базанитов по сравнению с очагами ареальных базальтов смещается на значительные глубины (75-85 км), в которых дифференциация расплавов происходила с фракционированием фаз оливина и амфибола. Геодинамические условия проявления этой специфической серии сопоставляются с щелочными вулкапитами протягивающейся кЮ-ЮВ Загросской зоны

III. Базальты рифтогенных режимов (многоэтапного континентального рифтогенеза)

а) Базальты верхнетриас-нижнеюрского этапа развития СЗ Ерах-Неграмской зоны. ЮВ часть Центрально-Армянского мегаблока, являющегося пассивным краем Ирано-Аравийской плиты, в Т3— І время развивалась в режиме континентального рифтогенеза. Региональным проявлением этого процесса является прослеживающаяся к ЮЗ от Вединской офиолитовой зоны по линии гор Ерах-Ехегис-Азнабюрт-Неграм продольная прерывистая полоса развития вулканитов контрастной серии щелочной базальт-трахиандезит-трахит На различных участках рифтогенной структуры эта серия представлена с различной полнотой с сокращением роли трахитов в ЮВ направлении; дифференциаты обнаруживают заметные вариации петрографического состава Его отличительной ссобенностью является высокое содержание фенокристаллов высокотитанистых темноцветных и апатита, кристаллизация которых продолжалась и в эффузивную стадию (табл. 1). Химизм

и елочных базальтов и грахибазальтов Ерахского выхода определяется недосыщенностью  $SiO_2(40.12-52.15\%)$ , резкими вариациями МЕО(10.6-2%), высоким суммарным содержанием щелочей (3.2-8,9% при К2O>Na2O), а также TiO2(17-3.7%), Р2O5(0.5-1.26%). Они заметно обогащены коррелятивными к калию элементами (в г/т) Ва(120), Sr(560), а также Zr(200-700), Y(26), V(150-170), обедтены N1(25), Cr(80) [19]. В трахибазальтах Азнабюртского и Неграмского выходов резко возрастают концентрации Ni(33-138), Cr(63-170), V(144—336), Y(22—49), убывают—Zr(110) [8]. По скоррелипованному высокому содержанию Ті и Zr составы отвечают базальтам внутриконтинентальных обстановок. По [19] в распределении РЗЭ выявляется резкое обогащение легкими лантаноидами (La/Yb=22.5) при крутом зарактере убывания тяжелых (рис 2). Таким образом, приведенные параметры свидетельствуют о происхождении Т3--- Ј1 базальтов Ерах-Неграмской зоны за счет частичного плавления апомально-обогащенного флогопит- и апатит-содержащего мантийного субстрата в условиях высоксто Рф; на ЮЗ фланге зоны фронт магмаобразования заметно углубляется и возрастает степень плавления. б) Базильты верхнеолигоцен-нижнемиоценового этапа развития Вайк-Вединской зоны. Процессы континентального рифтогенеза в ЮВ части Центрально-Армянского мегаблока проявлялись далее на  $Pg:=N_1$ этапе и контролировались региональными структурами системы Транскавказского поднятия. В геолого-структурной связи с ними формируется узкий, вытянутый в субширотном направлении Вайк-Вединский пояс щелочных вулканитов, ограниченный парой разломов, запоженных в палеозой-допалеозойском фундаменте. Щелочные вулканиты обнажаются в междуречье Азат-Веди и в Западном Вайке и слагают крупные вулкано-тектонические депрессии (Котуц-Одзасар и Зовашен-Агавнадзор). Установлено двухкратное проявление вулка нических процессов с формированием гомодромных серий-верхнеолигоценовой (анальцимовый тефрит-трахиандезит-трахириолит) и верхнемиоцен-плиоценовой (лейцитовый тефрит-трахиандезит-фонолит) [3]. Вулканиты рифтовой структуры в бассейне оз. Севан приурочены к ширетным разветвлениям Транскавказского поднятия и распространены на Варденисском нагорье и Восточно-Севанском хребте. Их рифтогенная природа кроме структурной приуроченности подтверждается высокой шелочностью составов всей серии и особенно базальтовых зифференциатов. По сравнению с базальтами предшествующего этапа, они обладают более узким диапазоном вариаций SiO2 (44-51%), TiO2 (0.93--2.3%) и Р<sub>2</sub>О<sub>5</sub>, болсе высокой магнезиальностью при несколько пониженной общей щелочности с сохраняющимся соотношением  $K_{2}O\!>\!N_{3}O_{2}.$  Геохимические параметры щелочных базальтов  $Pg_{3}^{3}-N_{1}$ серии отличаются высокими содержаниями (в г/т) Li(19 70), Rb(90--100). Cs(5--8), Sr(800-1100), Ba(1000-1600). Co(60-75), V(350). Zr(260-320), Nb(22-26), умеренно-высокими Ni(120-140), Cr(82-110) и Y (15-24) [12]. Характерно кроме того резко фракционированпое распределение РЗЭ (La/Yb=180), сходное с базальтами Т3-Л этапа ле отличающееся более высоким уровнем концентраций ТРЗЭ [12]. Величины <sup>87</sup>Sr/<sup>86</sup>Sr варьируют в пределах 0.70636—0.70837 при пизком Rb/Sr отношении (0.08), что характерно для континентальнорифтовых серий повышенной калиевой щелочности. Геохимические особеннести и, в частности, повышенные содержания КИР и ВЗИ элементов наряду с тугоплавкими могут указывать, что первичные расплавы генерировались за счет метасоматически обогащенного флогопит-содержащего мантийного субстрата. Отметим также геохимическую преемственность между составами  $T_3-J_1$ ,  $P_5-N_1$  щелочных базальтов, обусловленную сходной специализацией первичных расплавов, степень плавления которых возрастает во времени.

#### ЗАКЛЮЧЕНИЕ

В мезокайнозойской истории восточной части Армянского нагорья импульсы базальтового вулканизма совпадают с этапами структурных перестроек в геологическом развитии Кавказского сегмента Альпийско-Гималайского пояса и отражают условия длительной активности мантийных магматических очагов разных уровней глубинности. Эволюция базальтового вулканизма имеет дискретный характер, определяемый неоднородностью мантийных источников и различными геодинамическими режимами магмообразования в крупных пространственно разобщенных континентальных мегаплитах и разделяющей их офнолитовой сутуре.

Выделяются собственно островодужная  $(J_2-K_2)$  и континентально-коллизионная  $(Pg_2^2-Q)$  стадии с независимыми трендами петрохимической изменчивости базальтов. В каждой из стадий от ранних этапов вулканизма к поздним возрастают масштабы проявления и объемы излияний базальтов, отражая возрастание степени плавления глубинных субстратов и усиление тепло-массопереноса, в том числе флюидного Под влиянием этих процессов возрастает петро геохимическая дифференцированность сепряженных с базальтами вулканических серий, возникают автономные очаги плавления сналического материала континентальной коры, усиливается роль  $K_2O$  и некогерентных элементов, сумма P39 и степень их фракционированности.

Островодужная стадия отвечает формированию фрагментарной системы энсиалических и энсиматических дуг по южному борту Евро азнатской плиты. На завершающих этапах их развития субдукционный механизм выплавления первичных магм из истощенных мантийных источников сменялся механизмом мантийного диапиризма с формированием внутридуговых рифтов и вовлечением в плавление обога-

щенных глубинными флюидами компонентов.

Континентально-коллизионная стадия проявлена по северному выступу Иранского микроконтинента и обнаруживает специфические особенности зон столкновения средиземноморского типа. Они определяются наличием мощной континентальной коры с ее мозанкой разпородных блоков, сопряжением различных тектонических режимов, механизмом гетерогенного мантийного (и нижнекорового) магмообразования. На раннеколлизнонной стадин возрастает многообразие петрохимических типов базальтов при определенной конвергенции петрогеохимических признаков геодинамических зон типа зрело-островодужных, растяжения и внутриплитных. Позднеколлизнонный этап подчинен мощному глобальному импульсу базальтового вулканизма. связанному с интенсивным сводово-глыбовым воздыманием Армянскоге нагорья и активизацией Афро-Аравийской рифтовой системы. Эволюция состава базальтов отражает совмещение собственно коллизионной, рифтогенной и внутриплитной геодинамических обстановок в в условиях массовой проницаемости земной коры.

В пределах северного выступа Иранской плиты независимые петро-геохимические серии  $T_3$ — I и  $Pg_3^3$  — N, этапов контролируются продольными континентально-рифтовыми структурами. В них реализуются особые тектонические напряжения, обеспечивающие выплавление глубинных магм специфического состава и выведение их на по-

верхность без существенного взаимоденствия с материалом земной коры.

Работа выполнена в рамках темы 92-225, финансируемой из гос-

бюджета Республики Армения.

#### ՀԱՅԿԱԿԱՆ ԼԵՌՆԱՇԽԱՐՀԻ ՀՅՈՒՍԻՍ-ԱՐԵՎԵԼՅԱՆ ՄԱՍԻ ՄԵԶՈԿԱՅՆՈԶՈՅԱՆ ՀԱՍԱԿԻ ԲԱԶԱԼՏԱՅԻՆ ՀՐԱԲԽԱՅՆՈՒԹՅՈՒՆԸ

Ռ. Տ. Ջբբաջյան, Հ. Ա. Ղազաբյան, Ս. Հ. Կաբապետյան, Խ. Բ. Մելիքսեթյան, Ա. Խ. Մնացականյան, Կ. Գ. Շիբինյան

#### Ulafhnahnia

Քննարկվում են բազալտների տարածման և տեղաբաշխման երկրաբահական, տեկտոնական պայմանները, նրանց պետրոլուդիական և երկրաքիմիական առանձնահատկություններն ու դերը մեզոկայնողոյում երկրակեղևի ձևավորման պատմության ընթացքում։

տային գոտու սա մաններում ընթացող երկրադինամիկական պրոցեսներից։

## MESO-CENOZOIC BASALTIC VOLCANISM IN THE NORTH-EASTERN PART OF THE ARMFNIAN HIGHLAND

R. T. Djrbashian, G. A. Kazarian, S. G. Karapetian, Kh. B. Meliksetian, A. Kh. Mnatsakanian, K. G. Shirinian

#### Abstract

The paper consequently considers a geological-tectonic position and petrogeochemical specific features of the Meso-Cenozoic basaltic complexes in the northeastern part of the Armenian Highland. A discrete character of temporal changes in basalt's composition that were related to the reconstruction processes of geodynamic regimes in the Euroasian and Iranian plates' edges and the ophiolite suture separating them was revealed. Three stable petro-geochemical types of basalts, corresponding to the regimes of island arc, continental collision and riftogenesis, were distinguished. Each basalt's type evolution reflects the trend of increasing of the role of  $K_2O$ , incohorent elements, sum of rare-earth elements and their fractionation degree A diversity of basalt types is attributed to heterogeneity and different depths of initial mantle substrates, differences in their melting degrees and participation of fluid phase.

#### JIHTEPATYPA

- 1. Асланян А. Т., Ширинян К. Г., Карапетян С. Г. Петрогенетические аспекты повейшего вулканизма Тавро-Кавказского орогена. В кн.: Петрология (Доклады советских геологов на XXV сессии МГК), Наука, 1980 с. 56—66.
- 2. Ачикгезян С. О. О геодинамическом развитии и металлогении Малого Кавказа в мезокайнозос.—Изв. АН АрмССР, Науки о Земле, 1985, т. XXXVIII, № 5. с. 71—80.
- В Базарова Т. Ю. Казарян Г. А. Неогеновые щелочные эффузивы Южной Армении и условия их формирования. Вулаканология и сейсмология 1986, № 2 с 34—4.
- 4 Джрбашян Р. Т. Палеогеновые вулканические пояса зены замикания ожения Тетис (Малый Кавказ). Автореф. дисс. на соиск. уч. ст. докт, геол-мин. наук. Тбилиси, 1989, с. 59.
- і Джрбашян Р. Т., Меликсетян Х. Б., Мнацаканян А. Х. Особенности коллизнонного пулканизма Малого Кавказа.—Тезисы І Всероссийского петрогр. сов «Млгматизм и геодинамика». Уфа: 1995. с. 70—71.
- 6. Зассев В. Г., Абрамович И. И. Юрско-меловая петрохимическая зональность Сомхето-Кафанской островодужной системы (Малый Кавказ) Геотектолика, 1993. № 2. с. 47—53
- 7. Закариадзе Г. С., Книппер А. Л., Соболев А. В., Цамерян О. П., Дмитриев Л. В., Вишневская В. С., Колесов Г. М. Особенности структурного положения и состава вулканических серий офиолитов Малого Кавказа. В ки: Океанический магматизм. Эволюция, геологическая корреляция. М.: Наука. 1986, с. 218—241
- 8. **Карякин Ю. В.** Геодинамика формирования вулканических комплексов Малого Какваза. Гр. ГИН АН СССР, вып. 438, М.: Наука, 1989, 150 с.
- 9. Казарян Г. А. Ультраосновные жильные породы Алавердского рудного ранона. Тр. Упр. геол. и охр. педр. АрмССР, т. П., 1959, с. 181—190.
- 10. Магакян Р., Закарнадзе Г. С., Дмитриев Л В., Колесов Г. М., Коровкина Н. А Геохимия юрско-нижнемелового вулканического комплекса Северной Армении Вулканология и сейсмология. 1985, № 3, с. 39—53.
- 11 Мартынов Ю. А Геохимия, минералогия и петрогенезис мноцен-четвертичных платоэфярузивов Восточного Сихотэ-Алиня.—Петрология, 1995, т. 3, № 2, с. 158—172.
- 12. Меликсетян Б. М. Петрология, геохимия и рудоносность палеоген-неогеновых вулкано-питрузивных формаций Малого Кавказа (магматизм зон коллизии). Автореф дисс. на соиск. уч. ст. докт. геол-мии, наук. Тбилиси, 1989, 49 с.
- 13. Милановский Е. Е. Рифтовые зоны континентов. М: Недра, 1976, 280 с.
- Мнацаканян А. Х. Верхнеюрский-меловой вулканизм Кафанского антиклинория (южная часть АрмССР).- Изв. АП АрмССР, Науки о Земле, 1970, т. XXIII. № 3, с. 52-60.
- 15. Мнацаканян А. Х. Петрология верхнемеловой вулканической серии Северной Армении. Изд. АН АрмССР, Ереван: 1981, 240 с.
- 16 Осгроумова А. С. Орогенные андезитовые комплексы Кавказа и Украинских Карпат.—Сов. геология 1982, № 12, с. 103—109.
- 17. Петрологическое изучение магматических ассоциаций коллизионных обстановок Остроумова А. С., Станкевич Е. К., Центер И. Я., Соболев А. О., Путинцев А. В. М.: 1995, 215 с.
- 18. Попов В. С., Семина В. А., Николаенко Ю. С. Геохимия новейших вулканитов Кавказа и их происхождение. В ки.: Геохимия континентального вулканизма; гл. о М.: Паука, 1987, с. 143—237.
- 19. Сатиан М. А., Варданян А. В., Степанян Ж. О., Таян Р. Н., Мнацаканян А. Х. Арутюнян М. А., Нисанян Г. Б. О геологическом строении и к минерагении ламирофировых диатрем Вединской офиолитовой зоны—Изв. НАН РА, Науки о Земле, 1997, т. L №1—2.
- 20. Сиязь мелового и палеогенового вулканизма Армении с типами развития геосии-

клинальных прогибов //Джрбашян Р. Т., Елисеева О. П., Мнацаканян А. Х. Остроумова А. С., Фаворская М. А. /, М.: Наука, 1968, 153 с.

2) Сондерс А. Д., Гарни Дж. Геохимические характеристики базальтового вулканизма в задуговых бассейнах.—В ки Геология окраинных бассейнов. М.: Мир. 1987, с. 102—133.

22 Состав, физические свойства и вопросы петрогенезиса новейших вулканических образований Армении / Толстой М. И., Ширинян К Г. и др. Изд. АН АрмССР, Ереван: 1980, 320 с.

23 хаин В Е., Лобковский Л И. Об особенностях формирования коллизионных оро-

генов. Геотектоника, 1990, № 6, с. 20-31.

- 14. Ширинян К. Г., Бадалян М. С., Гукасян Ю. Г. Некоторые особенности магнитного поля Арагацкого вулканического нагорья. Изв. АП АрмССР, Науки с Земле, 1981, т XXXIV, № 4 с. 59—74.
- да Ширинян К. Г., Задоян В. А. Петрогенетическая систематика позднеорогенных базальтондов Армении. Докл. АН АрмССР, 1990. т. 90, № 3, с. 125—130.

26 Эволюдия магматизма в истории Земли. Магматические горные породы. М.: Наука, 1987, 437 с.

27 Anders, E., Grevesse, N. Abundances of elements: Meteoric and solar. Cosmochim. Geochim Acta 1989, 53, p. 197-214.

Нзвестия НАН РА, Науки о Земле, 1996, ХЦХ, № 1-3, 32-39

#### ՆԱՎԹԻ ԵՎ ԳԱԶԻ ՆՍՏՎԱԾՔԱԲԱՆԱԿԱՆ ԾՈՒՂԱԿՆԵՐԸ ՀԱՅԱՍՏԱՆԻ ՀԱՆՐԱՊԵՏՈՒԹՅԱՆ ՊԱԼԵՈԳԵՆԻ ՆՍՏՎԱԾՔՆԵՐՈՒՄ

#### © 1996 թ. Հ. Ա. Սաղոյան, 3. Ռ. Ղահրամանով

Институт геологиечских наук НАН РА 375019 Ереван, пр. Маршала Баграмяна, 24a, Республика Армения Поступила в редакцию 24.05.91.

Առաջին անդամ Հայաստանը տարածքի պալեոգենի զոր (մոտ. 6կմ) ռաստվածքներում առաջարկվում է նավքի և գազի առկայությունը նստվածքաբանական (լիթեղագիական) ծուղակներում, Դրանք հիմնականում թուրբիդիտային արտաբերման կոների իւճաավազային կազմի մարժիններ են, որոնք մեկուսացվել են ֆլյուիդամերժ ապարներով։ Այս մարմինները ապասվում են Արաբատյան իջվածքի պալեոցեն-էոցենի նստվածքներում, մինչև 4,5կմ իւորություններում։ Ավելի փոքր չափի իւութային կարբոնատային ծուղակները սպասվում են վերին Լոցեն-օլիդո-ցենի կտրվածքներում, մինչև 3կմ խորություններում։

Հայաստանի Հանրապետության տարածքում 1948 թվականից որոշ ընդ հատումներով տարվել են որոնողահետախուզական աշխատանքներ նրա ընդերքում նավթի և գազի բացահայտման ու նրանց հեռանկարների գնահատեման համար։ Պարզվել է, որ նավթագազաբերության տեսակետից Հայաստաննում առավել հեռանկարային է Արարատյան իջվածքը իր հարակից տեղամասերով [1,2,3,9]։ խորը հորատման տեսակետից վատ է ուսումնասիրել և դեռ պարզ չէ Սևան Շիրակի ու Վայոց ձորի իջվածքների նստվածքային հաստվածքների նավթագարարան հեռանկարները։ Երկրադինամիկական զարդացման, ֆացիա-նստվածքարանական առանձնահատկությունների, օրդանական նյութով ապարների հագեցվածության իմաստով Արարատյան իջվածքի նստվածքային հղոր հաստվածքները կարելի է համեմատել Ալպիական Հիմավթի նստվածքային հղոր հաստվածքները կարելի է համեմատել Ալպիական

ունեցող Պանոնի, Տրանսիլվանյան և Կուրի (վերջինում հատկապես Կազանբուլախի, Մամեդխանլիի, Սամգորիի, Պատարձեուլիի ոչ մեծ նավթագաղաբեր դաշտերի) իջվածքների ձետո Նշված իջվածքներում նավթը և գազը հանդիպում են դերազանցապես պալեոգենի և նեոպենի հասակի հաստվածքներում։

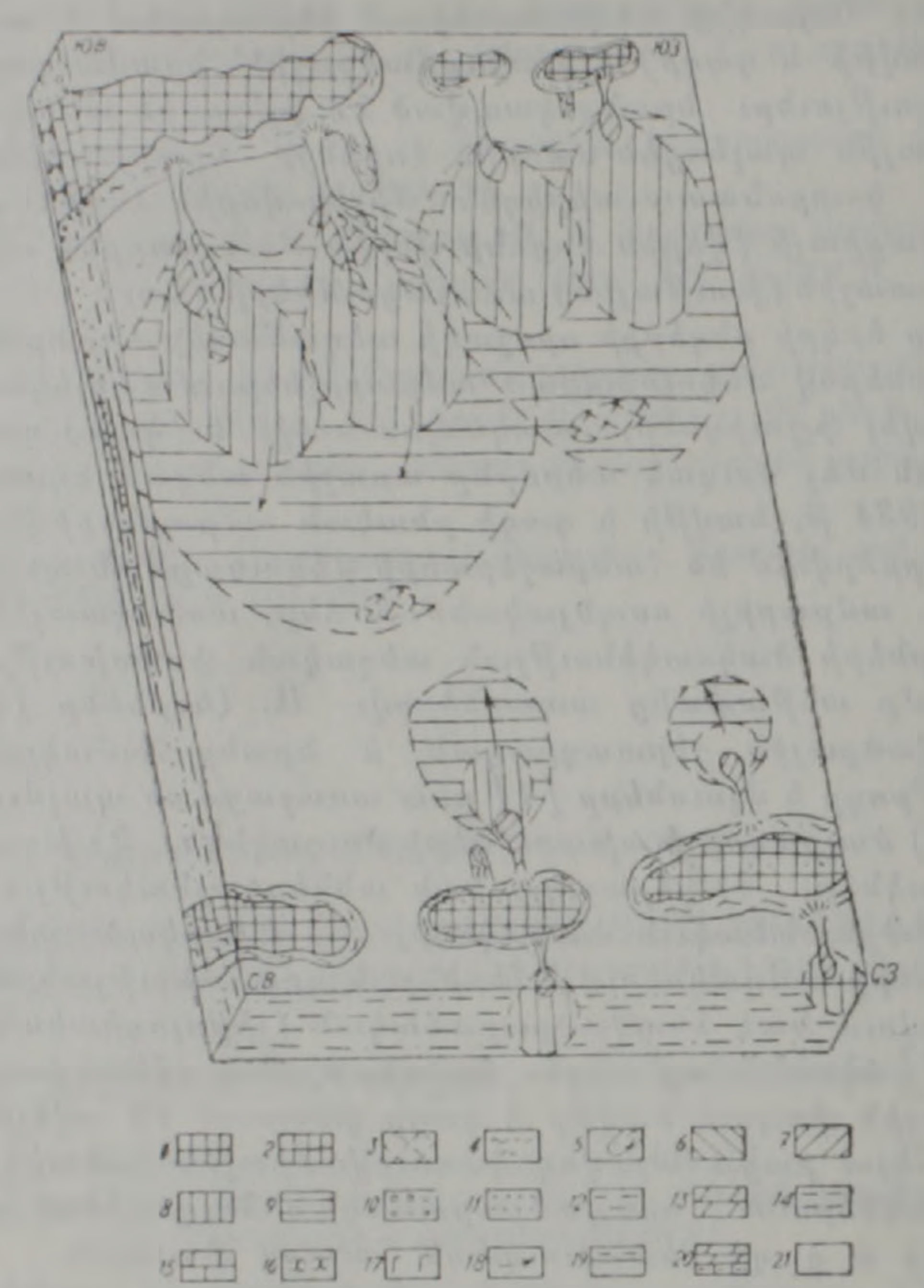
Հայաստանի պալեոգենի նստվածքներում, հատկապես Արարատյան իջվածքում և նրան հարակից տեղամասերում են թադրվում է ածխաջրածնային ֆլլուիդների (նավթի և գազի) ոչկառուցվածքային՝ նստվածքաբանական ծուղակների առկայությունը։ Նրանք կապված են ֆլիշային ասոցիացիայի տերիդեն-կարրոնատային պալեոցեն-ստորին էոցեն), հրաբխածին-նստվածքային (միջին էոցեն), կարբոնատա-տերիդեն (միջին-վերին էոցեն) ու ստորին մոլասային ասոցիացիայի (վերին էոցենի վերին մաս-ստորին օլիգոցեն) տերի-

դեն ու կարբոնատային (խութային) առաջացումների հետ։

Ծուղակները երկրի ընդերքի որոշակի տեղամասեր են, որտեղ անթափանց լեռնային ապարներով մեկուսացված ամբարիչներում (կոյեկտորներում) կարող են կուտակվել ֆլլուիդներ, հատկապես նավթ և (կամ) գազ։ Նավթային երկրաբանության մեջ ծուղակ տերմինը առաջին անգամ օգտագործել է Մակ Քոլաֆը [10] 1934 թ. նավթի և գաղի բնական ամբարների նշանակման համար, որոնը տարբերվում են հանքաշերտերի մեկուսացման պայմանների բազմադանությամբ. ամբարիչի ոսպնյականման ձևր, ասֆալտային խցանի առա ջացումը, ապարների ծակոտկենության տեղական փոփոխությունները, ամբարիչի ծածկումը անթափանց ապարներով։ Ա. Լևորսենը [6] առանձնաց նում է կառուցվածքային, շերտագրական և նրանց համակցված տիպի ծուղակներ։ Ի. Օ. Բրոդր և մյուսները [4] ըստ առաջացման պայմանների առանձնացնում են. 1) ծայքավոր խախտումների ծուղակներ, 2) խզումնային խախտումների ծուղակներ, 3) շերտագրական աններդաշնակությունների ծուղակներ, 4) նստվածքաբանական ծուղակներ, 5) թվարկած տիպերի տարբեր ցուցորդությունների ծուդակներ։ Ամերիկյան գրականության մեջ շերտագրական են համարվում նաև նստվածքաբանական (լիթոլոգիական) ծուղակները։ են, ենորսենը [6] նշում է, որ որպես կանոն, որոնողաբետախուգական աշխատանքների առաջին փուլում նավթը և գաղը փնտրում են ավելի լայն տարածված և ավելի հեշտ բացահայտվող կառուցվածքային (անտիկլինալային կառույցներ) ծուղակներում։ Նստվածքաբանական ծուղակների բացաչայտումը ընտրոշ է նավքի և դաղի հետախուզման հաջորդ փուլերին։ Նստվածբաբանական ծուղակները դրանք որոշակի նստվածքներից (ապարներից) կազմված (Տիմնականում ավազաքարեր, խութային կրաքարեր, դոլոմիտներ) ոսպնյակաձև, ժապավենաձև մարմիններ են, մեկուսացված ֆլյուիդամերժ ապարներով (Հաճախ կավերով), որոնք բավարար ծակոտկենություն, ճեղքավորություն և թափանցելիություն ունենալու դեպքում կարող են դառնալ ջրի, նավթի և դաղի ամբարիչներ։ ԱՄՆ-ում նավթի և գազի հանույթի 40 տոկոսից ավելին ստացվում է նստվածքաբանական ծուղակներից և նրանց զուգորդումից անարկլինայային կառույցների հետ [6]։

Թանի որ մինչև այժմ Հայաստանի տարածքի անտիկլինալային կառույցներում (Շորաղբյուրի, Հրադդանի, Արմավիրի) բացահայտվել են նավթի և
դազի շատ փոքր կուտակներ, ապա անհրաժեշտ է հետագա որոնողական հետախուղական աշխատանքներում մեծ ուշադրություն դարձնել նստվածքաբանական ծուղակների բացահայտմանը, հաշվի առնելով նախորդ փուլում ստացված երկրաֆիդիկական և հորատման բոլոր տվյալները։ Հայտնի է [8], որ
Հայաստանի պալեոգենի հասակի նստվածքներում, այդ թվում և Արարատյան
իջվածքում լայն տարածում ունեն մինչև 5000 մ հղորության ֆլիշային ասոցիացիայի առաջացումները, և շատ մեծ է հավանականությունը, որ նրանցում
կարող են լինել ստորջրյա պղտոր հոսքային (թուրբիդիտային) ծագման արտարերման կոների խճա-ավազային մարմիններ՝ նստվածքարանական ծուղակներ։ Նրանց չափավոր խորջրյա ծովային ծագումը հաստատվում է պալնողենի թուրբիդիտային ֆլիշային առաջացումների հետ այդ մարմինների

սերտ հարաճմամբ։ Այստեղ չկան ցամաքային և մերձափնյա նստվածքների վուգորդումներ՝ բարեր և ճահճակալած լաղունային նստվածքներ։ Սրանք հիմնականում ցամաքային ծայրամասերի ստորոտում պղտոր հոսըերի կուտակած ստորջրյա վերին արտարերման կոներ և սապրոֆենային Թիակներ են (նկ. 1)։



Նկ. 1 Պալևոցենի նստվածքառաջացման միջավայրի ուրվակծային մանրակերտը Հայաստանի տարածքում։ 1. Ցամար (կղզի) ցածր, միջին բարձրուիյան լեռներով, 2. Ցամաք (կղզի) բլրադարիավայրային ռելիեֆով, 3. Ստորջրյա բարձրացումներ, 4. Շելֆային զոնա, 5. Ստորջրյա սողանքներ, 6 — 9. Թուրբիդիտային առաջացումներ, 6. Նոտվածքային լլիակի, 7. Վերին արտաբերման կոնի, 8. Միջին արտաբերման կոնի, 9. Ստորին արտաբերման կոնի, 10. Կոնգլոմերատներ, 11. Խմաքարեր, ավազաքարեր և խմավազային կրաքարեր, 12. Տղմաքարեր և տղմային կրարարեր, 13. Մերգելներ, 14. Կավեր, 15. Պալեոզոյան և մեզոզոյուն կրաքարհը, 16. Կվարցային ավազաթարեր, 17. Գերազանցապես միջին կազմի հրաբխային ապարներ, 18. Թուբիդիտային :nuph ուղուβյունը, 19. Կրային խճարարային և խճային կրաքարերի, կրային ավազաքարերի և ավազային կրաքարերի և տղմային կրաթարերի, մերդելների և կավերի ֆլիշային տիպի հերիափոխություն, 20. Կրային տղմաքարերի և տղմային կրաբարերի, մերգելների և կավերի ֆլիշային տիպի հերիափոխություն, 21. Ծովային, գերազանցապես պելադիկ նստվածքներ

Արտաբերման կոների ծայրամասերում նրանք սովոաբար անցնում են պելիտային նստվածքների, Հաճախ ծածկվում դրանցով, այնպես որ բրածո վի-Հակում պելիտային առաջացումները դառնում են ծածկոցներ, մեկուսիչներ այդ ժապավենաձև խճաավաղային մարմինների Համար։ Պալեոցեն-ստորին էոցենի 1500մ Հղորության տերիգեն կարբոնատային ֆլիշային Հաստվածքի ցամաջածին ընկորային նյունը բերվել է գերաղանցապես պալեոզոյի-արիասի ապարներից կազմված Հարավհայկական դանդվածից, որը մերկանում է Արարատյան դաշտավայրի հարավային, հրավարևելյան մասերում։ Այս դանգվածը բախվել է հրային կղղիադեղային համակարգի Փոքր Կովկասի հատվածին կավճում։ Բեկորային նյունի փոքր մասը մատակարարվել է կավճումվաղ պալեոգենում այդ կղզիաղեղային համակարգի նախաաղեղային ավադանի լանցերը վրաշարժված (օբդուկցված) օֆիոլիտներից։ Միջին-վերին էոցենի ֆլիլոիդ-ֆլիլային հպոր (3500մ) հաստվածքներում խճավազային մար աինների բեկորային նյութեր գերադանցապես ստացվել է հյուսիսում և հյուսիսարևելքում գտնվող Փոքր Կովկասի հրաբխային կղզիաղեղային կառույցներից և մասամբ՝ հարավում ու հարավ-արևելքում մերկացած Հարավհայկական գանգվածից։ Պայևոցեն-ստորին էոցենի խձաավաղաքարային մարմինների տերիգեն նյութը նվաղող կարգով ներկայացված է կվարցով, դաշտային սփաթներով, կրաքարերի, կվարցիտների, կվարցդաշտասփաթային ավազաքարերի, յաշմաների, սպիլիտների, սերպենտիտների բեկորներով։ Ցեմենտր կրային է, կավային նյութի խառնուրդով։ Միջին-վերին էոցենի ֆլիշոիդ-ֆլիշային հաստվածքի բեկորային հյութը հիմնականում ներկայացված է օրա բխալին ապարների (անդեզիտների, բազալտների, դացիտների և նրանց տու ֆերի) բեկորներով, պլագիոկլազներով, կվարցով։ Խճաավաղային մարմինների ցեմենտր գերազանցապես կավային է։

Հավանաբար պալեոգենի ծովային, հատկապես պելիտային նստված բներում (նավթածին շերտաշարք) զգալի քանակությամբ կուտակված օրգանական (դերազանցապես սապրոպելային նյութը) անաերոր մանրեների կենսագործունեությամբ դիագենեզի փուլում քայքայվել, տրոհվել է մասերի, ավելի կայուն լիպոիդային միացությունների, նավթային ածխաջրածինների առանձնացմամբ։ Կատադենեզի փուլում, որոշակի խորասուղման հետևանքով մեծացած ձնշման և ջերմաստիճանի պայմաններում այդ մնացորդային օրգանական նյութը վերափոխվել է միկրոնավթի, գաղի և տեղաշարժվելով կուտակվել բավարար ամբարիչ հատկություններ՝ ծակոտկենություն, ձեղքավորություն և թափանցելիություն ունեցող կառուցվածքային և նստվածքաբա-

նական ծուդակներում։

Արարատյան դաշտավայրի հյուսիսային ծայրամասում, Նարեկ ու Դվին գյուղերի միջև ընկած տարածքում մերկանում է մոտ 40մ Հղոոության, չեղ և ափսեաձև շերտայնությամբ խճաավազաքարային մարմին պալեոցեն-ստորին էոցենի հաստվածքի վերին մասում, որը Թուրբիդիտային ծազման հատիկալին հոսքի ժապավենաձև առաջացում է։ Հնաշխարհագրական, ֆացիա-նրստվածքաբանական վերլուծությունը ցույց է տալիս, որ պալեոցեն-ստորին էոցենի կարվածքում այս մարմնի խորասուցված շարունակությունը կամ նման թաղված մարմիններ կարելի է սպասել Արարատյան իջվածքի հարավային և ւարավ-արևմտյան մասերում՝ Արտաշատ—Մխչյան—Մասիս գյուղերի միջև ու արևմտյան, հյուսիս-արևմտյան մասերում՝ Արևշատ—Շորադբյուր—Այնափ դյուղերի միջև ընկած տարածքների մինչև 4000մ խորություններում (նկ. 2)։ Միջին-վերին էոցենի հրաբիսանստվածքային (ֆլիշոիդային) և նրստվածքային (ֆլիշային) հղոր (մինչև 3500մ) հաստվածքներում Թուրբիդիտային ծագման խճաավազային Թաղված մարմինների առկայությունը ենթադրըվում է նղվարդ—Ֆանտան—Արամուս գլուղերի միջև գտնվող իջվածքում, 1500 — 4000 մ քարրություններում։

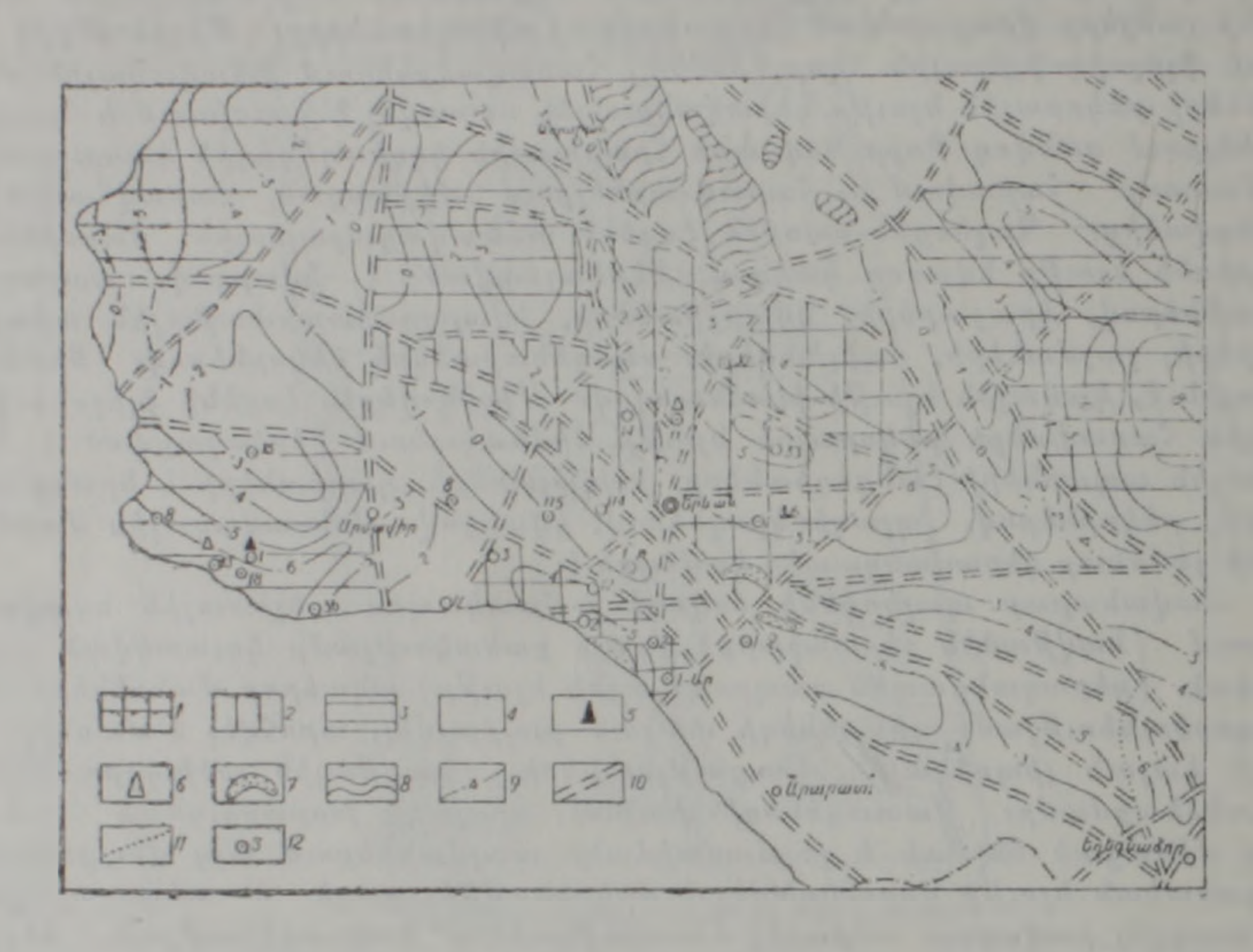
Ա. Ռիթենչաուսը [11], ըստ ծազման առանձնացնում է սկզբնական նստվածքաբանական ծուղակներ, որոնք ձևավորվել են նստվածքակուտակման փուլում և երկրորդային ծուղակներ, կազմավորված դիադենետիկ պրոցես-ների չետևանքով։ Պալեոսենի կտրվածքում առաջարկվող ծուղակները գերաան ապանական նաև դիագենետիկ ծագման նստվածքաբանական ծուղակների

առկայությունը Հայաստանի տարածքի պալնոցննի կտրվածքներում։

Ինչպես նշում է Ռ. Վուոքերը [13], նավթի և գաղի թուրբիդիտային ծագ-

ման ծուղակների օրինակներ են Կալիֆորնիայի (Լոս Անջելես, Վենտուրա, Մեծ Հովիտ), Լուիզիանայի (Ակբերի), Հյուսիսային ծովի ավաղային մարմինները, այդ թվում և Ֆորտիս ու Մոնթրոուղ խոշոր հանքավայրերը։

Արփա, Վեդի և Հրազդան գետերի ավազաններում մերկացող, վերին էոցենի և ստորին օլիգոցենի կարբոնատային խութային րրածո կառույցների



նկ. 2. Հայաստանի պալեոգենի նստված թների նավքագազարերության հետանրկարների ուրվագծային բարտեզ։ 1. Պալեոգենի նստված թների նավքագագարերության ավելի հեռանկարային դաշտեր, որտեղ կարելի է սպասել նաև նստված թարանական և աններդաշնակ շնրտագրական ծուղակներ։ 2. Պալեոգենի նստված թների հեռանկարային դաշտեր։ 3. Պալեոգենի նստված թների նվազ հեռանկարալին դաշտեր։ 4. Պալեոգենի նստված բների ոչ հեռանկարային դաշտեր։ 5. Սավթի երևակումներ հորատանց թներում։ 6. Այրվող դազի երևակումներ հորատանց բներում։ 7. Պղտոր հոսթային ծագման նստված բաբանական ծուղակ կազմող
իւնավագային մեկուսացվուծ մարմիններ։ 8. Մյուրեղացած հիմքի ելբերը հրկրի
մակերեսին։ 9. Բյուրեղային հիմքի իզոգծերը կիլոմետրերով։ 10։ Բյուրեղային
հիմքի իզված թներ։ 11. նավքաղագարերության տարբեր հեռանկորներ ուննցող
դաշտերի սա մանները, որոնք չեն համինկում խզումների հետ։ 12. Խորը

տարածման վերլուծությունը ցույց է տալիս, որ Շորաղբյուը—Եղվարդ—Փարաքար գյուղերի միջև ընկած տարածքում քնարավոր է նաև թաղված խութային կառույցների առկայությունը։ Հայտնի է, որ Իրանի միջլեռնային իջվածքներում օլիգոցեն-ստորին միոցենի (Ասմարի) կրաքարային (այդ թվում և խութային) հաստվածքը նավթադագաբեր է [4]։

Նստվածքաբանական ծուղակների բացահայտման և սահմանազատման համար Արարատյան իջվածքի վերը նշված տեղամաներում ակզրում անհրաժեշտ է կատարել մանրակրկիտ երկրաֆիզիկական (հատկապես սեյսմահետախուզական), երկրաքիմիական (հատկապես հողի տակի օդի գազային հանույն) հետազոտունյուններ և դրական արդյունքներ ստանալու դեպքում՝ հորատման աշխատանքներ։

Նշված մեթոդներով կարելի է բացա այրել նաև ավել ու գազի շերտագրական աններդաշնակ էկրանավորում ուսեցու ծուղակերը նպասել Արաբա ներ Հայաստանի Հանրապետության տարածրում կարել և ուղակ ավաղանում, Հատկապես Այնթափ—էջմիածնի Հորստային բարձրացման շրջանի երկրաբանական կտրվածքում։ Այս շրջանի և հարակից տեղամասերի խորը հորատման անցքերով բացահայտված շերտագրական աններդաշնակությունների տվյալները ներկայացված են աղյուսակ 1-ում։ Հասկա-

Աղյուսակ 1 Արաքս գետի ժիջին ավազսծնում (Հայաստան) Հորատանցքերով բացահայտված շերտագրական աններդաշնակությունները

	மும் வெய்கும் விறு வுக்கும் குறு குறு குறு குறு குறு குறு குறு குற								
ingummung p	Hanner- Hanerer	summy summy adap	վերին հաստվածքի հասակը						
1-12,2P - 4	518	ուսանիր տետնրաման դիրներդեն-	վերին էոցեն						
1 15 . 24 in p & Ving	972	որորեն պալեողոյ - որ բեն արալեողոյ	վերին օլիզոցեն-ստորին միոցեն (խայտարգետ չերտախումը)						
114-фшршеше	1010	ուսաև իր ու ու ագում որ չ եր որ ական ու	Jrgh& Engh&						
15-4mpdpm2bh	2445	կավիճ (ոֆիոլիտային ասոցիացիա	taght						
12-265671-1	2805	կավին (օֆիոլի-	ուտ քես ցեն - ստորին էոցեն						
1- Npmmzmm	1810	tngbb	ստորին միոցեն.						
2-Մասիս	2412	tagbi	umnphi olhanghi.						
11-11-11-21-2	1960	Lagher - umaphe	վերին օլիդոցեն -						
14-2pwqqw6	2364	միջին պալ <b>ե</b> ոզոյ	الم						

նալի է, որ ավելի մեծ հետաքրքրության են արժանի այն շերտագրական աններդաշնակությունները, որտեղ հուսալի ֆլյուիդամերժ էկրան հանդիսացող Հաստվածքների տակ տեղադրված են Հավանական նավթագազաբեր շերտախղերևեւ ըրևիտվուղո րավկամաժանքև թը չտղանվուղ բևտեռ ձբախ տվաժա. նի սլալեոգենի (հատկապես պալեոցեն-ստորին էոցենի) հզոր նստվածքային շերտախմբերը։ Թեև պալեոցեն-ստորին էոցենի ֆլիշային հզոր նստվածքները այստեղ աններդաշնակ ծածկվում են օլիդոցեն-ստորին միոցենի մոլասային (հաճախ խայտաբղետ) շերտախմբով, սակայն վերջինս էլ իր երթին ներդաշնակ ծածկվում է ֆլյուիդամերժ աղաբեր (միջին միոցեն) և ապա նորմայ ծովային, ավագակավային (միոցենի սարմատի հարկ) շերտախմբերով։ Ալսպիսով նպատակահարմար է առաջին հերթին որոնողա-հետահուսական աշխատանքներ կատարևլ Այնթափ — Էջմիածնի հորստային բարձրացման հյուսիսային և հարավային թևերում տեղադրված պալեոցեն-ստորին էոցենի նրստվածըների հետ կապված շերտագրական, նստվածքաբանական, ինչպես նաև նրանց հետ դուգորդվող կառուցվածքա-շերտագրական ծուղակների բացաալտման համար։ Նման ծուղակների որոնման աշխատանքներ երկրորդ չերթին պետք է տանել Կենտրոնական (Ֆանտան—Արամուսի) ձկվածքի հրա սային թևում, հատկապես պալեոգենի նստվածքներով ներկայացված տեղաd wat proces

Աշխատանքը իրականացված է ՀՀ պետբյուջեից ֆինանսավորվող 92-223

և 92-242 ծածկագրով Թեմաների շրջանակներում։

# ЛИТОЛОГИЧЕСКИЕ ЛОВУШКИ НЕФТИ И ГАЗА В ПАЛЕОГЕНОВЫХ ОТЛОЖЕНИЯХ РЕСПУБЛИКИ АРМЕНИЯ

## А. А. Садоян, Ю. Р. Каграманов

#### Резюме

Впервые выдвигается гипотеза о существовании литологических повушек нефти и газа в мощных (около 6 км) толщах палеогена Республики Армения. Эти ловушки в основном представлены песчаногравийными телами конусов выноса турбидитов (подводных мутьевых потоков), накопившихся на подножье континентального склона Южноармянского блока (микроконтинента). В дальнейшем они были изолированы, погребены мергелями, глинами (флюидоупорами). Литолого-фациальный и палеогеографический анализ показывает, что ловушки турбилитного генезиса можно ожидать в палеоцен-эоценовых отложениях Араратской впадины и сопредельных районов, на глубинах до 4,5км. Ожидаются также небольшие рифовые и карбонатные ловушки в разрезах верхнего эоцена-олигоцена, на глубинах до Зкм. Для выявления и оконтуривания подобных ловушек в Араратской впадине и в сопредельных участках нужно проводить геофизические и геохимические исследования, а после получения положительных результатов - буровые работы

# LITHOLOGICAL TRAPS FOR OIL AND GAS IN THE PALAEOGENE SEDIMENTS IN ARMENIA

# H. A Sadoyan, Yu R. Kagramanov

#### Abstract

The hypothesis on oil and gas lithological traps existence in the thick (about 6 km) Palaeogene strata is set forth for the first time. Traps are represented mainly by sandygravel bodies of turbidite fans—submarine turbidity flows. The traps of turbidite genesis may be also expected in the Palaeocene-Eocene deposits of the Ararat Valley and adjacent regions at the depths down to 4.5 km. Small reef carbonate traps may occur in the Upper Eocene-Oligocene sections at the depths down to 3 km.

#### ЛИТЕРАТУРА

- 1 Аракелян Р. А., Мелик Бархударов К. Б., Толмачевский А. А., Ташян А. А. Перспективы пефтегазоносности олигоценовых и мпоценовых отложении Армении и дальнейшее направление геолого-разведочных работ.—Изв. АН АрмССР, Науки о Земле, 1967, т. ХХ. № 2, с. 35—47.
- 2 Арзуманян С. К. Опенка перспектив нефтегазоносности Араратской низменности и сопредельных областей и направление геологоразведочных работ на нефты паз.—Изв. АН АрмССР, сер. геол. и геогр. паук, 1962, т XV, № 5. с. 59—68.
- 3 Асланян А. Т., Арутюнян А. Р., Аракелян Р. А., Гулян Э. Х., Дурмишян А. Г., Мурадян В. М. О перспективах нефтегазопоспости территории Армянской ССР— Изв. АН АрмССР. Науки о Земле, 1971, т XXIV, № 3, с. 23—38
- 4 Бакиров А. А., Варенцов М. И., Бакиров Э. А. Нефтегазоносные провинции и области зарубежных стран. М.: Педра, 1971, 541 с.

- 5. Брод И. О., Еременко Н. А. Основы геологии нефти и газа. М: Гостоптехиздат, 1957, 260 с.
- 6. Буш Д. А. Стратиграфические ловушки в песчаниках М. Мир, 1977, 215 с.
- 7. Леворсен А. Геология нефти и газа. М.: Мир, 1970, 639 с.
- 8. Садоян А. А. Особенности образования флишевой формации датского яруса эоцена Армянской ССР и сопредельных районов. –Литол. и полези. ископаемые, 1983, № 2, с. 43— 56
- 9 Садоян А. А. Литология палеогена Армянской ССР Ереван: Изд. АН АрмССР, 1989, 288 с.
- 10 Mc Collough E. H. Structural influence on the accumulation of petroleum in California. In: Problems of petroleum geology, Am. Assoc. Petrol Geology, Tulsa, Okla, 1934, p. 735--760
- II. Rittenhouse G. Stratigraphic trap classification. In Stratigraphic oil and gas field-classification metods, and gas histories. King R. E. ed.: Jonth publ. Am Assoc. Pet Geol. and Soc. Explor. Geophys. AAPG Memoir 16, SEG Spec. Publ. № 14, Tulsa. 1972. p. 14—28.

Stauffer F. H. Grain-flow deposits and their implications. Santa Yenez Mountins.

California. Jour. Sed. Petrology, 1967, v. 37, p. 487-508.

13. Walker R. G. Deep water sandstone facies and ancient submarine fans model for explorations for stratigraphic traps. AAPG Bull, 1978, v. 62, p. 932—966.

Известия НАН РА, Науки о Земле, XLIX, 1996, № 1-3, 39-46

# ФОРМАЦИОННАЯ ПРИНАДЛЕЖНОСТЬ МАРДЖАНСКОГО ЗОЛОТО-СВИНЦОВО-СУРЬМЯНОГО МЕСТОРОЖДЕНИЯ И ПЕРСПЕКТИВЫ ЕГО РУДНОГО ПОЛЯ

С) 1996 г. Ш. О. Амирян, М. С. Азизбекян, А З. Алтунян

Институт геологических наук НАН РА 375019 Ереван, пр. Маршала Баграмяна 24a, Республика Армения Постипила в редакцию 15.03.96.

В статье на основании геологических условий образования и размещения месторождений Азатек и Марджан, а также минералого-геохимических и структурно-текстурных особенностей руд, нарагенезисов минералов и рудообразующих элементов установлены сходство этих месторождений и их принадлежность к золото-свинцово-сурьмяной формации. Эта формация совместно с мелной, медно-молибденовой, полиметаллической и золото-полиметаллической формациями составляет единый генетический ряд и выступает в участках погружения Памбак-Зангезурского антиклинория.

Формационная принадлежность месторождений металлических полезных ископаемых определяет их генетическое и промышленное значение и играет важную роль в прогнозной оценке перспектив рудных

районов, полей и месторождений.

Марджанское месторождение золото-сульфидных руд, по выделению И. Г. Магакьяна, находится в Памбак-Зангезурской структурнометаллогенической зоне, которая характеризуется, главным образом, полиметаллическим, медным, медно-молибленовым, железорудным, золото-полиметаллическим, золото-свинцово-сурьмяным, редкометальным и реальгар-ауришигментовым оруденением

В геологическом строении зоны участвуют вулканогенные и частично осадочные толщи эоцен-олигоцен-миоценового времени, которые слагают крупный антиклинорий северо-западного простирания. Отме-

ченные отложения трансгрессивно залегают на древнем фундаменте. Интенсивная складчатость охватывает все отложения до олигоцена и миоцена включительно. В участках вздымания антиклинория обнажаются породы фундамента с крупными интрузивными массивами эоцен-олигоцен-миоценового возраста. В местах погружения встречаются малые субвулканические интрузии гранодиоритов, сиепито-диоритов, кварцевых монцонитов, дайки диорит-порфиритов, диабазовых порфиритов, кварцевых порфиров и экструзии андезито-дацитов олигоцен-мноцена и плиоцена.

Марджанское месторождение и другие проявления рудного поля приурочены к участку погружения антиклинория, поэтому в геологическом строении рудного поля участвуют, в основном, породы верхнего структурного этажа—гидротермально-измененные порфириты, туфобрекчии порфиритов, туфопесчаники, редко песчаники, прорванные небольшими интрузиями гранитоидов, жилами диоритпорфирита, гранит порфира и экструзиями андезито-дацитов. Отмеченые породы подвергнуты воздействию складчатых и разрывных нарушений. Наиболее смятые и гидротермально измененные породы являются вмещающими для кварцево-сульфидных жил и зон прожилково-вкрапленной миперализации. Обычно они приурочены к сравни-

тельно крупным разрывным нарушениям и их оперениям.

В наиболее приподнятых эродированных участках зоны выступают железорудные, медные, медно-молибденовые и нередко полиметаллические и золото-сульфидные (полиметаллические) месторождеиня, а в погружениях—в основном полиметаллические, золото полиметаллические, золото-свинцово-сурьмяные, реальгар-аурипигментовые месторождения и проявления со слабым медно-молибденовым оруденением. Генетическая и парагенетическая связь оруденения с гранитоидным интрузивным магматизмом и близкими по возрасту малыми интрузиями, а также субвулканическими образованиями свидетельствует о существовании единого ряда рудных формаций-медной, медно-молибденевой, молибденовой, полиметаллической, золото-полиметаллической золото-сульфидно-теллуридовой, золото-свинцовосурьмяной, сурьмяной и реальгар-аурипигментовой. В зависимости от конкретных геодинамических, магматических и структурных условий. ь той или иной части зоны проявляются определенные члены указаннего ряда. Так, в Зангезурском (Мегринском) рудном районе проявляются железорудная, медная, медно-молибденовая, молибденовая, полиметаллическая и золото-полиметаллическая формации, а в Баргушатском и Айоцдзорском рудных райопах-полиметаллическая, золото-полиметаллическая, золото-свинцово-сурьмяная и редкометальная формации со слабым проявлением медных, медно-молибденовых руд. Баргушатский и Айоцазорский рудные районы имеют много об-шего в геологическом, магматическом, структурном и металлогеническом отношении, что и обусловило сходство Марджанского и Азатекского месторождений.

Аналогичность Азатекского и Маржданского месторождений и их принадлежность единому формационному типу подтверждаются также минеральными парагенезисами и геохимическими ассоциациями элементов, формами и размерами рудных тел, характером развития гидротермальных процессов, физикс-химическими условиями минералообразования и структурно-текстурными особенностями руд

Как на одном, так и на другом месторождении развиты кварцпиритовый, кварц-пирит-халькопиритовый, кварц-карбонат-халькопирит-молибленитовый (второстепенного значения), кварц-карбонат-халькопирит-сфалерит-галенитовый, кварц-карбонат-галенит-сфалерит-сульфоантимонитовый, кварц-антимонит-сульфоантимонитовый парагенезисы и соответствующие им стадии минерализации (табл. 1). На том и на другом месторождении сравнительно повышенными концентрациями золота и серебра отличаются пирит-халькопирит-сфалерит-галенитовый, галенит-сфалерит-сульфоантимонитовый и антимонит-сульфоантимопитовый парагенезисы.

Для обонх месторождений характерными геохимическими ассоциациями являются: кварц-железо- (Cu, Pb, Zn)--S; Q-Fe-Cu-S-Mo, (Zu, Pb, As, Sb, Au, Ag); Q-Ca-Fe-Cu-Pb-Zn-As-Sb-S-Au-Ag-Cd-In-(Se, Te, Bi, Ga, Ge, TI, Sn); Q-Ca-Sb-Pb-Cu-As-S-(Au, Ag, Se, Te, In, Cd, TI, Ga, Ge): Q-Ca-As-S-Sb-(Cu, Zn, Pb, BI, Au, Ag, Cd); Q-Ca-Ba; Al-Mn-Mg-Ni-Co-Ti-Sn

Как видно, в составе руд преобладают те элементы, которые на кривых атомных объемов занимают восходящие линии и характеризуются нонами с 18-электронными оболочками. Таким образом, близость химических и физических свойств атомов обусловливает их совмест-

ное нахождение и определяет формационный тип руд.

Парагенезис Q-Mo-Cu-Fe связан с наиболее ранним медно-молибденовым рудопроявлением ,а Al-Mn-Mg-Ni-Co-Ti-Sn—скорее всего и главным образом, связан с рудовмещающими породами и к продуктам гидротермального оруденения никакого отношения не имеет. Сравнение минералого-геохимических особенностей руд Марджанского и Азатекского месторождений показывает полную аналогию. Идентичность минерального состава проявляется не голько в составе главных рудообразующих и жильных минералов, но и в составе редких минералов (табл. 1, 2, 3).

Главными рудообразующими элементами для Марджанского и Азатекского месторождений являются Fe, Cu, Pb, Zn, Sb, As, Au, Ag, Bi, Se, Te, Jn, Cd, Ga, Ge, Si, Ca, S. Второстепенное значение име-

ют Mo, Ni, Co, Sn, Ti.

По концентрации главные рудообразующие элементы составляют гакой убывающий ряд: Fe→Zn→Pb→Cu→Sb→As→Ag→Au. Золото-серебрянсе отношение, по данным подсчета запасов для Марджанского месторождения, составляет от 1:50 до 1:170 для отдельных минеральных типов руд, что также сходно с Азатекским. Отношение свинец-цинк варьирует от 1:1 до 1:2. Цинк, свинец, медь по содержанию составляют такой убывающий ряд: Zn→Pb→Cu.

Характерными структурно-текстурными рисунками для руд обоих месторождений являются массивные, брекчиевые, брекчиевидные, по-лосчатые, метаколлондные текстуры ,а также цементации, замещения, из структур отмечаются зернистые, коррозионные, колломорфные,

распада, замещения и взаимных границ.

Известно, что каждая формация руд выделяется своими особыми геолого-структурными и другими условиями рудообразования, в гом числе формами и размерами рудных тел, характером заполнения

рудоконтролирующих структур.

Характерными особенностями рудных тел являются жилы и зоны прожилково-вкрапленной минерализации Жилы сложного строения—четковидные разветвленные, нередко полосчатого строения, замещения и цементации одних минеральных агрегатов другими. Контакты жил четкие с глинкой трения. На Марджанском месторождении рудные тела приурочены к северо-западным разрывным нарушениям с налением на северо-восток под крутыми углами (70—80°). По простиранию они прослеживаются на сотни метров (300—700 и нередко до

Азатекско	ое рудное поле	Марджанс	кое рудное поле
Стадии минерализации	Минеральный состав руд	Стадин минерализации	Минеральный состав руд
Кварц-серноколчеданная (пиритовая)	Кварц, пирит (сфалерит, халькопи- рит, пирротни, марказит, анкерит. магнетит)*		Кварц, пирит, халькопирит (сфалерит, галенит, пирротин, марказит гематит, магнетит, апкерит).
Кварц-медно-молнбденовая (проявлена на отдельных частках—Каялу).	Кварц, пирит, халькопирит, молиб- денит (магнетит, гематит, сфале- рит, марказит, карбонаты).		Кварц, карбонаты, хальконирит, мо- либденит, пирит (сфалерит, магне- тит, гематит).
кварц-нальцит-полнметал- пическая (имеет широкое проявление)	Кварц, кальцит, пирит, халькопирит, сфалерит, галенит. бл руды, золото, арсенонирит теллуровисмутит, галеновисмутит, гессит, алтант, тетрадимит, айкинит, козалит, бурнонит, висмутин п др.).		Кварц, кальцит, пирит, халькопирит галенит, сфалерит, бл. руды, волото (тетрадимит, бурнонит, буланжерит гессит и др.).
OKO).	Кварц, халцедон, кальцит, булан- жерит, илагионит, семсент, геокро- нит, цинкенит (золото, бл. руды, сфалерит, галенит, пирит, серебро и др).	монитовая (проявлена слабо)	Кварц, кальцит (пирит, халькопи рит, галенит, сфалерит), буланжерит, бурнонит, семсеит, геокронит цинкенит (золото, серебро, бл. руды и др.).
	Кварц, антимонит (пирит, сфалерит, галенит, бл. руды, золото и др.).		Кварц, кальцит, антимонит (галенит, сфалерит, золото, бл руды сульфоантимониты и др.).
	Кварц, кальцит, анкерит, барит (пирит, гематит и др).	Кварц, карбонатовая	Кварц, кальцит, анкерит (барит пирит и др.).

<sup>\*</sup> В скобках второстепенные минералы

Таблица 2 Содержание основных рудообразующих элементов в главных типах руд и минералах Азатекского и Марджанского месторождений (по спектр., хим.-сп. и хим. анализам)\*

Главные ти-		Содержание элементов в % %										
<b>минералы</b>	Nt I	Co	Cu	Pb	Sb	В	As .	Z.n				
Пириговый	0.001 0.005	0.001-0.03	0.03-0.1	0.03-0.1	0.01-0.03	0.001-0.08	0.001-0.003	0.03 0.1				
	0.0004 0.0032	0.001 - 0.013	0.01-0.075	0.01-0.02	0.0003-0.04	0.000:-0.0003	0.0090.02	0.01-0.02				
Полиметал-	0.001-0.003	0.001-0.03	>3.0	>3.0	1.0 3.0	0.001-0.110	0.1-1.0	>3.0				
лический	0.0003 0.001	0.0010.005	0.69	0.8	0.0016-0.56	0.001 0.03	0.1 0.4	1.5				
Сульфоан-			0.1-3.0	0.3-3.0	3.5	0.001-0.3	0.003-1.0	0.1-1.0				
ТИМОНИТО- ВЫЙ	0.00042-0.00075	0.001 0.013	0.01 0.13	0.075-0.75	0.01 0.56	0.0001 - 0.001	0.010 0.075	0.032 -1.5				
Антим эни-		-	0.03-1.0	0.03-1.0	3-10	0.001-0.01	0.03 -0.1	1-3				
товый			0.05-1.0	0.03-0.32	0.5 5.0	0.001	0.075	1-2.4				
Пирит	0,005	0.01	0.3	0,1	0.03	0.003 - 0.1	0.1	0.5				
	0.003	0.00	0.075	0.075	0.001	0,00075	0.1	11.3				
Халькспи-			>10.0	0.3	0.01-0.05	0.001-0.01	3.0	0.3				
риг			>10.0	0.08	0.03	0.0075	1.7	0.5				
Сфалерит		-	1.0-3.0	0.1-0.5	0.3-0.5	0.0003 0.1	0.5-1.0	10.0				
			3.0	0.3	0.5	0.01	0.5	>10.0				
Галенит	0.001	0.003	0.1-0.3	>10.0	0.1 0.3	0.03 - 0.8	0.1	0.1 0.2				
	0.00075	0.003	0.1	>10.0	0.3	0.0.5	0.1	0.2				
Бя руды			>10.0	1.0	10.0	0-01 0.1	>10.0	3.0				
			_10.0	1.3	>10.0	0.05	>.0.0	1.0-3.0				

<sup>\*</sup> В числителе по Азатекскому месторождению, в знаменателе-по Марджанскому.

Содержание редких и благородных элементов в главных минеральных типах руд Азатекского и Марджанского месторождений (по штуфным обр., по данным хим., спектр., хим.-сп. и пробирных анализов)\*

Главные ти		Содержание рединх и благородных элементов в г т									
пы руд	Se	Te	Cd	Jn ]	Ga	Ge	Hg	Au	Ag		
Пиритсвыи	15.0	30.0	20.0		10.0-30.0	1.0-3.0		2.86	3.0 - 50.0		
Полиметал-	10 350	сл. — 300 19.0	1000 - 3000	3.0	30.0	2,0	3.0	2.7	243.0		
Сульфолити- монитовый	10.0 -3 0.1	10.0 30.0	33.0	$\frac{3.0 - 5.0}{1.0 - 3.0}$	$\frac{3.0-10.0}{3.0-5.0}$	2.0	3.0 50.0	3.5	550.0		
Ан имони- товый	3.0	5.0 - 25 0 ne oon.	30.0-100.0	1.0 - 100.0	3.0-10.0	1.0 -3.0	3.0 5.0	0.5 2.0	100.0 - 300.0		

<sup>\*</sup> В числителе по Азатеку, в знаменателе-по Марджану.

1000 м), а по падению 300—400 м, при мощности 0,1—2,3 м (в раздувах). Мощность кварцево-сульфидных жил и прожилксв составляет 3—10 см, нередко до 50—60 см. По имеющимся данным, вертикальный размах оруденения составляет 350—400 м, промышленная часть составляет 200—250 м. Аналогичными морфологическими особенностями и размерами рудных тел характеризуется и Азатекское месторождение (Ш. О. Амирян, А. Г. Акопян, 1964).

Изложенные выше факты геологического, геолого-структурного магматического, минералогического, геохимического и структурно текстурного характера, а также данные физико-химических условий минералообразования и возраста оруденения в совокупности свидетельствуют об аналогичных условиях формирования Марджанского и Азатекского месторождении и принадлежности их к единой зольто-

свинцово-сурьмяной формации.

Перспективы месторождений этой формации по сравнению с другими (золото-полиметаллическими, золото-сульфидно-теллуридовыми) несколько ограничены. Они по запасам полезных ископаемых относятся к средним и характеризуются комплексностью руд, что несколько новышает их промышленное значение. Наряду с золотом и серебром, руды этих месторождений отличаются повышенными содержаниями и запасами меди, свинца, цинка, сурьмы, мышьяка, редких элементов—висмута, кадмия, индия, селена, теллура и др элементов, что несколько повышает их комплексное значение.

Рудные поля с марджанским (азатекским) формационным типом перспективны на глубину по медным, медно-молибденовым, полиметаллическим типам, с которыми составляют единый генетический ряд. Это хорошо наблюдается на продолжении Памбак-Зангезурской зоны на северо-западе (Памбакский рудный р-н) и юго-востоке (Зангезурский рудный р-н). С этой точки зрения перспективными могут быть и те участки погружения меганти-клинория, которые пекрыты потоками андезито-базальтов.

Работа выполнена в рамках темы 96-108, финансируемой из

госбюджета Республики Армения.

# ՄԱՐՋԱՆԻ ՈՍԿԻ-ԿԱՊԱՐ-ԾԱՐԻՐԱՅԻՆ ՀԱՆՔԱՎԱՅՐԻ ՖՈՐՄԱՑԻՈՆ ՊԱՏԿԱՆԵԼԻՈՒԹՅՈՒՆԸ ԵՎ ՆՐԱ ՀԱՆՔԱԴԱՇՏԻ ՀԵՌԱՆԿԱՐՆԵՐԸ

Շ. Հ. Ամիբյան, Մ. Ս. Ագիզբեկյան, Ա. Ջ. Ալթունյան

# Udunhnid

Հանքավայրերի ֆորմացիոն պատկանելիությունը որոշում է նրանց դեսնորի և արդյունաբերական նշանակությունը ու կարևոր դեր է խաղում նրանց հանքաղաշտերի հեռանկարների դնահատման գործում։ Մարջանի հանքավայրը դտնվում է Փամբակ— Զանդեղուրի ստրուկտուր-մետաղածին գոտում և հարում է հյուսիս-արևմտյան տարածման խոշոր անտիկլինորիումի խորասուղման մասերին, որտեղ լայն տարածում ունեն էոցեն-միոցենային հասակի հրարխածին և մասամբ նստվածքային հաստվածքի ապառները, կտրտված երիտասարդ գրանիտորդներով ու նրանց երակային տարատեսակներով։ Այդ հասարութին դոտու համար բնորոշ են աղնձի, աղինձ-մոլիբդենային, բազ-մամետաղ, ոսկի-կապար-ծարիրային ֆորմացիայի հանքայնացումները, որոնք կաղմում են մեկ միասնական գենետիկ շարք։ Անտիկլինորիումի բարձրացված և ավելի լվացված մասերում (Ջանդեղուրի և Փամբակի հանքային

շրջաններ) խոշոր ինտրուզիվ մարմինների հետ միասին հանդես են գալիս կլիսավորապես պղինձ-մոլիբդենային և բազմամետաղ ֆորմացիաների հան-քավայրերը, իսկ խորասուզված մասերում (Բարդուշատի և Հայոց ձորի հան-քային դաշտեր) մերկանում են սուբհրաբիսածին և էքստրուզիվ ու փոքր ինտ-յին և երբեմն էլ ավելի հրիտասարդ ռեալգար-աուրիպիգմենտային հանքատեսակներով։

որոշվում է այդ Հանքավայրերի արդյունաբնրական նշանակությունը և Հեռա
հզատեկ և Մարջան Հանքավայրերի առաջացման և տեղայնացման երկ
տուր անքստուրային առանձնահատկությունների նմանությունը թույլ է տա
հրա նրանց վերագրել ոսկի-կապար-ծարիրային ֆորմացիոն տիպին որով և

հեռա-

նկարները։

# FORMATIONAL IDENTITY OF THE MARJAN GOLD-LEAD-ANTIMONY DEPOSIT AND PROSPECTS OF IS REFIELD

Sh. H. Amirian, M. S. Azizbekian, A. Z. Altounian

#### Abstract

Basing on the geological conditions of formation and location of the Azatek and Marjan deposits as well as mineralogical-and-geochemical and structural-and-textural specific features of ores, and paragenesises of minerals and rock-forming elements, the similarity of these deposits and their identity with gold-lead-antimony formation are found. This formation, together with copper-molybdenum, complex ore and gold-complex ore ones, constitutes a common genetic series and is protruded in the subduction sites of the Pambak-Zangezour anticlinorium. The formational identity of the deposits defines their genetic and industrial significance and plays an important role in forecasting evaluation of ore regions, fields and deposits.

# ПРИМЕНЕНИЕ ПАРАГЕНЕТИЧЕСКОГО АНАЛИЗА ЭЛЕМЕНТОВ ПРИ ОЦЕНКЕ ГЕОХИМИЧЕСКИХ АНОМАЛИЙ НА ПРИМЕРЕ МАРДЖАН-МАЗМАЗАКСКОГО РУДНОГО УЧАСТКА

#### С 1996 г. Р. С. Симонян

Институт геологических наук НАН РА 375019 Ереван, пр. Маршала Баграмяна 24 а. Республика Армения Поступила в редакцию 3.09, 96.

Изучение парагенетических ассоциаций химических элементов позволяет выявить геохимическую зональность рудных образований, выяснить тип этой зональности, а также определить формационную принадлежность геохимических аномалий. Изменения парагенетических ассоциаций в пространстве и во времени указывают на полиформационный характер оруденения, его много стадийность и позволяют более аргументированно оценить уровень эрознонного среза рудных образований.

Рассматривая парагенезис как системное явление, отметим, что под парагенетической ассоциацией мы понимаем группу сонаходящихся в конкретном геологическом объекте элементов, сходно (как по интенсивности, так и по знаку) реагирующих на изменения параметров среды и характеризующихся, в связи с этим, сопряженностью и однонаправленностью изменения их содержаний в пространстве объекта. Классифицирующие процедуры по выделению составов парагенетических ассоциаций приводятся во многих пособиях по статистическому анализу и теории вероятностей и, по этой причине, здесь не рассматриваются.

В качестве эталонного «обучающего» объекта было выбрано Марджанское золото-полиметаллическое месторождение, на различных гипсометрических уровнях, которого были выделены парагенетические ассоцнации элементов. Выявленные закономерности парагенетического анализа сравнивались с аналогичными исследованиями в пределах геохимических аномалий примыкающего к месторождению Мазмазакского участка, считающегося потенциально рудоносным.

Месторождение локализовано в средне-верхнеэоценовых вулканогенно-обломочных образованиях, представленных лавами, лавовыми брекчиями, туфами андезито-базальтов с прослоями туфопесчаников Наблюдаются субвулканические тела андезитов и базальтов. Широкое развитие имеет дайковый комплекс диорит-порфиритов и риолитовых порфиритов (кварцевых порфиров) средне-верхнего эоцена Этот комплекс вместе с субвулканическими образованиями, по данным О П .Гуюмджяна [3], перекрыт покровами лавобрекчий, андезитовых туфов и андезито-дацитов среднемноценового возраста. Оруденение представлено жилами и жильными зонами, развитыми в пирокластических образованиях. Нередко жилы приурочены к конгактам даек с гидротермально измененными породами. По мнению А. И. Карапетяна [2], в пространстве рудного поля месторождения совмещены продукты рудообразовательных процессов раннеорогенной (собственно золото-полиметаллические руды верхнего эоцена-нижнего олигоцена) и позднеорогенной (реальгар-аурипигментовая миперализация мноплиоценового возраста) стадий развития области. В составе руд участвуют: пирит, галенит, сфалерит, пирротин, блеклые руды, аурипигмент, реальгар, антимонит, буланжерит, геокронит, самородное золото, самородное серебро, марказит, энаргит и др. Жильные минералы представлены кварцем, кальцитом, реже-баритом.

Мазмазакский участок характеризуется (рис. 1) многочисленными мелкими рудопроявлениями различного типа, возраста и состава. Это грейзеновые рудопроявления молибдена нижнемиоценового возраста, гидротермальные полиметаллические проявления, связанные с дайковым комплексом порфиров и малыми интрузиями, проявления мышья-

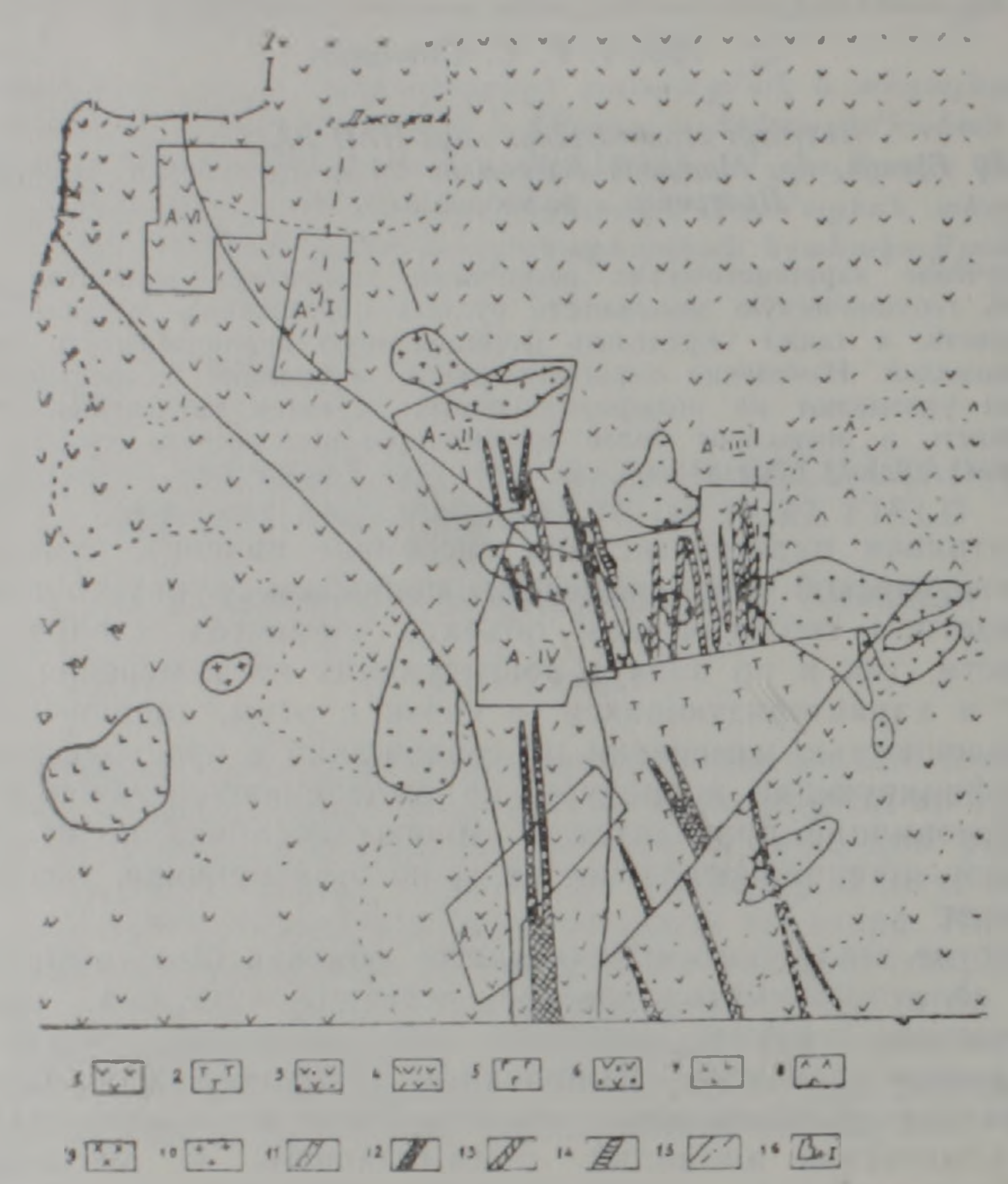


Рис. 1. Схематическая геологическая карта участка Мазмазак (Аревис) с контурами геохимических аномалий, М 1:10000. Геологическая основа по С. С. Даллакяну, 1. Андезиты, андезито-дацитовые порфириты. 2. Туфопесчаники. 3. Туфобрекчии порфиритов 4 Андезитовые порфириты, гидротермально изменениые. 5. Грейвенизированные породы. 6. Ороговикованные порфириты. 7. Экструзивные тела дацитов и андезито-дацитов 8. Диориты, кварцевые диориты. 9. Кварцевые сненито-диориты. 10 Гранодиориты. 11 Дайки андезитового состава. 12. Кварц-порфировые дайки. 13 Диорит-порфиритовые дайки. 14. Дайки диабазового состава. 15. Тектонические парушения. 16. Контуры геохимических аномалий.

ка, связанные с среднемиоценовым вулканизмом и т д. В нижнем течении р. Мазмазак нами были обнаружены гнездообразные скопления вольфрамита. Все эти рудопроявления расположены вдоль ущелий р р. Шахапонк и Мазмазак.

Классифицирующие процедуры пезволили выявить ряд геохимических парагенетических ассоциаций для различных горизонтов месгорождения Марджан. По существу ,была сделана попытка отразить геохимическую вертикальную зональность с помощью парагенетических ассоциаций химических элементов, а также выяснить тип этой зональности. Горизонт штольни №2 (2420 м): 1) Ag, Au, Cu, As. 2) Pb, Zn (Ag Cu).

Горизонт штольни №1 (2360 м): 1) Рь, Zn, Ag; 2) Au, (Ag); 3)

Cu, (Ag, As).

Горизонт штольни № 3 (2242 м): 1) Рb, Zn, Ag; 2) Cu; 3) Au, (Ag, Pb, Zn).

(В скобки взяты те элементы ,которые входят в состав более чем

одной ассоциации).

Как видно из вышеприведенных ассоциаций, элементы-индикаторы золото-серебряного оруденения с глубиной сменяются ассоциацией элементов, характерных для полиметаллического оруденения с усилением влияния меди, которая на горизонте 2242 м имеет довольно существенный факторный вес, что подтверждается и характером минеральной зональности месторождения, когда основным посителем

этого элемента вместо теннантита становится халькопирит.

Значительный вес приобретает на этом гипсометрическом уровне золото-полиметаллическая парагенетическая ассоциация. Переход золото-серебряного типа в золото-полиметаллический тип оруденения. а также повторяемость элементов на различных гипсометрических уровнях месторождения свидетельствуют о многостадийном (пульсапнонном) характере оруденения, что отражается и на зональности оруденения. При таком типе оруденения происходит усложнение зональности, когда геохимические ореолы одной стадии минералообразования перекрываются ореолами последующих стадий, т. е геохимические ореолы приобретают полиформационный характер. Однако, принимая во внимание лишь наиболее «весомые» парагенетические ассоциации элементов, можно выявить обобщенную картину вертикальной зональности месторождения (сверху вниз): золото-серебро меды цинк-свинец-медь 11 (Двойственное положение меди в ряду зональности объясняется его различными формами нахождения на разных гипсометрических уровнях).

О полиформационном характере оруденения в пределах Марджан-Мазмазакского рудного поля свидетельствует и парагенетический анализ геохимических аномалий, выявленых общепринятыми методами. На Мазмазакском участке выявлены шесть основных геохимических аномалий, в пределах которых выделены следующие парагенетические ассоциации элементов (с северо-запада на юго-восток):

A-1 -1) As, Cu, Mo; 2) Ti, Cr, Ni;

A-II -1) Cu, Mo, Pb; 2) Ag, Zn; 3) (Zn), (Mo), Co, NI;

A-III -1) Cu, Pb, Zn, Ag; 2) Mo, Cr; 3) Ti, Ni, Co; A-IV -1) Cu, Pb, Zn, Ag; 2) Mo, Ni; 3) Cr, Co, (Ni).

A-V -1) Ag, Pb. Mo. 2) Zn, (Pb); 3) Cu, (Zn).

A-VI -1) As, Cu, Mo, Pb; 2) Ba, Ag, Zn;

Как видно из выделенных наиболее весомых парагенетических ассоциаций, для аномалий A-VI и A-I, выявленных в верховьях р. Мазмазак, характерны мышьяк-медно-молибденовая и барий серебро-цинковая ассоциации, переходящие вниз по течению речки в медно-молибденовую с небольшой «долей» серебряно-цинковой ассоциации. Аномалии III и IV представлены ассоциацией элементов, характерных для полиметаллических руд с подчиненным значением молибдена (среднее и нижнее течение р Мазмазак). По своему составу последние довольно сходны с геохимическими ассоциациями, свойственными нижним горизонтам месторождения Марджан. Титан-хром-кобальт-никелевая парагенетическая ассоциация, скорее всего, связана с петрохимическими особенностями вмещающих пород.

С. целью подтвердить или опровергнуть сделанные выводы о формационной принадлежности выявленных аномалий с помощью парагенетического анализа был применен критерий Д. А. Родионова-В. Н. Бондаренко, т.е. была сделана попытка сравнить эти геохимические аномалии не только с позиций среднеаномальных значений элементов, но и с учетом колебаний значений в каждом из них. Расчеты этого критерия позволяют судить о генетической близости меди в аномалиях 1.11,111, а также серебра в тех же аномалиях. Различия в значениях этого критерия для молибдена в пределах отдельных аномалий подтверждаются наличием в пределах Марджан-Мазмазакского участка генетически различных проявлений этого элемента: медномолибденовой (штокверковый тип), собственно молибденовой (жильшый) и вольфрам-молибденовой (грейзеновый) формаций.

Свинен представлен золото-полиметаллическим типом (A-I, A-II), переходящим в полиметаллический формационный тип (A-IV). Это обстоятельство может служить дополнительным признаком различия

в уровнях эрознонного среза этих аномалий.

Вышеприведенные рассуждения и статистические построения модели занальности могут служить доказательством многостадийности

оруденения и полиформационного характера его зональности.

Несмотря на полиформационный тип геохимических ореолов, обобщенный ряд зональности на этом участке имеет следующий вид (северо-запад юго-вюсток): барий-мышьяк-серебро-цинк-свинсц-медь-

-молибден-кобальт-никель

Исследованиями А. И. Карапетяна и др. [3] на Марджан-Мазмазакском рудном поле набор метасоматических пород можно отнести к пропилито-березито-аргиллизитовой формации. Наблюдается определениая зональность метасоматических образований по вертикали. Аргиллизиты с глубиной сменяются березитами (центральная часть Марджанского месторождения), ниже—пропилитами (на уровне русла реч. Камрчак) Высокотемпературные метасоматические образования грейзеновой формации слабо развиты. В составе грейзенизированных пород встречаются небольшие кварцевые тела с целестинобаритом и небольшие гнездообразные образования вольфрамита. Наблюдается рассеяпная минерализация молибденита. Главными минегалами являются кварц, мусковит, турмалии.

Принимая во внимание, что высокотемпературные растворы (300—350°С), производящие калишпатизацию пород, имеют повышенные содержания  $K_2O$ , пами было рассчитано отношение  $K_2O/(K_2O+Na_2O)$  Эталонными были приняты значения этого коэффициента на разных уровнях месторождения Марджан ,где на уровне золото-полиметаллических руд (гор. 2420 м) он составил—0,82, а на уровне интенсивного развития собственно полиметаллических руд (гор. 2242 м) значе-

ние коэффициента уменьшается до 0,67.

В пределах Мазмазакского участка этот коэффициент имеет следующие значения: в контурах развития штокверковой молибденовой минерализации 0,5—0,55; на участках распространения полиметал-

лических руд-0,62-0,65.

Таким образом, анализ парагенетических ассоциаций химических элементов и выявленная вертикальная зональность оруденения, зональность метасоматических образований и расчет отношения  $K_2O/(K_1O+Na_2O)$  в пределах Марджан-Мазмазакского рудного поля показал, что зональность геохимических ореолов посит полиформационный характер, зависящий от различной формационной принадлежности выявленных геохимических аномалий, а также разного уровня их эрозионного среза.

Работа выполнена в рамках темы 96--125, финансируемой из гос-бюджета Республики Армения.

### ՏԱՐՐԵՐԻ ՊԱՐԱԳԵՆԵՏԻԿԱԿԱՆ ԱՆԱԼԻԶԻ ԿԻՐԱՌՈՒՄԸ ԵՐԿՐԱՔԻՄԻԱԿԱՆ ԱՆՈՄԱԼԻԱՆԵՐԸ ԳՆԱՀԱՏԵԼԻՍ ՄԱՐԱՋԱՆ—ՄԱԶՄԱՉԱԿ ՀԱՆՔԱՅԻՆ ՏԵՂԱՄԱՍԻ ՕՐԻՆԱԿՈՎ

Ռ. Ս. Սիմոնյան

### Udhnhnid

ատել անքային գոյացումների էրոզիոն կտրվածքների մակարդակները։

# APPLICATION OF THE ELEMENTAL PARAGENETIC ANALYSIS IN THE EVALUATION OF GEOCHEMICAL ANOMALIES ON THE EXAMPLE OF THE MARJAN-MAZMAZAK ORE LOCUS

#### R. S. Simonian

#### Abstract

The study of chemical elements' paragenetic associations allows to reveal a geochemical zonation of ore formations; to clarify this zonation type, as well as to determine formation dependence of geochemical anomalies. Spatial and temporal changes of paragenetic associations point out a multi-formation type of mineralization, its multi-stage nature, and allow to evaluate an erosion cut level of ore formations on more argued basis.

#### ЛИТЕРАТУРА

Григорян С. В. Первичные геохимические ореолы при понсках и разведке рудных месторождений. М.: Педра, 1987, 407 с.

Карапетян А. И. Эндогенные рудные формации Памбак-Зангезурской металлогенической зоны Малого Кавказа. Ереван: Изд. АН АрмССР, 1982, 348 с.

3 Карапетян А. И., Гуюмджян О. П. О возрасте вулканических илутонических и жильных пород бассейна р. Сиспан.—Изв. АН АрмССР, Науки о Земле, 1989. № 2, с. 20—23.

4 Маракушев А. А. Термодинамическая основа образования парагенезисов химических элементов в процессах глубинного минералообразования.—В кн.: «Очерки физико-химической петрологии». Вып. V., М.: 1975, с. 121—194.

5. Симонян Р. С., Кочарян С. А. Классификация геохимических аномалий при помощи многомерного статистического анализа.—Изв. АН Армении, сер. Науки о Земле 1990, № 2.

6 Смирнов Б. И. Корреляционные методы при парагенетическом анализе М: Недра, 1981, 174 с.

. Статистические методы при геохимических поисках месторождений. М.: ИМГРЭ, 1977, 122 с.

# ТИПИЗАЦИЯ И ТЕХНОЛОГИЧЕСКАЯ ОЦЕНКА ОКИСЛЕННЫХ РУД МЕСТОРОЖДЕНИЙ АРМЕНИИ

#### С 1996 г. П. Г. Алоян

Институт «Армнипроцветмет» Министерства промышленности РА 375010 Еревин, ул. Корюна 14, Республика Армения Поступила в редакцию 9.07.96.

В статье впервые предпринята попытка промышленной типизации и технологической оденки окисленных руд месторождений Армении. Установлена определениая минералогическая специализация природных разновидностей окисленных руд в зависимости от формационной припадлежности и морфогенетических особенностей месторождения. Критерий выделения, типизация и сортировка окисленных руд имеют формационно технологическую основу.

В современной практике горнорудного производства при промышленной типизации руд выделяются сульфидные и окисленный геологотехнологические типы Промышлениая типизация сульфидных проводится на формационно-технологической, горнотехнической и экономической основе, что дает возможность определить оптимальную ехему обогащения, номенклатуру товарной продукции, выбор способов тудоподготовки, режимов дробления и флотации [3]. Промышленная типизация окисленных руд до сих пор не проводилась. Окисленный тип руд выделяется по степени окисления основного (или основных) полезного компонента без учета характерной ассоциации основных окисленных минералов, их количественного соотношения и технологических сортов. Общее определение «окисленные руды» не дает представления об их формационной принадлежности и тем самым лишает оптимального технологического тестирования. Это отрицательно сказывается на эффективности использования окисленных руд, т. к. окисленные разновидности руд «сваливаются» в единую кучу без соответствующей сортировки.

В настоящей статье сделана первая попытка промышленной типизации и сортировки природных разновидностей окисленных руд на формационно-технологической основе с целью повышения полноты

освоения недр.

При выделении промышленных разновидностей и технологических сортов окисленных руд мы в основном исходим из формационной принадлежности месторождения, парагенезиса основных окисленных минералов, их количественного соотношения, а также технологической схемы переработки. В данном случае горнотехнические возможности и экономика горпорудного производства не имеют существенного значения, т. к. природная (минеральная) разновидность тестируется техпологически с выходом на промышленную разновидность и сортность или отбраковывается. При оценке промышленных разновидностей окисленных руд важное значение имеет фациальная характеристика поверхностного слоя месторождения или рудного поля (в особенности при ведении вскрышных работ). В любом случае окисленные руды требуют их селективной добычи, сортировки и раздельного складирования, а в большинстве случаев и селективной переработки. Поэтому промышленная типизация окисленных руд с выделением технологических сортов так же важна, как и выделение геолого-технологических и промышленных типов сульфидных руд.

выделения окисленных руд может служить степень окисления основного (или основных) полезного компонента; для однокомпонентных медных руд—степень окисления меди, для двухкомпонентных медномолибденсвых руд—степень окисления меди и молибдена, для много-компонентных золотополиметаллических руд—степень окисления цинка или свинца (при отсутствии меди), для собствению золоторудных—степень «лимонитизации», а в редких случаях—степень окисления железа. Следовательно, критерий выделения окисленных руд предопределяется формационной принадлежностью месторождения. Степень окисления выражается отношением окисленной части полезного ком-

понента к общему его количеству, выраженному в процентах.

Методика оконтуривания скисленных руд на месторождениях различных морфогенетических типов разная и заключается в нанесении показателей степени окисления полезных компонентов на продольные проекции рудных тел (на месторождениях жильного типа) или разрезы (на месторождениях штокверкового типа). Верхняя граница окисленных руд проводится по результатам опробования поверхностных горных выработок На месторождениях жильного типа нижняя граница окисленных руд проводится между двумя разведочными горизонтами интерпретацией количества окисленных и сульфидных минералов или степени окисления соответствующих компонентов, а на месторождениях штокверкового типа используются результаты анализа кериа буровых скважин. Процессы гипергенеза наиболее интенсивно развиты на месторождениях прожилково-вкрапленного (штокверкового) морфологического типа

В зависимости от геолого-структурных условий месторождения переход окисленных руд в сульфидные может быть резким или постепенным (рассеянным). В последнем случае между окисленными и сульфидными рудами по результатам фазового анализа выделяются так называемые «смешанные» руды, занимающие промежуточное положение. Они обычно перерабатываются в шихте с сульфидными руда

Сводные данные по типизации и технологической оценке окисленных руд приводятся в таблице 1. Характерно, что наблюдается минералогическая специализация разновидностей окисленных руд в зависимости от формационной принадлежности месторождения.

Меднорудная формация Армении представлена месторождениями жильного (Капан, Алаверди, Шамлуг) и штокверкового (Личк) морфологического типа. Зопа окисления паиболее хорошо развита на Личкском месторождении [6]. Окисленные руды здесь представлены в основнем лимонитом и малахитом, реже присутствуют гетит, азурит, куприт, тенорит, значительно реже-повеллит, ферримолибдит, хризоколла и др. Эти минералы образуют прожилки, корочки, налеты, примазки и землистые охристые массы. Глубина зоны окисления сосгавляет в среднем 40 м при степени окисления от 20 до 80-90% Окисленные руды Личкского месторождения относятся к лимонитмалахитовой природной разновидности. Технологические исследования показали, что устанавливается четкая зависимость извлечения меди от степени ее окисления в руде. Извлечение резко падает при степени окисления меди более 15--20%. При степени окисления 20-50% достигается извлечение меди флотационным методом до 80%, а при окислении свыше 50% происходит снижение извлечения меди до 53%, при окислении 80-90% извлечение меди составляет всего 35% (табл. 1). С увеличением степени окисления и снижении извлечения резко падает содержание меди в обогащенном продукте Геотехнологические исследования показали, что из таких окисленных

руд медь эффективно извлекается методом кучного выщелачивания (Бабаджанян, 1989). При содержании меди в окисленной руде 0.6% и степени ее окисления свыше 50% сернокислотным выщелачиванием в раствор извлекается до 72.5%, а из раствора в цементационную медь—до 96% меди при содержании в цементате до 90%.

Таким образом, по степени окисления и технологической оценке на Личкском месторождении выделяются два технологических сорта лимонит-малахитовой разповидности руд. При степени окисления от 20 до 50% они могут перерабатываться в шихте с сульфидными рудами флотационным методом, а при степени окисления меди свыше 50% рекомендуется окисленные руды перерабатывать кучным выщелачиванием. Не исключается кучное выщелачивание обоих сортов [2].

Наиболее интенсивно и выдержанно процессы окисления развиты на месторождениях медно-молибденовой формации штокверкового типа (Каджаран, Агарак, Техут). Известна химическая активность меди по сравнению с молибденом в процессе окисления [5]. Поэтому в слабоокисленных рудах молибден остается почти нетронутым. Сугтублением процесса окисления, как правило, следовало бы ожидать опережения окисленных медных минералов по сравнению с молибденовыми Однако, как показывает фактический материал, такое соотношение не всегда выдерживается [4]. Степень окисления меди и молибдена на различных месторождениях разная. Эти различия обусловлены в основном геолого-структурными и минералогическими факторами: в особенности от многообразия минерального состава, содержания и агрегатного состояния рудообразующих минералов, а также миграционной способности металлов в виде растворимых форм и др. Например, на Каджаранском месторождении молибденит образует крупночешуйчатые агрегаты и окисляется лишь с поверхности, образуя точкие каемки повеллита, обуславливая тем самым низкую степень окисления, но плохую флотируемость руд, т. е. низкую извлекаемость полезного компонента. Это так называемые «упорные» руды Для мелковкрапленных руд Агаракского месторождения процессы окисления проникают глубже и поэтому здесь степень окисления выше. Этим объясняется тот факт, что количество «упорных» руд на Агаракском месторождении значительно (почти в 2-3 раза) меньше, чем на Каджаранском месторождении. Кроме того, наличие пирита в первичных рудах способствует интенсификации процессов гипергенеза. Так "зона окисления Техутского месторождения четко оконтуривается визуально по рыжему цвету; в связи с наличием большо го количества пирита в сульфидных рудах интенсивно каолинизированные и кварц-слюдисто-карбонатные породы доведены до трухи Следует отметить, что на месторождениях медно-молибденовой формации четкой корреляционной связи между степенью окисления мели и молибдена не устанавливается. Окисление только медных или только молибденовых минералов достаточно для выделения окисленного типа руд Поэтому при выделении последних можно руководствоваться степенью окисления одного из них. Достоверность такого учета степени окисления подтверждают экспериментальные данные Технологические исследования по извлечению меди и молибдена из различной степени окисленных руд показали, что наблюдается резкое падение извлечения полезных компонентов в интервале окисления мели 15—20%, а молиблена—свыше 6% (Луценко, Тагворян, Алоян, 1983). Эти показатели являются исходными при выделении окис ленных руд на месторождениях медно-молибденовой формации. Ош

апробированы при утверждении запасов в ГКЗ СССР.

## Тип изация и технологическая оценка окисленных руд месторождений Армении

рормация,	Месторож	Природная	Степень окис-				Промышленная развовидность окисленных руд,	
MORBORON		разновидность	ность) %	Флотация	Выщелечивание	Гр+Ф+Ц	скема переработки	
			O <sub>K</sub> = 20-50	$\alpha = 0.6-0.7$ $\epsilon = 71.7-80.0$ $\beta = 10.0-14.0$	-		Прита с сульфедение рудами	
медно-	ARTX	ARMOUNT-MANAXETOBAS	O <sub>K</sub> = 50-90	$\varepsilon = 53.0 - 35.0$ $\beta = 11.0 - 6.1$ $\alpha = 0.45$	$\alpha = 0.6$ $\beta = A0 90.0$ $\epsilon_{pec} = 72.5$ $\epsilon_{new} = 96.0$		Кучное выпцелачивание	
			O <sub>K</sub> = 15-20	ε = 68,0-69,0			Ажмонит-малакит-повеллит-ферримолибантовая.	
	K		(смещавные)	ε <sub>Mo</sub> =70,0-72,0		-	Шихта с сульфидными рудами.	
Mo)	A M	AEMOMET-MARANT-	O <sub>K</sub> >20.0	$\alpha_{Cu} = 0.27$ $\alpha_{Mo} = 0.016$ $\epsilon_{Cu} = 21.1$ $\epsilon_{Mo} = 42.1$ $\beta_{Cu} = 2.5$ $\beta_{Mo} = 0.2$			Шихта с сульфидными рудами - 1:9 или 2:8	
поленовая (Сп	a p a B	ферримолибдитовая	O <sub>K</sub> >60,0		α cu = 0,3 ε cupu = 90,0 ε cupu = 95,0-96,0 β cu = A0 90,0 ε cu = 0,01 β Mo = 80,0		Кучное выщельчивание	
Мелно-мол	Arapax	Анмонит-малакит- гидрогематитовая	O <sub>K</sub> = 20-50	$\alpha_{\text{Cu}}=1.5$ $\alpha_{\text{Mo}}=0.017$ $\epsilon_{\text{Cu}}=48.7$ $\epsilon_{\text{Mo}}=83.3$ $\beta_{\text{Cu}}=6.2$ $\beta_{\text{Mo}}=0.15$	α cu = 0.4 ε cu per = 54.0 ε cu mem = 93.0-97.0 β cu mem = 80.0 α mo = 0.007		Авмонят-малакит-гидрогематитовая. Кучное выщельчивание.	
	Техут	Акмонит-малахит-гетиговая Бирюзоносная	O <sub>K</sub> = 20 m Garee	$\alpha_{Cu} = 0.2$ $\alpha_{Mo} = 0.01$ $\epsilon_{Cu,Mo} = 10.0-20.0$			Промышленная разновидность не выделяется.  Бирюзоносные породы.	
(b)	M a P	AEMOBET MAAAXET	O <sub>K</sub> = 15-20 CMCUTATHNE)			$\Gamma_{p} + \Phi$ $\alpha_{Au} = 3.6 \text{ r/m}$ $\epsilon_{Au} = 89.5$ $\beta_{Au} = 37.7 \text{ r/m}$	Акмомит-малакит-пупритовая	
Kast (Au, A	ц г e	EVIPETOBAR	O <sub>K</sub> = 40-50			$\alpha_{Au} = 9.2  r/m$ $\epsilon_{Au} = 88.3$ $\beta_{Au} = 79.2  r/m$	Шехто с сульфидения рудляя АрЗИФ 1:5 и >	
ачес	Т	<b>Лиможит-церуссит-англезит</b>		Пока нет те	ехнология		Промышленная разновядность пока не выделяется	
ото-полиметал.	T e p T	Анмонит-деруссит-	O <sub>K</sub> = 25-30			$\Gamma_{0} + \Phi$ $\alpha_{c_{1}} = 0.35$ $\alpha_{A_{1}} = 20.5 \text{ r/m}$ $\alpha_{A_{3}} = 72.7 \text{ r/m}$ $\epsilon_{A_{4}} = 90.0-92.0$ $\epsilon_{A_{5}} = 92.0$	Авмовит дерусит-плюмбокрозит-скородитовая. Не шихтовать с сульфидимии рудами селективная переработка.	
500	P a c a p	плюмбожрозит- скородитовая	O <sub>K</sub> = 50-52			$\Gamma_{p} + \Phi + \Pi$ $\alpha_{Au} = 22.5 \text{ r/m}$ $\epsilon_{Au} = 86.5$ $\beta_{rp} = 216 \text{ r/m}$ $\beta_{rp} = 60.4 \text{ r/m}$	Гр+Ф+Ц	

при нажне: от содержание в руде, %, г/m; 6- извлечение в концентрат. %; 0 - флотация; О - флотация; Ц - цианирование

На Техутском месторождении, как уже было отмечено, зона окисления хорошо выражена и прослеживается на глубину до 100-120 м (в среднем 70 м). Она сложена в основном лимонитом и гетитом. В виде налетов местами наблюдаются малахит, гидрогематит, азурит, куприт, ярозит, повеллит и ферримолибдит. Окисленные руды Техутского месторождения относятся к лимонит-малахит-гетитовой природной разновидности и содержат промышленные запасы бирюзы-Вторичные сульфиды меди и первичные минералы меди и молибдена очень редки. По данным фазовых анализов, в зоне окисления Техутского месторождения 50-60% меди и молибдена представлены окисленными формами при среднем содержании меди 0,2% и молибдена 0.01%. Переход окисленных руд в сульфидные резкий. В основании зоны лежит прослой водонепроницаемых каолинизированных образований. Зона вторичного сульфидного обогащения проявляется фрагментарно. Из окисленных руд в коллективный флотационный концентрат извлекается не более 10-20% меди и молибдена (Тагворян, Даниелян, 1989), что обусловлено низким содержанием полезных компонентов, высокой степенью окисления и дисперсной фазой проявления окисленных минералов. Эти данные свидетельствуют о том, что породы зоны окисления Техутского месторождения не могут быть сырьем для получения меди и молибдена и поэтому промышленная разновидность этих руд не выделяется. Они рассматриваются как бирюзонос-

ные породы.

Сравнительно слабо затронуты гипергенезом руды Каджаранского и Агаракского месторождений. Зона окисления развита слабо, но характеризуется постоянным присутствуем гидроокислов железа. Широко развиты также малахит, лампадит; менее распространены медпо-марганцевые смоляные руды, азурит и ярозит. Редко наблюдаются куприт и гипс, а на Каджаранском месторождении-смитсонит и церуссит. На Каджаранском месторождении продукты окисления молибденита представлены повеллитом и ферримолибдитом, тогда как на Агаракском месторождении повеллит встречается очень редко. Это, по-видимому, объясняется тем, что воды Каджарана существенно карбонатные, а на Агараке они характеризуются непостоянным составом от сульфидного до карбонатного [1]. На Каджаранском месторождении на разных участках штокверка матрица окисления различна: на северо-западе и северо-востоке-мелковкрапленная магнетитовая минерализация, на западе-преимущественно молибденовые руды, а на востоке-преимущественно медные руды в зонах аргиллитизации и сгипсования. Этими отличиями коренных пород обусловлены минералогические особенности зоны окисления: преимущественная лимонитизация на западе, малахитизация на востоке и повеллитизация по молибденовым рудам на западе. Окисленные руды месторождения отпосятся к лимонит-малахит-повеллит-ферримолибдитовой природной разновидности. Нижняя граница зоны окисления имеет извилистый характер и проникает в среднем на глубину 30-50-м, в отдельных случаях «языки» проникают до глубины 200 м. Среди окисленных руд Каджаранского месторождения по степени окисления выделяются три технологических сорта (табл. 1). На Агаракском месторождении скорость эрознонного среза чрезвычайно велика и процессы эрозни часто опережают процессы окисления и выщелачивания. В целом зона окисления развита крайне перавномерно при средней мощности 20-25 м. В отличие от каждаранских руд, здесь развита лимонит-малахит-гидрогемалитовая природная разновидность, которая тестирует ся технологически в одну промышленную разновидность и один тех-

нологический сорт. Технологические исследования показали, что из смешанных каджаранских и агаракских руд в коллективный флотоконцентрат извлекаются в среднем 68-69% меди и 70-72% молибдена, что близко к технологическим показателям сульфидных руд (Лученко, Пашовкип, Арутюнян, 1983). Поэтому смешанные руды этих месторождений перерабатываются в шихте с сульфидными рудами в соответствующей пропорции (1:5 или более). В настоящее время окисленные руды в основнем добыты. Некоторая часть запасов каджаранских руд при степени окисления более 20% переработаны в шихте с сульфидными рудами в отношении 1:9 или 2:8, а остальная часть вместе с сильно окисленными рудами вывезена в отвал для кучного выщелачивания. Окисленные руды Агаракского месторождения также вывезены в отвал и отдельно складированы для их дальнейшей переработки кучным выщелачиванием или для иного использования в народном козяйстве. Кучное сернокислотное вышелачивание обеспечивает сквозное извлечение меди из каждаранских окисленных руд 86% при ее содержании в цементе 90%, а из агаракских-соответственно 51 н 80% (табл. 1) (Сатин, Гукасян, 1959; Арамян, 1960, 1978),

На месторождениях золотс-полиметаллической формации основными ценными компонентами являются золото и серебро, которые слабо подвергаются окислению и по ним трудно судить о наличии на месторождении окисленных руд. На золоторудных месторождениях о палични окисленных руд можно судить по окислению пирита В настоящее время на этих месторождениях окисленный тип выделяется по степени окисления железа. Как показывают результаты исследований, такой подход может быть ошибочным, т. к. определенное фазовым анализом окисленное железо включает не только железо окисленного пирита (лимонита, гетита и т, д), а также железо гипогенного магнетита, особенно гематита и даже пирротина. Последние часто встречаются в рудах этой формации. Ошибочным может быть и определение степени окисления руд по содержанию сульфатной серы, т. к. водорастворимые сульфаты часто выносятся из зоны выщелачивания. Поэтому для определения степени окисления золотосульфидных руд предлагается руководствоваться степенью «лимонитизации» [4]. В этом случае количественный показатель определяется расчетным путем по результатам минералогического апализа отношением количества лимонита к суммарному количеству лимонита и пирита, выраженному в процентах. Наглядным примером эффективности этого подхода могут служить Марцигетское и Тертерасарское месторождения-

На Марцигетском золотополиметаллическом месторождении зона окисления хорошо выражена и представлена заохренными и ожелезненными породами желтоватого цвега. Окисленные руды представлены двумя разновидностями: лимонит-малахит-купритовой по сульфидному медно-золоторудному геолого-технологическому типу и лимонит-церуссит-англезит-смитсонитовой по сульфидному золотополиметаллическому типу.

По данным минералогических исследований и фазового химического анализа, установлено полное окисление железа, меди, цинка и свинца в рудах, вскрытых новерхностными выработками. С глубнюй степень окисления этих металлов уменьшается и появляются реликты сульфидных руд Граница зоны окисления расплывчатая и проводится интерполяцией между двумя разведочными горизонтами (табл. 2)

Данные, приведенные в табл. 2, свидетельствуют о том, что степень окисления железа не может служить надежным критерием выде-

лення окисленных руд; при отсутствии окисленной меди для рудных тел 6, 7, 7а степень окисления железа составляет 40—50%. Кроме того, для рудных тел 1 и 2 на горизонте 980 м при степени окисления меди 10—15% окисление железа составляет 75—80%.

Изменение степени окисления металлов с глубиной на Марцигетском месторождении Таблица 2

	Геолого-техноло-			Cien	лень ски ления, ч		
Уча. гок	гический тип сульф. руд	Горизонты горизонты	Рудные тела	Cu	Fe	Zn	
Дзагилаор	Метно-золо с-	Гразв. гор. 1100 .и	6. 7, 71	5-75	50 100	10 70	
		П разв. гор 1029 л		10—15	60 - 91)	ao 10	
		III разв. гор. 980 м			40 = 50		

При равных условиях окисления отношение окисленного желева к таковому меди должно быть постоянным [4]. Статистический анализ данных 70 проб показал, что это отношение колеблется в широких пределах—от 1 до 15, причем высокие значения соответствуют пробам с большим содержанием гематита. По этим же данным устанавливается следующий ряд отношений степени окисления меди и степени «лимонитизации» (без лимонита за счет железа халькопирита).

Степень окисления меди, % 20 50 Степень «лимонитизации». % 30—35 65—70 80—90

Средняя степень окисления меди в зоне окисления уч. Дзагидзор составляет 20—25%. Злесь золото в основном приурочено к лимониту В окисленных рудах «ржавое» золото составляет 6%. Исследования по двум лабораторным и одной крупнолабораторной технологическим пробам при степени окисления 20—40% и более показали легкую обо-

гатимость этих руд по золоту (Акмаева ,1990).

По гравитационно-флотационной схеме Араратской золотоизвлекательной фабрики из окисленных руд извлечение золота ниже извлечения из сульфидных руд всего на 2-3% Цианированием хвост в флотации дополнительно извлекается лишь 5-8%. При высоком содержании золота в рудах, даже при степени окисления от 40-50% до 80% крупнолабораторными исследованиями доказана в зможность высокого извлечения золота и серебра (табл. 1), т.е. степень окисления меди на извлечение драгметаллов практически не влияет. Учитывая высокий процент окисления руд, следовало рекомендовать комбинированную полную схему обогащения (гравитация+флотация+ +цианирование хвостов флотации), однако высокий процент «свободпого» золота позволяет гравитацией и флотацией извлекать основное количество зелота Однотипность технологической схемы обогашения сульфидиых руд медно-золоторудного типа (кварц-пиритовая природ-ная разновидность) и их производных-окисленных руд лимонит-малахит-купритовой разновидности, дает основание рекомендовать их переработку в единой шихте со степенью окисления не более 20% по схеме гравитация + флотация.

На Тертерасарском золоторудном месторождении зона окисления хороше выражена и представлена рыхлой, рыжевато-буроватой породой с большим количеством желтовато-белого плотного кварца, гидро-

окислов железа, вторичных минералов свинца (церуссит, плюмбоярозит) и мышьяка (скородит, арсенолит), а также сохранившихся реликтов сульфидов (пирит, арсенопирит, халькопирит, галенит). Отмечаются вкрапленники пирита в кварце размером до 5 мм с густой -сетью прожилков и каймой лимопита. Более мелкие вкрапленники полностью окислены. Часто в кварце отмечаются пустоты выщелачивания от 1 мм до 1 см и более, имеющие форму кристаллов пирита. Гидроокислы железа неоднородны, о чем свидетельствует четкая зональность зерен. В процессе замещения они образуют петельчатые, зопальные, ритмические и др. структуры, псевдоморфозы по сульфидам. По халькопириту и теннантиту развиваются прожилки лимонита с ковеллином, по галениту - «рубашка» церуссита: некоторые зерна полностью превращены в плюмбоярезит. Сростки с пирит-арсенопиритовой ассоциацией частично или полностью превращены в лимонит н скородит. Глубина зоны окисления составляет 100-125 м при средней степени окисления меди в ней 25-30%. Окисленные руды Тертерасарского месторождения относятся к лимонит-церуссит-плюмбоярозитскородитовой природной разновиднести.

На примере Тертерасарского месторождения можно увидеть зависимость извлечения золота от степени окисления меди и железа (определенная фазовым химическим анализом), а также от степени «лимонитизации». Самородное золото в рудах представлено монокристаллами и дендритами размером от 0,1 до 0,5-мм. Золотины содержат включение кварца, образуют сростки с теллуридами Некоторые из них покрыты пленками гидроокислов железа («ржавое» золото). Содержание золота в зоце окисления составляет в среднем 20,5г/т, что в несколько раз превышает содержание в сульфидных рудах. Среднее содержание серебра в зоне окисления составляет 72,7 г/т, меди —0,35%; установлены также висмут и теллур, содержание которых в

концентратах доходит соответственно до 96,4 и 45,0г/т.

Технологические исследования показывают, что сульфидные по степени «лимонитизации» руды имеют низкие показагели извлечения в гравно- и флотоконцентраты при степени окисления железа в пределах 13—25%. Установлено, что эти руды представлены магнетит-гематитовой разновидностью и содержат большое количество гипогенного магнетита и, особенно, золотоносного гематита. Последний во вмещающей породе образует тонкую вкрапленность и спутанно-волок-

пистые агрегаты.

При степени окисления 25—30% по схеме гравитация + флотация извлекается до 90—92% золота и серебра. В отличие от руд Марцигетского месторождения здесь наблюдается сильное негативное влияние пронессов гипергенеза на технологические показатели. С увеличением степени окисления до 50—52% наблюдается резкое падение извлечения драгметаллов с 90—92% до 55—60% (табл. 1). Снижение технологических показателей обусловлено кислым составом рудовмещающих кварц-серицитовых метасоматитов по монцопитам и широким развитием процессов каолинизации. Однако, в данном случае цианирование хвостов флотации обеспечивает повышение извлечения золота на 26—27%, а серебра—на 18%. Учитывая высокое содержание золота в окисленных рудах и различия в технологических схемах обогащения, экономически нелесообразно эти сорта окисленных рудие смешивать и выделить как самостоятельные промышленные сорта единой лимонит-церуссит-плюмбеярозит-скородитовой разновидности.

Все вышензложенное дает нам основание отметить следующее: 1. Критерий выделения, типизация и сортировка окисленных

руд имеют формационно-технологическую основу. Природная минералогическая разновидность окисленных руд тестируется технологически с выходом на промышленную разновидность и сортность или отбраковывается. При этом, в отличие от промышленной типизации сульфидных руд, горнотехнические условия отработки и экономика горнорудного производства не имеют существенного значения, т. к низкие технологические показатели окисленных руд в любом случае требуют их селективной добычи, сортировки, раздельного складирования; в большинстве случаев и раздельного использования. Промышленная типизация окисленных руд с выделением технологических сортов так же важна, как и промышленная типизация сульфидных руд-

- 2. Устанавливается определенная минералогическая специализация природных разновидностей окисленных руд в зависимости.от формационной принадлежности и морфогенетических особенностей месторождения. Сквозной минеральной ассоциацией для всех рудных формации является лимонит-малахитовая, т. к. в рудных формациях Арменни широко развиты пирит и халькопирит. В медно-молибденовой формации окисленные минералы преимущественно представлены повеллит-ферримолибдитом, гидрогематитом и гетитом Для повеллитферримолибдитовой ассоциации (Каджаран) характерны три технологических сорта окисленных руд, из которых первые два (с окислением 15-20% и 20-50%) перерабатываются в шихте с сульфидными рудами в различных пропорциях в зависимости от степени окисления, а третий (окисление свыше 60%) вместе с гидрогематитовой разновидностью (Агарак) является сырьем для кучного выщелачивания. Гетитовая минерализация (Техут) не дает возможности выделить промышленную разновидность, т. к. дисперсная фаза лимонита имеет очень низкие технологические показатели (табл. 1). Для этой разновидности характерна бирюзоносность в промышленных масштабах В золото-полиметаллической формации окисление преимущественно представлено купритюм, церуссит-англезит-смит,сслитом и церуссит плюмб ярозит-скородитом. Для купритовой разновидности характерен один технологический сорт, перерабатывающийся по схеме гравитация + флотация в шихте с сульфидными рудами, вне зависимости от степени окисления. Церуссит-англезит-смитсонитовая разновидность пока технологически не оценена и сортность не выделена. Церусситплюмбоярозит-скородитовая-представлена двумя технологическими сортами, которые нецелесообразно шихтовать с сульфидными рудами, т. к. в них содержание драгметаллов относительно сульфидных руд высокое. При степени окисления руд до 25-30% рекомендуется технологическая схема, включающая гравитацию и флотацию, а при степени окисления 50% и выше-гравитацию+флогацию+цианирование хвостов флотации.
- 3. Технологическая изученность и сортировка руд по степени окисления обеспечивают сравнительно высокое извлечение основных полезных компонентов рудных формаций на уровне, обеспечивающем эффективное использование недр. Однако, при кучном выщелачивании окисленных многокомпонентных руд пока не обеспечене комплексное использование сырья и ограничиваются в основном извлечением одного—основного компонента
- 4. Окисленные руды—это вторичное природное сырье, резко отличное от материнских сульфидных руд. Традиционное отношение к иим, как и к исходному сырью для извлечения одних и тех же полезных компонентов, является однобоким и формационно мало оправданным, т. к здесь меняются не только концентрация полезных компонен-

тов и формы нахождения, но и минералогические ассоциации, что очень существенно для технологической оценки. Окисленные руды, в особенности сильно окисленные сорта, могут служить эффективным сырьем для получения новых видов товарной продукции, в особенчости бирюзы и пигментов для изготовления различных красок, в кирпично-черепичном производстве и в других отраслях народного хозяйства. Дальнейшие технологические исследования следует вести также в этом направлении.

Работа выполнена в рамках темы 93-159, финансируемой из

госбюджета Республики Армения.

## շԱՅԱՍՏԱՆԻ ՀԱՆՔԱՎԱՅՐԵՐԻ ՕՔՍԻԴԱՑԱԾ ՀԱՆՔԵՐԻ ՏԵՍԱԿԱՎՈՐՈՒՄԸ ԵՎ ՏԵԽՆՈԼՈԳԻԱԿԱՆ ԳՆԱՀԱՏԱԿԱՆԸ

Պ. Գ. Ալոյան

## Ամփոփում

Հոդվածում առաջին անգամ փորձ է արվում տալ Հայաստանի հանքավայրելում օքսիդացած հանքերի տեսակավորումը և տեխնոլոդիական գնահատականը։ Պարզվում է, որ օքսիդացած հանքերի բնական տարատեսակների
առկա միներալոգիական մասնագիտացումը հիմնահանում պայմանավորված
է հանքավալրի ֆորմացիոն պատկանելությամբ և մորֆոգենետիկ առանձնահատկություններով։ Ինական միներալոգիական տարատեսակները տեստավորվում են տեխնոլոգիապես իրրև արդյունաբերական տարատեսակներ և տեսակավորում կամ խոտանվում։ Օքսհդացված հանքերի տեխնոլոգիական տեսակավորումը ունի ոչ պակաս նշանակություն, ջան սուլֆիդային հանքերի
արդյունաբերական տեսակավորումը, ջանդի ապահովում է ընդերքի լիարժեջ

o தமாய தாற சிரம் நு:

Հայաստանի բոլոր հանքային ֆորմացիաների համար բնորոշ է պիրիտի և խայկուդիրիտի պարունակունյունը, որը բերել է օքսիդացած հանքատեսակներում լիմոնիտ-մալախիտ ասոցիացիայի դերակայությանը։ Պղենձ-մոլիբդե սային ֆորմացիայի օքսիդացած Հանքատեսակները ներկայացված են պովելիտ-ֆերիմոլիբդիտով, Տիրդոոհեմատիտով և գյոտիտով, որոնք կախված օքսիդացման աստիճանից և հանքահարսուսցման եղանակից տեսակարվում են ըստ տեխնոլոգիական տեսակների։ Պովելիտ-ֆերիմոլիբդիտ ասոցհացիայի (Քաջարան) համար ընտրոշ են երեք տեխնոլոգիական տեսակներ, որոնցից առաջին հրկուսը (օքսիդացումը 15-20% և 20-50%) վերամշակվում են  $\mathfrak{P}_{i}^{n}$ տացիոն եղանակով սուլֆիդային Տանքերի հետ համատեղ շաղախում տարբեր մասնաբաժիններով, իսկ երրորդ տեսակը (օբսիդացումը 60% ավելի) նիդրոհեմատիտային տարատեսակի (Ադարակ) հետ միասին հանդիսանում են առաք ատևակուցութը (выше ачивание) Համար։ Դատիտային տարա տեսակը (Իեղուտ) խոստանվում է, քանի որ լիմոնիտի դեսպերսիոն ֆազան ունի շատ ցածը տեխնոլոգիական ցուցանիշներ։ Այս տարատեսակին բնորոչ է փիրուզի արդյունաբերական պաշարները։

Ոսկի բազմամետաղալին ֆորմացիայում օքսիդացումը հիմնականում ներկայացված է կուպրիտով, ցեռուսիտ-անգւեկիտ-ամիտանիտունիտով և ցեռուսիտ-պլումբոյարողիտ-սկորոդիտով։ Կուպրիտային տարատեսակը անկախ օքսիդացման աստիճանից շաղախվում է սուլֆիդային հանքերի հետ և վերա-մշակվում դրավիտացիա-ֆլոտացիա սիսեմալով։ Ցեռուսիտ-անգլեզիտ-սմիտանիտ տարատեսակը առայժմ տեխնոլոդիապես չի տեսակավորվել։ Ցեռուսիտ-անիտ հետարանակում անկան տերանոլոդիային հանցերի հետ, ըսնի որ ակելին), որոնը նպատականական չէ չաղախել սուլֆիդային հանցերի հետ, ըսնի որ

լելս Հանքատրումիրը վերամշակվելու են լերարատի ոսկեկորդիչ ֆարրիկայի

կրճատ և լրիվ տեխնոլողիական սխեմաներով։

Օքսիդացման գոտում առաջացած ապարները հանդիսանում են երկրորդային ծազման առաջացումներ և ունեն ուրույն միներալոգիական մասնագիտացում, օդտակար բաղադրիչների պարունակության այլ աստիճան և տեղայ նացման ձևերի նոր արտահայտումներ, որոնք պետք է հաշվի առնվեն հետա գա ուսումնասիրությունների ժամանակ։

# CLASSIFICATION AND TECHNOLOGICAL EVALUATION OF OXIDIZED ORES OF ARMENIA

## P. G. Aloyan

#### Abstract

In the paper an attempt to perform an industrial classification and technological evaluation of oxidized ore—deposits of Armenia is made for the first time. A certain mineralogical specialization of natural varieties of oxidized ores in dependence on the source formation and morphogenetic specific features of deposits is revealed. The revealing criterion, classification—and quality of oxidized ores have a formation-and-technological basis. The natural mineralogical variety is tested technologically and this testing result is considered as either industrial variety and sorted one or unworthy technologically. Both the technological qualities of oxidized ores and the industrial classification of sulfide ores are equally important, and further the increase of the underground resource use efficiency.

#### ЛИТЕРАТУРА

1. Акопян Е. А. Минералогия зоны окисления главненших медно-молибденовых месторождений Армении. Ереван: Изд. АН АрмССР, 1960, 252

2. Алюян П. Г. Состояние сырьевой базы цветной металлургии Армении и перспективы ее расширения и эффективного освоения.— Тр. Арминироцветмета. Еревант 1987, с. 7—14.

3 Алоян П. Г. Промышленная типизация и управление качеством руд на основе геолого-технологического картирования.—Изв. НАН РА, Науки о Земле, XLVII, 1994, № 1—2. с. 49—55.

4 Арутюнян Т. М., Давтян А. А Критерии выделения и оконтуривания зоны окисления и окисленных руд при геолого-технологическом картировании рудных месторождений.—Тр. Армнипроцветмета. Ереван: Изд. «Манкаварж». 1993, с. 38—49.

5. Лукашев К. И., Лукашев В. К. Геохимические поиски элементов в зоне гиперге

неза. Минск: Изд. «Наука и техника», 1967, т 1, 377 с.

6 Шамцян Ф. Г., Руднева А. Д. К характеристике зоны окисления Личкского месторождения меди.—Тр. Арминироцветмета. Ереван: Изд «Манкаварж», 1997. с. 31—37.

# МЕТОД ПОДБОРА СОСТАВА ПРОТИВОФИЛЬТРАЦИОННЫХ ГРУНТОВЫХ СМЕСЕЙ

С) 1996 г. С. Р. Месчян

Институт механики НАН РА 375019 Ереван, пр. Маршала Баграмняна 246, Республика Армения Поступила в редакцию 26.07.95.

В статье изложен метод определения оптимального состава из местных супесен, суглинков и бентонитовой пудры грунтовых смесей, оптимальной влажности и наибольшей плотности с заданным значением давления свободного набухания для возведения противофильтрационных элементов гидротехнических сооружений.

Мировой практике гидротехнического строительства известно много случаев использования бентонитовых глин для повышения неводопроницаемости супесей и суглинков, служащих материалом водоупорных элементов противофильтрационными экранами [6, 7], обли-

цовками каналов [5] и т. д.

Поскольку проблема потери воды из водохранилищ вообще, а в Армении в особенности, является исключительно важной проблемой, обусловленной геологическим строением (трещиноватостью) их чаши и бортов, в АрмНИИ водных проблем и гидротехники были исследованы [1] фильтрационные свойства песчано-бентонитовых смесей с содержанием бентонита Саригюхского месторождения в них от 3 до 30% по массе. Было установлено, что в указанных пределах изменяемость коэффициента фильтрации составляет от  $6.10^{-3}$  до  $2,1.10^{-6}$  см/с, в свободное набухание возрастает от 0 до 29,6%. Набухание чистого бентонита при плотности 1,1 г/см3 было равно 47,61%. Как и во всех ранее выполненных работах авторы [1] заключили, что чистый бентонит и песчано-бентонитовые смеси являются хорошими неводопроницаемыми материалами К сожалению, в [1] не приведены данные как о значениях плотности испытанных образцов, так и об их начальной влажности, чтобы сделать более обоснованные выводы о фильтрационных свойствах испытанных смесей.

Во всех упомянутых выше работах состав грунтовых набухающих смесей, количество бентонита определялись по наименьшему значению коэффициента фильтрации. Для этого выполнялось испытание большого количества различных составов смесей, поскольку не было паучнообоснованного метода подбора оптимального состава грунтовых смесей с заданными значениями оптимальной влажности, наибольшей

плотности, набухаемости и минимальной водопроницаемости

Грунтовые смеси, содержащие значительное количество бентонита, являются набухающим материалом. Причем, в зависимости от количества бентонита в смеси и ее набухаемости может иметь место не только уменьшение, но и возрастание водопроницаемости материала. Например, опытами над образцами трех супесчано-бентонитовых смесей оптимальной влажности и наибольшей плотности под действием трех различных нормальных напряжений (табл. 1) было установлено, что наряду с существенным уменьшением коэффициента фильтрации по мере увеличения количества бентонита в смеси то до 15%, при то = 20% имело место его значительное возрастание вследствие набухания Как видно из табл. 1, возрастание водопрони-

цаемости при содержании бентонита в смеси в количестве 20% по массе имеет место во всех трех значениях пормального давления [3]

Показатели основных физических и фильтрационных свойств супеси 56—85 и супесчано-бентонитовых смесей

Количество бентонита,	P3.	Pd.max	Wort	W'E	Jp	Коэ филичент филицания, 10-е см с ари нермальны, Напряченнях д. и 11//и			
9,	CNJ	(M3				0.025	0.1	0.2	
U	2.68	1.61	0.22	0.25	0.06	5.69			
10	2.70	1.58	0,24	0.31	0.13	2.49	1.64	7.63	
15	2.72	1.56	0.24	0.34	0.16	0.352	0.31	0.301	
20	2,74	1.53	0.22	0.34	0.14	1.14	1.14	0.830	
17	2.74	1.55	0.23	1-	1 -	0.184	0.21	0.133	

Из изложенного выше следует, что для обеспечения наименьшей водопроницаемости грунтовых смесей оптимальной влажности  $w_{op}$  и наибольшей плотности скелета  $\rho_{d,max}$  следует исключить их набухаемость. Это значит, что давление свободного набухания смеси  $\sigma_{d,max}$  [4] должно быть равно величине пригрузки  $\sigma_{d,max}$  водоупорного элемента от веса защитного слоя. При таком подходе к подбору состава грунтовой смеси количество бентонита в ней будет равно тому наибольшему значению, при котором отсутствует ее разуплотнение вследствие набу-

хания при замачивании под заданной нагрузкой.

Чтобы решить рассматриваемую задачу следует: 1) приготовить несколько различных грунтовых смесей с различным содержанием бентонита, 2) определить оптимальную влажность и наибольшую плотность их скелета, 3) образцы оптимальной влажности и наибольшей плотности скелета загрузить нагрузкой, равной величине предполагаемой пригрузки и через определенное время замочить, 4) определить деформации уплотнения (+ 3) и набухания (— 3) замоченных образцов, 5) по данным опытов построить график зависимости деформация ( 6) — количество бентонита в смеси в % % по массе ( 10) и по точке пересечения этого графика с осью то определить оптимальное количество бентонита в смеси в % ( 10).

На рис. 1 приведен пример определения ( $m_{6.0pt}$ ), равного 17% по массе рассмотренной выше смеси из супеси 56—85 и бентонитового порошка Саригюхского месторождения под действием  $p_1 = \sigma_1 = 0.025$ 

МПа (табл. 1).

С целью проверки справедливости предлагаемого метода осуществлено испытание груптовой смеси, с содержанием в ней бентонита 17% по массе, оптимальной влажности и наибольшей плотности скеле 1а под лействием  $p_1 = \sigma_1 = 0.025\,M\Pi a$ . Опыты показали, что действительно эта смесь под действием приложенной нагрузки не набухает и не уплотняется и обладает наименьшей водопроницаемостью (см. табл 1)

Рассмотренная выше методика определения оптимального состава грунтовых смесей была использована для устройства противофильтрационных элементов в виде пробок из двух суглинисто-бентонитовых смесей оптимальной влажности и наибольшей плотности скелета на фильтрационных воронках Апаранского водохранилища (Армения).

Были приготовлены суглинисто-бентонитовые смеси №1 оптималь-

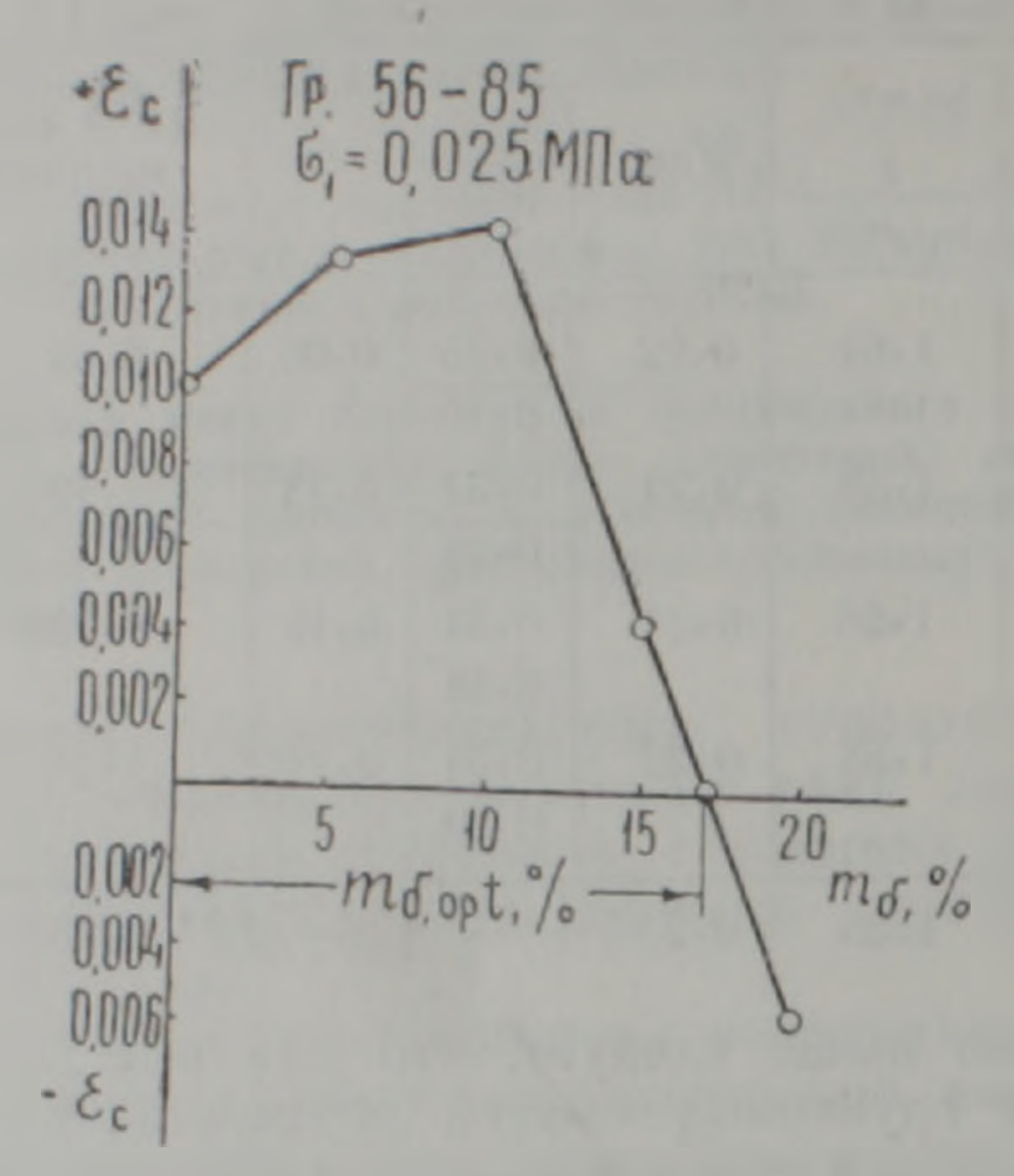


Рис. 1. График зависимости товых смесей 56 85 оптимальной влажности жорг и наибольшей плотности размачивании под действием = 0.025 МПа. + — деформация уплотиения; — деформация набухания то при оптимальное количество бентонита в грунтовой смеси в % по массе.

бентонитовая пудра Саригюхского месторождения [3] и суглинок, отобранный из карьера №1 (табл. 2). Образцы смесей с различным количеством бентонита были загружены давлениями  $p_1 = \sigma_1 = 0.025 \, M \, \Pi a$ , под действием предполагаемой пригрузки от защитного слоя и замочены восходящим потоком воды в компрессионных приборах M-2[2] через четыре часа после загружения.

Таблица 2

Количес во бенго-						
нита в смеси, %	W Op!	SO L	W'P	JP	z cm³	S.C.M.
	Γ	рунговые	счеси М	1		
()	0.25	0.355	0.208	0.147	_	
8	0.311	0.443	0.257	0.186	1.74	1.34
15	0.30	0.449	0,268	0.221	1.75	1.35
20	0.30	0,500	0,197	0.203	1.74	1,34
		Груптовы	е смеси 🛪	<b>2</b>		
0	0.27	0,350	0.220	0.130	_	
8	0.29	0.422	0.240	0,182	1.66	1 - 28
15	0.30	0.472	0.255	0.217	1.60	1,23
20	0,80	0.495	0,267	0.288	1,60	1.23

По изложенному выше методу построена кривая зависимости з, -- п и определено оптимальное количество бентонита и = 17% в грунтовой смеси (рис. 2). По тому же методу определено оптимальное количество бентонита в суглинисто-бентонитовой смеси № 2 (табл. 2):  $m_{6,opt} = 20 \%$  по массе.

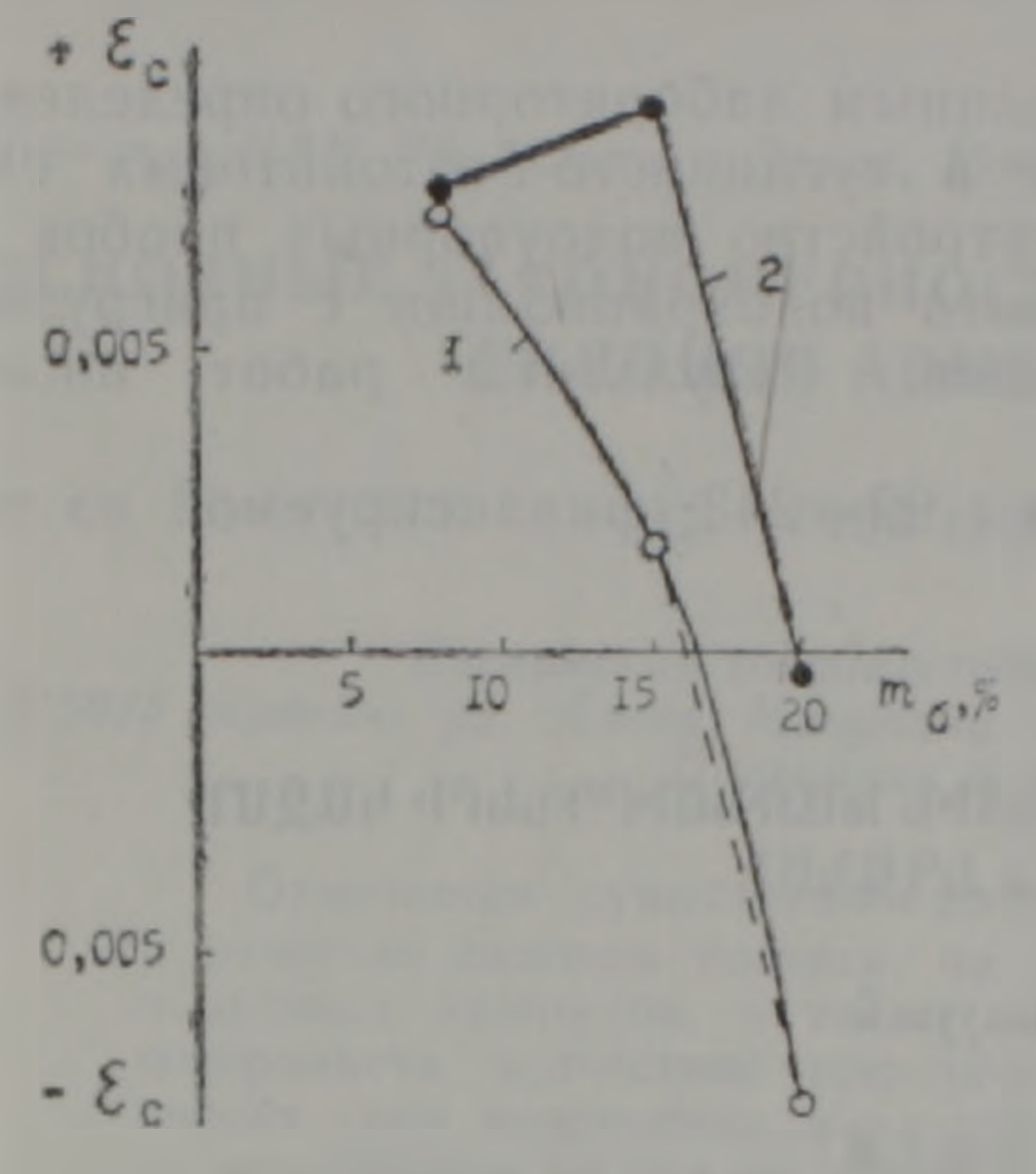


Рис. 2. Графики зависимости в то грун товых смесен № 1(1) и № 2(2) опти-. мальной влажности шом напбольне плотности Апаранского во юхранилища при замачивании под пагрузкой 51  $=0.025 M\Pi a. + \varepsilon c$  — деформация уплотнения: - за деформация набухания.

Осуществлено определение фильтрационных свойств суглинка и суглинисто-бентонитовой смеси № 2 оптимальной влажности  $w_{opt}$ н наибольшей плотности опак с оптимальным содержанием бентонита  $m_{6,opt} = 20\%$  по массе и давлений свободного набухания (см. табл. 3). Опыты выполнены как на малых (М-2), так и на больших (М-3) компрессионно-фильтрационных приборых [2].

Таблица 3 Данные о свойствах испытанных образцов и давлении свободного набухания смеси № 2

Количество бенго-			Размеры , h=20.и.и	Приборы M3 Размеры об- разцов d= 210 мм, h 60 мм		
нита в смеси, в %	wopt	Pmax 2 c.m <sup>3</sup>	TSW, O MITA	Wop:	pmax, 2 cm <sup>3</sup>	эхж.0, МПа
0 20	0.319	1.63	0.022	0.319	1,61	0.0212

Как видно из табл. 3, давления свободного набухания образцов практически равны давлению от предполагаемой пригрузки от защитного слоя, под действием которого определена величина m<sub>6,opt</sub>-

Условия испытания и результаты определения **Фильтрационных** свойств образцов суглинка и суглинисто-бентонитовой смеси №2 при различных значениях градиента напора і приведены в таблице 4.

Количество бенго-	ьтаты определения фильтрационных свойств  Приборы M-2  Приборы М-3					
инта в %	1	K, C.W C	2	K, CM/C		
0 20	19	0.484 - 10-7	5.22 5.28	9.3 · 10 - 7		

Таблица 4

Опыты показывают, что оптимальное количество бентонита в супесчано-бентових и суглинисто-бентонитовых смесях обычно подат я в пределах 15-25 % по массе. Учитывая, что в указанных пределах зависимость в и практически является линейной, то для определения только двух смесей оптимальной влажности и наибольшей плотности, содержащие 15 и 20 (25) % бентонита по массе.

В заключение отметим, что по данным лаборагорного определения оптимального количества бентонита в суглинисто-бентонитовых смесях (табл. 3) было осуществлено устройство водоупорных пробок на фильтрационных воронках Апаранского водохранилиша с пригрузкой поя из крупнообломочных материалов. Результаты работ вполне

удовлетворительны.

Работа выполнена в рамках темы 92-243, финансируемой из госбюджета Республики Армения.

### ՀԱԿԱՖԻԼՏՐԱՑԻՈՆ ԳԵՏՆԱՀՈՂԱՅԻՆ ԽԱՌՆՈՒՐԴՆԵՐԻ ԿԱԶՄԻ ԸՆՏՐՈՒԹՅԱՆ ԵՂԱՆԱԿ

Ս. Ռ. Մեսչյան

### Udhnhnid

Շարադրված է տեղական ենթակավերից, Ինթաավազներից և բենտոնիտային փորուց օպտիմայ խոնավության, առավելադույն խտության և տվյալ աղատ ուոշելու, ձևշումի գետևահողային խառնուրդների կազմի որոշման եղանակը, որոնք օգտագործվում են հիդրոտեխնիկական կառույցների հակաֆիլտրացիոն աւարբերի կառուցման համար։

#### A METHOD FOR PROPORTIONING OF ANTISEEPAGE SOIL MIXTURES COMPOSITIONS

#### S. R. Meschian

#### Abstract

The present paper describes a method for determination of an optimum composition of mixtures made of local loamy sands, loams and bentonite powder, their optimum humidity and maximum density with preset values of free swelling pressures, designed for construction of antiseepage elements of hydraulic engineering structures.

#### JHTEPATNPA

I Джрбашян Э. Т., Алавердян Р. А., Лалазаров Б. X., Отарян Г. С. К изучению бентонитовых глин для применения в противофильтрационных целях—В ки.: вопросы мелиорации и водного хозяйства Армянской ССР 1985. Вып. XI. Ереван c 115 125

2 Месчян. С. Р. Экспериментальная реология глинистых грунтов. М.: Недра, 1985 342 c.

3 Месчян С Р., Петросян Т. Л. Определение оптимального состава и фильтрационных своиств грунтовых смесей-Изв. АН АрмССР (серия ТН), 1987, том 40, 193, c. 33 - 37.

1 Месчян С. Р. Реологические процессы в глинистых грунтах. Ереван: Айастан, 1992. 395 c.

66

5. Противофильтрационняя одежда ирригационных каналов (перевод с англ

Мальциной).: Колос, 1965. 158 с.

6 Смолина Л. Б., Кутумова О. Ф., Бейнисович В. С. Антифильтрационные экраны из бентонитовых глин, лессовых грунтов и углещелочного реагента-Вопросы гидротехники. Вып. 18. Ташкент: Изд. АН УзССР, 1964, с. 105-114.

7. Sima N., Harsulescu A. The use of bentonitesfor sealing dams. V Bulletin of the Inter-

national association of Engineering geology, 1979, No 20,,-pp 222-226

Известия НАН РА, Науки о Земле, 1996, XLIX, № 1-3, 67-73

# ОСНОВНЫЕ ЗАКОНОМЕРНОСТИ ФОРМИРОВАНИЯ И РАЗВИТИЯ СКЛОНОВ АРМЯНСКОГО НАГОРЬЯ

1996 г. В. Р. Бойнагрян

Ереванский государственный университет, Армения 375025 Ереван, ул. Алека Манукяна І, географический ф-т, Республики Армения Поступила в редакцию 12, 12, 95.

Отмечается существенное воздействие тектоники на формирование, строение н развитие склонов нагорья, на их внешний облик, крутизну, интенсивность склоновых процессов, а также на выравнивание вершинисй водораздельной поверхности вследствие шпротного растяжения горных сооружении Климат вносит свои коррективы в развитие склонов нагорья, но в целом по значимости воздействия на них он уступает тектонике.

В геолого-геоморфологической изученности Армянского нагорья существенным пробелом до самого последнего времени оставались вопросы формирования, строения и развития склонов Наши исследо вания позволили в какой-то мере восполнить этот пробел и выявить основные закономерности, свойственные склонам Армянского нагорья, которые развиваются в условиях тектонической активности региона и на фоне относительной сухости климата.

Рассмотрим эти закономерности, которые, на наш взгляд, характерны не только для склонов Армянского нагорья, но и для склонов аналогичных в тектоническом и климатическом отношении областей, например, гаких, как Малоазнатское. Пранское, Тибетское и др. на-

горья.

І. На Армянском нагорье близко соседствуют вулканические, тектонические, экзогенные и техногенные формы рельефа с соответствующими склонами, каждый из которых имеет свои морфологические разновидности и особенности формирования, строения и развития.

Следует отметить, что большинство склонов нагорья относительпо молодые -плиоцен-чегвертичного, а в ряде случаев- и голоценового возраста (техногенные склоны имеют самый молодой возраст-современный). Все они сформировались здесь за разный промежуток времени--от нескольких месяцев, недель, дней, часов и даже минут (техпотенные, часть экзогенных, вулканических, сейсмогенные) до сотен и

пысяч лет (тектопические, экзогенные, вулканические).

На их строение и развитие воздействуют не только общие закономерности, свойственные вообще для любых склонов, но и местные особенности, связанные с тектоникой и климатом региона. Для каждого же конкретного склона немаловажное значение имеют его высотное положение, состав пород, их залегание, наличие или отсутствие промежуточного базиса денудации и г. п. На современном этапе развития склонов нагорья и особенно в последние десятилетия существенное воздействие на них оказывает деятельность человека, нередко вызы5. Противофильтрационняя одежда ирригационных каналов (перевод с англ

Мальциной).: Колос, 1965. 158 с.

6 Смолина Л. Б., Кутумова О. Ф., Бейнисович В. С. Антифильтрационные экраны из бентонитовых глин, лессовых грунтов и углещелочного реагента-Вопросы гидротехники. Вып. 18. Ташкент: Изд. АН УзССР, 1964, с. 105-114.

7. Sima N., Harsulescu A. The use of bentonitesfor sealing dams. V Bulletin of the Inter-

national association of Engineering geology, 1979, No 20,,-pp 222-226

Известия НАН РА, Науки о Земле, 1996, XLIX, № 1-3, 67-73

# ОСНОВНЫЕ ЗАКОНОМЕРНОСТИ ФОРМИРОВАНИЯ И РАЗВИТИЯ СКЛОНОВ АРМЯНСКОГО НАГОРЬЯ

1996 г. В. Р. Бойнагрян

Ереванский государственный университет, Армения 375025 Ереван, ул. Алека Манукяна І, географический ф-т, Республики Армения Поступила в редакцию 12, 12, 95.

Отмечается существенное воздействие тектоники на формирование, строение н развитие склонов нагорья, на их внешний облик, крутизну, интенсивность склоновых процессов, а также на выравнивание вершинисй водораздельной поверхности вследствие шпротного растяжения горных сооружении Климат вносит свои коррективы в развитие склонов нагорья, но в целом по значимости воздействия на них он уступает тектонике.

В геолого-геоморфологической изученности Армянского нагорья существенным пробелом до самого последнего времени оставались вопросы формирования, строения и развития склонов Наши исследо вания позволили в какой-то мере восполнить этот пробел и выявить основные закономерности, свойственные склонам Армянского нагорья, которые развиваются в условиях тектонической активности региона и на фоне относительной сухости климата.

Рассмотрим эти закономерности, которые, на наш взгляд, характерны не только для склонов Армянского нагорья, но и для склонов аналогичных в тектоническом и климатическом отношении областей, например, гаких, как Малоазнатское. Пранское, Тибетское и др. на-

горья.

І. На Армянском нагорье близко соседствуют вулканические, тектонические, экзогенные и техногенные формы рельефа с соответствующими склонами, каждый из которых имеет свои морфологические разновидности и особенности формирования, строения и развития.

Следует отметить, что большинство склонов нагорья относительпо молодые -плиоцен-чегвертичного, а в ряде случаев- и голоценового возраста (техногенные склоны имеют самый молодой возраст-современный). Все они сформировались здесь за разный промежуток времени--от нескольких месяцев, недель, дней, часов и даже минут (техпотенные, часть экзогенных, вулканических, сейсмогенные) до сотен и

пысяч лет (тектопические, экзогенные, вулканические).

На их строение и развитие воздействуют не только общие закономерности, свойственные вообще для любых склонов, но и местные особенности, связанные с тектоникой и климатом региона. Для каждого же конкретного склона немаловажное значение имеют его высотное положение, состав пород, их залегание, наличие или отсутствие промежуточного базиса денудации и г. п. На современном этапе развития склонов нагорья и особенно в последние десятилетия существенное воздействие на них оказывает деятельность человека, нередко вызывающая катастрофические явления из-за непродуманных действий (перегрузка склонов, подрезка, чрезмерный полив, уничтожение дер-

инны и т. п).

11. На Армянском нагорье почти повсюду отмечается небольшая мощность склонового рыхлообломочного материала (обычно 0,3—0,5 м, редко до 1 м или больше), что связано не только с молодостью склонов (и, отсюда, невыработанностью склонового чехла), но также и со значительным удалением выветрелого материала со склонов в периоды сильных ливневых дождей (особенно сопровождающихся градом) и бурного снеготаяния весной.

В разрезе склоновых образовании Армянского нагорья выделяются в основном покровный (плотные суглинки или супеси с вертикальной столбчатой структурой и небольшим количеством каменного материала) и морфодинамический (щебеночно-глыбовая толща с дресвя-

но- супесчано-суглинистым заполнителем) горизонты

Процесс формирвания склоновой толщи идет здесь довольно медленно из-за в целом относительной сухости климата. На одновозрастных и литологически сходных склонах во влажных районах склоновая толща формируется быстрее и имеет большую мощность.

П. На формирование и развитие склонов Армянского нагорья большое воздействие оказывает неотектонический режим региона. Тектоника не голько создала так называемые тектонические склоны, но и предопределила их внешний облик, крутизну, направленность развития. Она влияет и на склоны иного генезиса: вулканические, экзогенные, техногенные через сотрясения рыхлообломочного их покрова во время землетрясений и активизацию всех склоновых процессов. Меняется и внешний облик таких склонов, особенно после сильных землетрясений, когда появляются разрывы, трещины, сходят обвалы, оползни и т. п.

Новейшие тектонические движения раздробили морфоструктуры Армянского нагорья на отдельные мегаблоки и блоки разных размеров, которые подвержены вертикальным дифференцированным смеще-

ниям стносительно друг друга.

На участках интенсивного воздымания блоков водотоки производят активную глубинную эрозию, возрастают контрасты высот и крутизна склонов, склоны приобретают выпуклую форму, смещение рыхлообломочного материала со склонов усиливается и, если он удаляется эролирующим водотоком, то склоны будут отступать параллельно самим себе. Такое развитие характерно для северных склонов Главного Армянского Тавра у котловин Малатья и Мушской, котловины оз. Ващ северных склонов Южного Армянского Тавра у Чатской и Эрзинджанской интенсивно прогибающихся котловии и вдоль активно эродирующей р. Евфрат; южных склонов Восточно-Понтийских гор, вдоль которых проходит Северо-Апатолийский разлом; обоих склонов Чорохского хребта, который интенсивно вздымается по ограничивающим его с севера и юга разломам; Месхетского, южных склонов Триалетского, Арегунийского, Памбакского, Цахкуняцкого и др. хребтов нагорья.

У опускающихся, менее активных или стабильных блоков формируются вогнутые склоны, что связано с уменьшением контраста высот, слабой эродирующей способностью дренирующих эти блоки рек, накоплением сносимого со склонов рыхлообломочного материала у их подножий и выполаживанием склона. Таково, например, воздействие тектоники на форму большей части склонов Северного Армянского Гавра, которое проявляется преобладанием вогнутых склонов, что объясняется отставанием прогибания Сивас-Хафикской и Халтоарич-

ской котловин или менее активным врезанием дренирующих соответ-

ствующие склоны рек.

Ступенчатая форма характерна для северных склонов Восточно-Понтийских гор, южных склонов Главного Армянского и Южного Армянского Тавров, северных склонов Триалетского хребта, для разных участков Северного Армянского Тавра, почти всех склонов Джудидага, Карадага, Мровдага, Миапорского, Башкалинского и др. хребтов нагорья.

Неравномерные поднятия, активность блоков не дают формироваться выпукло-вогнутому профилю, к которому, как к профилю рав-

новесия, должны стремиться все склоны.

Ступенчатость характерна и для склонов долин большинства крупных рек и межгорных котловин нагорья. Эти ступени представляют собой остатки днищ разновозрастных долин, выработанных реками. За плиоцен-четвертичное время повсеместно на Армянском нагорье шло сокращение ширины долин и межгорных котловин за счет активного разрастания хребтов в процессе воздымания последних. В процесс воздымания последовательно вовлекались и периферийные участки впадин, происходило возрастание контраста высот и крутизны склонов, т. е. развитие склонов долин крупных рек нагорья шло от пологого к крутому профилю.

Склоны крупных речных долин Армянского нагорья отражают в своем внешнем облике три основных этапа воздымания горных сооружений, что проявляется тремя крупными региональными врезами и соответствующими сужениями долин и возрастанием крутизны их

склонов.

Тектоника не позволяет склонам Армянского нагорья развиваться по законам, присущим им в спокойных условиях за счет саморазвития, не дает формироваться у их подножий обширным педиментам, эти педименты в процессе воздымания блоков оказываются на новых абсолютных отметках и создают отдельные ступени на склонах морфоструктур нагорья. Тектоника создала также асимметричность первичных склонов большинства горных сооружений Армянско нагорья, которая сказывается на их дальнейшем развитии.

Тектоническая активность Армянского нагорья проявляется в высокой сейсмичности региона, что стимулирует все склоновые процессы: обвалы, осыпи, оползни, смещение каменных россыпей (чингиловместное название курумов), лавины, солифлюкцию и дефлюкцию, поддерживает крутизну склонов. Сотрясая склоны, землетрясения лелают менее связанным выветрелый материал этих склонов, облегчают его снос при сильных ливнях и бурном снеготаянии и способствуют.

таким образом, формированию селей-

Тектоника влияет также на формирование вершинных поверхностей выравнивания путем растяжения горных хребтов и проседания отдельных их участков. Анализ продольных геоморфологических профилей через основные морфоструктуры Армянского нагорья показывает, что ряд из них, имеющие сводовый и сводово-блоковый характер строения, испытывают растяжение в широтном направлении. Это отмечается четко для Южного Армянского Тавра, Триалетского, Чорохского. Мишудагского, Карадагского хребтов и менее четко для Восточно-Понтийских гор и других широтно ориентированных хребтов нагорья.

Широтное растяжение хребтов проявляется в проседании средних частей сводов или средних блоков по образующимся и хороше выраженным в рельефе разломам. Оно является закономерным явлением в горах Армянского нагорья и связано с общей тектонической «жизнью» этого региона, где меридиональное сжатие (столкновение Аравийской

н Евразнатской плит сжимает зажатую между инми Закавказскую микроплиту) периодически сменяется широтным растяжением [4], что и проявляется в проседании центральных частей сводовых и сводово-

блоковых морфоструктур.

На наш взгляд, такое проседание центральных частей морфоструктур может стать причиной выравнивания вершинной водораздельной поверхности. В таком случае допущение об экзогенно-эндогенном образовании поверхностей выравнивания в горах, связанное с активным эндогенным деструктивным режимом орогенов в зонах растяжения [5, 6], оправдывается в нашем регионе.

IV. Воздействие климата на склоны Армянского нагорья проявляется, прежде всего, характером выпадения осадков (преимущественно весной и частично осенью, а летом—в виде интенсивных ливней, сопревождающихся передко градом) и интенсивностью снеготаяния весной, а также разной увлажненностью склонов в зависимости от их

экспозиции.

Склоны южной экспозиции в условиях Армянского нагорья обычно довольно сухие, на них растительный покров отсутствует или оп весьма скудный, горные породы обнажены и летом сильно прогреваются дием, а ночью остывают (собенно в высокогорье), поэтому они довольно интенсивно выветриваются и склон покрывается рыхлым чехлом, состоящим из обломков разной крупности в зависимости от типа и зериистости выветривающихся пород. Этот материал не скреплен друг с другом, довольно неустойчив на склонах и легко удаляется при сильных ливнях.

Удаление выветрелого материала при ливневых дождях (а весной и галыми снеговыми водами) со склонов южной экспозиции позволяет им отступать параллельно самим себе, а у их подножий—формироваться педиментам. Крутые склоны южной экспозиции при этом отсту-

нают более интенсивно, чем пологие.

Склоны северной экспозиции в условиях Армянского нагорья обычно увлажнены больше, залесены или задернованы, к ним приурочено большинство крупных оползней, более активны солифлюкция и дефлюкция. Крутые склоны северной экспозиции более сухие (вода с них стекает быстрее и не инфильтруется) и довольно устойчивые. В их развитие свои коррективы вносят только оползневые процессы и подмыв основания склона рекой (в последнем случае наряду с образованием оползней это может вызвать также обрушение или осыпание горных пород). Пологие склоны северной экспозиции увлажнены лучше, злесь активнее оползневые процессы, солифлюкция, дефлюкция, и такие склоны развиваются более нитенсивно и еще больше выполаживаются, увеличивая первичную асимметрию тектонических и других (если они асимметричны по той или иной причине) склонов.

Таким образом, развитие склонов северной экспозиции в условиях относительно сухого климата Армянского нагорья идет или путем выполаживания (более активное смещение рыхлообломочного материала из-за лучшей увлажиенности и накопление его у подножия склона), или путем параллельного отступания (особенно на оползиевых участках—субпараллельное отступание, если у подножия склона проходит эродирующий водоток). Для склонов южной экспозиции более характерно параллельное отступание с формированием у их под-

ножий педимента

Климат Армянского нагорья вносит свои коррективы в развитие склонов, но в целом по значимости воздействия на них он уступает тектонике. Его влияние более ощутимо при постоянном базисе денудащий и стабильной тектонической обстановке, когда тектоника не нару-

шает естественного хода саморазвития склона в условиях данного климатического пояса.

V. В смещении рыхлообломочного склонового материала на Армянском нагорые существенное значение имеют сотрясения склонов при землетрясениях, относительно сухой климат, водопроницаемость широко распространенных здесь вулканогенных пород, а также смыв рыхлого материала талыми и дождевыми водами (а местами и выдувание мелких частиц ветром). Это смещение осуществляется различными склоновыми процессами, в развитии и распространении которых отмечается тесная связь с высотной поясностью.

В высокогорном поясе наибольшее значение имеют солифлюкция и смещение каменных россыпей (чингилов). В среднегорном поясе ведущее место среди склоновых процессов занимает дефлюкция, к торая представляет собой здесь главный процесс на в ех задернованных и залесенных склонах и поставляет основную массу обломочного ма-

териала в русла рек.

Особое место среди склоновых процессов Армянского нагорья занимают оползни, формирование которых здесь обусловлено геологогеоморфологическими условиями нагорья, а также его развитием в плиоцен-четвертичное время. Здесь на склонах широко распространены гидротермально измененные (нередко до глинистого состояния), сильно трещиноватые и раздробленные породы, различные глины, суглинки, гипсоносные породы и др., которые при выветривании легко оглиниваются и способствуют оползневым смещениям. Им же способствуют морфология склонов, наличие многочисленных разломов, тектонические подвижки отдельных блоков, высокая сейсмичность, а также хозяйственная деятельность человека-

Среди оползневых проявлений на Армянском нагорые выделяются все их разновидности по размерам. Основная масса (более 90%) оползней сосредоточена в интервале высот 2000—1500 и и ниже. Лишь отдельные оползневые проявления отмечаются на высотах 2200—2400 и

и еще реже-2500-2600 м и более

Как правило, большинство крупных оползней приурочено к зонам разломов и повышенной трещиноватости горных пород. Относительно меньшие по размерам и современные оползни обычно осложияют концевые части почти всех древних оползней, а также развиваются самостоятельно под воздействием природных или антропотенных факторов

В будущем развитие и интенсивность склоновых процессов на Армянском нагорые будет зависеть в основном от гидрометеорологических факторов (в экстремально дождливые годы может возрасти интенсивность обвально-осыпных, оползневых, дефлюкционных и делювиальных процессов; в годы с сильным промерзанием грунтов усилится солифлюкция), сейсмического воздействия (особенно сильных землетрясений) и деятельности человека. Воздействие человека на активизацию склоновых процессов (независимо от природных ритмов) может возрасти в связи с дальнейшим хозяйственным и инженерным освоением горных склонов, если не соблюдать мер предосторожности при проведении инженерных и сельскохозяйственных работ.

VI. Изучение склонов Армянского нагорья, их формирования и развития, показало, что проблема развития склонов чрезвычайно сложная, нет и не может быть единого пути их развития, на разных этапах

один путь заменяется другим.

Параллельное отступание, признаваемое [7] основным путем развития склона, а некоторыми исследователями рассматриваемое как довольно редкий процесс [3] или связанное исключительно со структурно-литологическим фактором—наличием моноклинальных и пластурно-литологическим фактором—наличием моноклинальных и пластурно-

товых структур [1,8], на самом деле все же отмечается сравнительно часто в горах Армянского нагорья на тех участках, где спосимый со склонов рыхлый материал удаляется от подножия или эродирующим водотоком, или бурно стекающими со склона водами (зарождающим-ся селевым потоком), или этот материал вовлекается в интенсивное прогибание дниш межгорных котловии и не накапливается у подножия склона,

Одновременно в тех же горных районах встречается и выполаживание склопа с его понижением «сверху» (по [2]), что наиболее характерно для участков с промежуточным базисом денудации (например, для склонов моренных холмов, вулканических конусов, опирающихся на горизонтальные и субгоризонтальные поверхности) и в тех случаях, когда водоток не справляется с удалением сносимого со скло-

нов рыхлого материала от их подножий.

Если параллельное отступание характерно на ранних стадиях развития, например, вулканических склонов (краев лавовых покровов и потоков со столбчатой отдельностью лав, для крутых склонов экструзивных массивов и некков), то впоследствие оно заменяется выполаживанием склона и его снижением «сверху», когда у подножия таких склонов накопится достаточно много крупноглыбового материала, с

которым не будет «справляться» водоток.

Следует отметить, что в гектонически активных горных регнопах, подобных Армянскому нагорью, невозможно не только формирование пенеплена по В. Дэвису, но и обширного педимента, а затем и педиплена по В. Пенку или педипленизация по Л. Кингу. Все эти конечные разновидности процесса развития склона возможны лишь при отсутствии тектонических движений и постоянном базисе денудации. Но и в этом случае, очевидно, развитие склона будет происходить не какимнибудь одним путем, а постепенной заменой одного пути другим По всей вероятности, параллельное отступание склона с выработкой педимента и педиплена по схеме Л. Кинга должно заменяться выполаживанием по В. Дэвису. Такой путь представляется нам более приемлемым в природе.

# ՀԱՅԿԱԿԱՆ ԼԵՌՆԱՇԽԱՐՀԻ ԼԵՌՆԱԼԱՆՋԵՐԻ ՁԵՎԱՎՈՐՄԱՆ ԵՎ ԶԱՐԳԱՑՄԱՆ ՀԻՄՆԱԿԱՆ ՕՐԻՆԱՉԱՓՈՒԹՅՈՒՆՆԵՐԸ

Վ. Ռ. Բոյնագբյան

# Udhnhnid

արտաջին արտարին անաքի, թերության, լանջային պրոցեսների կառուցվածքի ձևավորման և ղարդացման վրա տեկտոնական պրոցեսների էական ներգործությունը Նրանց արտաթին տեսքի, թերության, լանջային պրոցեսների ինտենսիվության,

զագաթային ջրբաժանային մակերևույթների Տարթեցման վրա։

յությունից և այլն։

Հանջերի դարգացման վրա իր ներդործությունն է ունենում նաև կլիման, սակայն ընդհանուր առմամբ այն դիջում է տեկտոնական պրոցեսներին։ Հայկական լեռնայանների լեռնայանջերի դարգացումը ընթանում է ինչպես նրանց կուկան իր ցածրացման հետևանքով (ըստ Վ. Դեվիսի)։ Այն կախված է կոնկրետ այսնական հետևանքով (ըստ Վ. Դեվիսի)։ Այն կախված է կոնկրետ արևություններ վարգացումը այլն կախված է

ում, ինչպիսին Հայկական լեռնաշխարհն է, անհնար է ոչ միայն պենեպլենի

(ըստ Վ. Դիվիսի), այլև ընդարձակ պեդիմենտի, հտագայում նաև պեդեպլենի (րստ վ Պենկի) առաջացումը, կամ պեդիպլենիզացիան (ըստ Լ. Կինգի)։

### BASIC REGULARITIES IN FORMATION AND DEVELOPMENT OF THE ARMENIAN HIGHLAND SLOPES

### V. R. Boinagrian

#### Abstract

A substantial impact of tectonics on formation, structure and development of the highland slopes, their appearances, steepness, sloping process intensity, as well as smoothing of top watershed surface due to mountain structure latitudinal tension is revealed. The climate introduces its own corrections into the highland slope development but it is found to be subordinate to the tectonics on the whole, according to a significance of its impact on them.

The conclusion is made that in tectonically active mountainous areas. like Armenia, not only the formation of a peneplain according to V. Davis, but also the formation of an extensive piedmont and then a pediplain according to V. Penque, or the pediplanization according to L King, is im-

possible.

#### ЛИТЕРАТУРА

I Астахов В. В. Формирование и развитие склонов Северного Кавказа В ки Развитие склонов тектонически активных орогенных областен и методы их из чения. Ереван: Изд. ЕГУ, 1990. с. 16-17.

2. Дэвис В. М. Геоморфологические очерки. М.: НЛ, 1962. 455 с

3. Карташов И. П. Геоморфологическое равновесие в развитии склонов - Телисы

докл. к XXVII Междунар геол. конгрессу М. 1984 Т. I, с 371-372

4. Лилиенберг Д. А., Ященко В. Р Анализ геодезических и морфоструктурных дян ных рапона катастрофического землетрясения в Армении. - Геодезия и картография, 1989, № 10 с 28 29.

5. Никонова Р. И. Морфоструктурный подход к решению проблемы поверхностен выравнивания. В кн.: Основные проблемы теоретической геоморфологии Ново-

енбирск: Изд АН СССР, 1985, с. 107—109.

в Никонова Р. И. Проблема пенеплена в геоморфологии: Новый аспект М. Наука 1986. 136 c.

7. Пенк В. Морфологический анализ. М.: Географгиз, 1961 359 с.

Pain C. F. Scarp retreat and slope development near picton, New South Wales Australia - Catena, 1986, v. 13, № 2, p. 227-239.

# СЕЙСМИЧЕСКАЯ ТРЕЩИНОВАТОСТЬ И ВРЕМЕННЫЕ ВАРИАЦИИ НАПРЯЖЕННО-ДЕФОРМИРОВАННОГО СОСТОЯНИЯ ЗЕМНОЙ КОРЫ В ЦЕНТРАЛЬНОЙ ЧАСТИ АРМЯНСКОГО НАГОРЬЯ

### С 1996 г. А. Х. Баграмян

Институт геофизики и инженерной сейсмологии НАН РА 377515 г. Гюмри, ул. Ленинградян 5, Республика Армения Поступила в редакцию 24.05.91

На основе исследования механизмов и пространственно-временного распределения очагов землетрясений детально изучены тонкая структура трещиноватости земной коры, напряженно-деформированное состояние среды и изменення во времени быстрых сейсмотектонических процессов в земной коре в районе АрмАЭС.

Для изыскания предвестников землетрясений детально изучены тонкая структура трещиноватости земной коры, напряженно-деформированное состояние среды и изменения во времени быстрых сейсмо-тектонических процессов в земной коре в центральной части Армян-

ского нагорья.

Установлено существовани, определенной системы в трещиноватости земной коры Армянского нагорья по целому комплексу геологогеофизических данных, определен вид напряженно-деформированного состояния земной коры этого региона и обнаружены значимые временные изменения параметров напряженно-деформированного состояния и характер прорабатываемых в различное время структур трещиноватости. Можно считать установленным, что связанные в пространстве и времени линейные последовательности эпицентров землетрясений цепочки землетрясений—являются маркирующими элементами зон развития быстрых деформаций при протекании сейсмотектонического процесса, и наблюдаемые изменения во времени рисунка цепочек землетрясений отражают динамику этого процесса.

Армянская атомная электростанция расположена в Араратской долине РА, характеризующейся весьма высокой сейсмической активгостью, где произош то миожество сильных и разрущительных землетрясений [2]. Это обстоятельство требует проведение непрерывных 
инструментальных наблюдений над сильными и слабыми землетрясениями, изучение сгроения напряженно-деформированного состояния и 
условий сейсмичности, что будет способствовать выявлению предвестников землетрясений в районе ААЭС. Используя геолого-геофизические данные, а также результаты исследований на станциях «Земля», 
детально изучены строение земной коры и сейсмические условия рас-

сматриваемой территории [4, 5, 6, 12].

С целью детального изучения трещиноватости и напряженчо-деформированного состояния центральной части Армянского нагорья в районе исследования были организованы временные сейсмические станции, оборудованные короткопернодными сейсмографами с высокой

чувствительностью.

Анализ азимутальных гистограмм различных по своей физической природе линеаментов показал, что между сейсмической трешиноватостью, геолого-тектоническими линеаментами, выделяемыми при полевых и воздушных наблюдениях, и линейными эпозионными элементами

дневной поверхности существует определенная генетическая связь. природу которой мы предположительно видим в существовании трещиноватости земной коры [7, 8, 9, 10] Пространственное распределение этой трещиноватости обладает хорошо выраженной анизотропней. В земной коре Армянского нагорья наблюдается определенная система в ориентации ее трещиноватости. При этом определяющей является взанмно сопряженная ортогональная система близширотной и близмеридиональной трещиноватости.

В качестве «трещиноватости земной коры» мы рассмотрели: карту эрозионной сети, сетку разрывных геолого-тектонических нарушений. структуру линеаментов, выделяемых по аэрокосмическим спимкам. ориентацию плоскостей разрывов в очагах землетрясений, определяемую из решений механизмов очагов землегрясений, считывались азимуты всех спрямленных участков речных долин, водостоков, оврагов и балок.

На рис. 1, а, б, в, г приведены все цепочки, выделенные по годовым данным за период времени 1980—1983 гг. Наблюдается определенная система в ориентации цепочек: это преимущестсенно северо-запалпое-юго-восточное и северо-восточное-юго-западное направления, т.е.

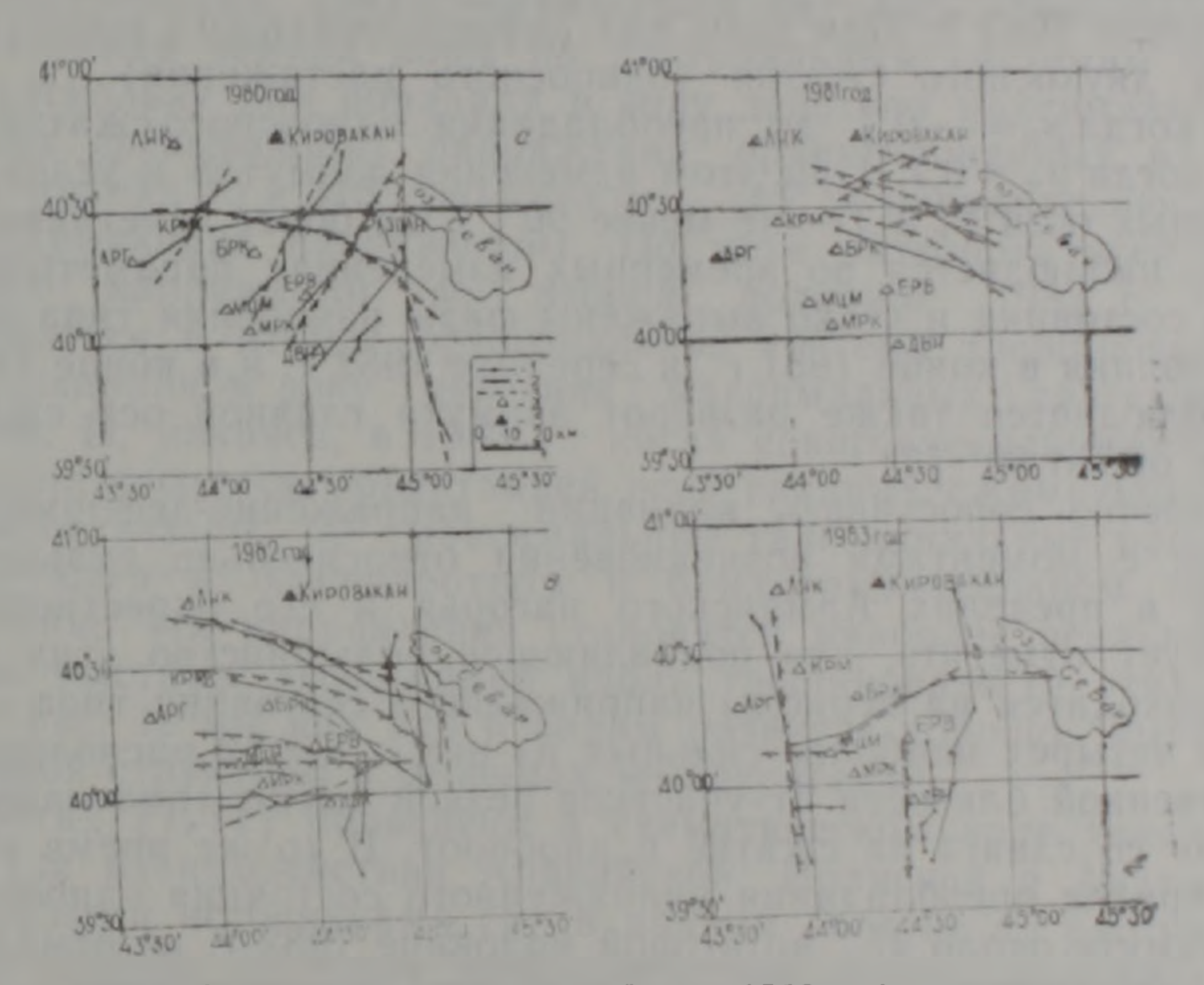


Рис. Га. Цепочки землетрясений за 1980г. І-цепочки землетрясений; 2-главнейшие трансрегиональные линевменты, 3-региональные и локальные линеаменты; 4 сейсмиче ки станции; 5-населенные пункты. б. Цепочки землетрясе ил за 1981 г.в. Цепочки землетрясений за 1982 г. г. Цепочки землетрясений за 1983 г.

диагональная система, и близширотное и близмеридиональное направления-ортогональная система, где рисунок цепочек землетрясений заметно меняется от года к году

Из рассмотренных выше аналогий следует ожидать, что цепочки землетрясений маркируют определенные ослабленные зоны в земной

коре Армянского нагорья.

Представляет определенный интерес рассмотрение возможных изменений во времени напряженно-деформированного состояния Этот аспект исследования приобретает очень важное значение в вопросах изучения возможностей прогноза сильных землетрясений. Анализ возможностей изучения временных вариаций напряженно-деформированного состояния мы провели на материале определений механизмов очагов слабых землетрясений за время с 1981 по сентябрь 1983 гг. Меманизмы очагов слабых землетрясений определялись по знакам первых вступлений продольных воли, зарегистрированных восемью временными и стационарными сейсмическими станциями. Определения проводились на ЭВМ СМ 4 в комплексной сейсмологической экспедиции Института Физики Земли АН СССР в Гарме по программе, разработанной А. А. Лукком и С. Л. Юнгой.

Результаты временных вариаций параметров напряженно-деформированного состояния указывают на временный ход величин таких параметров СТД (сейсмотектонической деформации) как коэффициент Лодде Надаи—µ, описывающий вид деформированного состояния, ориентации главных осей сжатия Р₁ и растяжения Т₁, задаваемых азимутов и углом наклочения (А, и з) Получены изменения во времени типа напряженного состояния, задаваемого величиной угла ω (угол вида напряженного состояния), и азимута А₂главной оси напряжения

сжатия Р.

Наиболее резкие изменения в характере сейсмотектонического деформирования произошли в конце 1981—начале 1982 гг., затем во второй половине 1982 г. При этом вид деформированного состояния изменился от двухосного сжатия (одноосного растяжения) в середине 1982 г., когда  $\mu_{\rm M} = -0.7$ , до преобладания одноосного сжатия в конце 1982 г., когда  $\mu_{\rm M} = 0.7$ . При этом изменения азимутов и углов наклонения главных осей  $P_{\rm c}$  и  $T_{\rm c}$ —не менее 90°. Еще более отчетливая закономерность наблюдается во временных изменениях параметров напряженного состояния и четко выражены фазы изменения типа напряженного состояния в конце 1981 г., в середине 1982 г. и в конце 1982 г. При этом наблюдается также разворот азимута главной оси сжатия  $P_{\rm c}$  на величину около 90° [3].

Интересно сопоставить вариации напряженно-деформированного состояния с моментами возникновения относительно сильных землетрясений в пределах Армянского нагорья и его окрестностей.

Следует отметить, что подавляющее большинство этих землетрясений приходится на периоды папряженного состояния типа сдвига, а моменты четырех наиболее сильных из пих с К 12 расположены в пепосредственной близости от участков резкой смены типа напряженного состояния со сдвига на сжатие и наоборот. В то же время во временном интервале преобладания напряженного состояния одноосного сжатия в азимуте около 45°, во второй половине 1982 г. не отмечено практически ни одного отнесительно сильного землетрясения. Создается впечатление, что в этот момент времени происходит накопление упругой энергии в деформируемом материале земной коры, которая затем разряжается в процессе сдвиговых перемещений блоков земной коры на стадии слвигового напряженного состояния.

Цепочки землетрясений выступают в качестве маркирующих элементов сейсмотектонического процесса, указывающих на линейные структуры в земной коре, в пределах которых в данный момент развиваются быстрые теформации Иными словами, цепочки землетрясений могут выступать в качестве индикаторов динамики сейсмотектонического процесса, чутко реагируя на временные вариации напряженно деформированноге состояния в земной коре изучаемого региона

Так, на рис. 1а наиболее ярко проработано цепочками землетрясений в 1980 г. диагональное северо-восточное-юго-западное простирание трешиноватости земной коры и сопряженная с ней система в виде одной протяженной цепочки землетрясений. В то же время намечена и ортогональная система в виде двух сопряженных цепочек землетрясений В следующем 1981 г., согласно рис. 16 мы видим, что от ярко выраженной днагональной структуры цепочек осталась лишь одна, но зато очень ярко проработано сопряженное северо-западное-юго-западное направление в сгруктуре днагональной трещиноватости. В следующем 1982 г. (рис. 1в) вместе с продолжающейся проработкой днагонального северо-западного-юго-восточного направления начинается проработка ортогональной системы трещиноватости. Близширотные и близмериди нальные направления в рисунке цепочек землетрясений становятся преобладающими И, наконец, на рис. 1г мы видим яркое преобладание в последующем 1983 г. именно этих двух направлений

г орнентации цепочек землетрясений.

Одновременная проработка цепочками двух систем трещиноватости земной коры может находить удовлетворительное объясление в наблюдаемых изменениях в ориентации осей главных сжимающих напряжений в течение второй половины 1982 г. от близмеридионального до диагонального в азимуте около 45°. В первом случае, когда ось главных сжимающих напряжений была орнентирована в близмеридиональном направлении, предпочтительными являлись сдвиговые деформации материала земной коры по диагональным системам трешиноватости, поскольку они попадали в зону действия максимальных тангенциальных срезывающих напряжений, орнентированных в данном случає в азимутах 45 и 315° (под углом 45° к направлению действия главных сжимающих напряжений). По мере разворота эсей главных сжимающих напряжений во второй половине 1982 г. начинает прорабатываться и вгорая ортогональная система трещиноватости по мере ее попадания в зону действия максимальных тангенциальных напряжений. И, наконец, в 1983 г., когда сдвиговое напряженное сосгляние характеризуется ориентацией осей главных сжимающих напряжений в азимутах 20 60°, максимальные тангенциальные напряжения концентрируются в близширотном и близмеридиональном направле ниях и именно эти направления становятся наиболее реальными для реализации быстрых деформаций вдоль трещиноватости этих простираний. На рис. 1г мы как раз и видим развитие хорошо выраженной орт гональной структуры в цепочках землетрясений.

В работах [1,11] приведена в схематическом виде такая реконструкция для взаимодействия Аравийской, Иранской и Анатолийской плит. Основными источниками сил в данном регионе по рассматриваемой реконструкции является взаимодействие перемещающейся в северном направлении Аравийской плиты и неподвижной, выступающей в качестве упора Европейской плиты Развивающиеся в зоне их коллизии на Кавказе интенсивные сжимающие напряжения и являются, по широко распространенному мнению, причиной кавказского орогенеза в этой части Альпийского геосинклинального пояса. Вместе с тем на фронте перемещающейся к северу Аравийской плиты происходит вығалывание двух малых литосферных плит—Иранской и Анатолийской. При этом Анатолийская плита перемещается в западном направлении, закрывая северо-восточном направлении, наезжая в своей

срединной части на Каспийское море.

В таких условиях действия сил литосфера Малого Кавказа может подвергаться попеременно воздействию то близмеридиональных, то сжимающих напряжений под углом 45° к этим направлениям. Указанные изменения в ориентации сжимающих напряжений могут быть обусловлены условиями взаимодействия Аравийской и Иранской литосферных плит в данный отрезок времени.

Попробуем приложить эти представления к обоснованию реаль-

мярованного состояния изучаемого региона.

Во-первых, само существование описанной выше системы трещиноватости в земной коре Малого Кавказа удовлетворительно укладывается в схему сил, действующих в зоне коллизии Аравийской и Европейской литосферных плит. Максимальные тангенциальные напряжения в рассматриваемом регионе должны действовать в широтном и меридиональном направлениях за счет воздействия Аравийской плиты и под 45° к ним за счет воздействия Иранской плиты.

Во-вторых, ориентация главной оси сжимающих напряжений, оцененная по многолетним наблюдениям за механизмами очагов относительно сильных землетрясений Малого Кавказа, находится в удовлетворительном согласии с направлением движения к северу Аравийской плиты По-видимому, в целом для Малого Кавказа, определяющими являются близмеридиональные горизонтальные сжимающие напря-

ження, обусловленные давленнем Аравийской плиты.

В-третьих, отмеченный разворот оси максимальных сжимающих папряжений на 45 от близмеридионального паправления в течение 1982 - 1983 гг. вполне может быть увязан с направлением перемещения Пранской плиты в азимуте 45. При этом, несомненио, должна возрастать поль бли горизонтального одноосного сжатия или взбросового тпла напряжений в литосфере Малого Кавказа, взамен преобладания сдвиговых напряжений, поскольку направление сжатия в данном случае начинает действовать нормально к структурам «кавказского простирания». Общее же преобладание сдвигового типа напряжений в литосфере Малого Кавказа можно пытаться объяснить способностью к проскальзыванию материала литосферы по разрывным нарушениям вдоль сгруктур «кавказского простирання», когда преобладает близмериднопальное сжатие за счет движения Аравийской плиты. Конкурирующее влияние в преобладании сжимающих напряжений за счет Аравии кой или Иранской плит и определяет, по-видимому, динамику вития сейсмотектонического процесса в литосфере (земной коре) Малого Кавказа, Отражением этой динамики и можно считать наблюаемые нами вариации во времени рисунка структуры цепочек землетрясений и вида напряженно-деформированного состояния.

ՀԱՑԿԱԿԱՆ ԼԵՌՆԱՇԽԱՐՀԻ ԿԵՆՏՐՈՆԱԿԱՆ ՄԱՍԻ ԵՐԿՐԱԿԵՂԵՎԻ ՍԵՑՍՄԻԿ ՃԵՂՔՎԱԾՔԱՎՈՐՈՒՄԸ ԵՎ ԸՍՏ ԺԱՄԱՆԱԿԻ ԼԱՐՎԱԾԱ-ԴԵՖՈՐՄԱՑԻՍՅԻ ՎԻՃԱԿԻ ՓՈՓՈԽՈՒԹՅՈՒՆԸ

Ա. Խ. Բաղբանյան

Udhnhnid

Երկրաշարժերի կանխագուշակման նախանշանները հայտնաբերելու նրատատակով, երկրաբանական և երկրաֆիզիկական լրիվ կոմպլեքս տվյալներով, սանրամասնորեն ուսումնասիրված է հայկական լեռնաշխար, ի կենարոնական մասի երկրակեղևի ռեղքվածքավոր կառուցվածքը, ըստ ժամանակի սեյսան և արտնական արաղ պրոցեսները և միջավայրի լարվածա-դեֆորմացիային ասարածության դծային աջորդականության կապը, հանդիսանում է դրոշմող էլեմենա։ Սեյսաատեկաոնիկ պրոցեսների ընթացրում տվյալ շրջանի դենա ձևն և արագ դեֆորմացիաների դարդացմամբ և արան ժամանակի հույլ երկրաշարժերի չունացիաների դարդացմամբ և արան ժամանակի հույլ երկրաշարժերի չութայի տեսքի փոփոխմամբ։

# SEISMIC FRACTURING AND TIME VARIATIONS OF STRESS-DEFORMED STATE OF THE EARTH'S CRUST IN THE CENTRAL AREA OF THE ARMENIAN HIGHLAND

### A. Kh. Baghramian

#### Abstract

Basing on the investigation of mechanisms and spatial-and temporal distribution of earthquake foci the fine structure of the Earth's crust fracturing, the stress-deformed state of medium and time variations of fast seismotectonic processes in the Earth's crust in the ANPP region are studied in detail.

#### JIHTEPATYPA

- 1. Акопян С. Ц. Тектоника плит в Альпийско-Гималайском пояс и несоторые постические критерии.—Изв АН АрмССР, Науки о Земле, 1985, XXXVIII № 6 с. 39—49.
- 2. Асланян А. Т., Аракелян Ф. О., Агамалян К. А., Баграмян А. Х. и др. Априсейсмических условий района Армянской атомной электростанции (Арарата толина).—Изв. АН АрмССР, Науки о Земле. 1982, № 5, с. 3—18
- Баграмян А. X. Сейсмотектоническая деформация и напряженное состояние вет ной коры в районе Армянской АЭС.—ДАН АрмССР, 1987 т LXXXV № 5 с. 200—202.
- Баграмян А. X. Стросние земной коры в различных регионах Кавказа Едеван Изд. АН АрмССР, 1974, 106 с.
- 5. Карапетян Н. К. Механизм возникновения землетрясений Армянского нагорья Ереван Изд. АН АрмССР, 1986, с. 228.
- Карапетян Н К. Сейсмогеодинамика и механизм возникновентя землетовения Армянского нагорья. Ереван: Изд. АН АрмССР, 1990, с. 264
- лукк А. А., Леонов В. Г. Трещиноватость земной коры Гармского разона статистике механизмов очагов слабых землетрясений. Изв АН СССР Физик Земли, 1978. № 8, с. 33-—45
- 8. Лукк А. Л. Сейсмическая трещиноватость, эрозионная сеть и напряженно деформированное состояние Гармского района—Изв АН СССР, Физик Земли 1980 № 3, с. 18—29.
- 9 Лукк А. А., Юнга С. Л. и др. Сейсмотектоническая деформация и напряженные состояние земной коры Средней Азии и Казахстана—В кн.: Землетрясения Средней Азии и Казахстана, 1981, Душанбе: Дониш, 1983, с. 118—135
- Нерсссов И. Л., Лукк А. А., Юнга С. Л. Временные вари цип механизма очаго землетрясений Гармского района.—Изв. ЛИ СССР, Физика Земли 1980, № . с. 10—21.
- П. Сихарулидзе Д. И., Тутберидзе Н. П., Баграмян А. Х. и др. Мегаблок Кавкизской литосферы—В ки.: Методика и результаты выделения блоков земной коры и сейсмически активных зон. Тбилиси: «Меципереба» 1989, с. 16—20.
- Сихарулидзе Д. И., Тутберидзе Н. П., Баграмян А. Х. и др Строение, напряж не но-деформированное состояние и условия сейсмичности литосферы Малого Калказа. Тбилиси: Изд. «Меципереба», 1983, 123 с.

### - ПЕРСПЕКТИВЫ КОМПЛЕКСНОГО ОСВОЕНИЯ ЖЕЛЕЗОРУДНЫХ МЕСТОРОЖДЕНИЙ АРМЕНИИ

С 1996 г. Ю. А. Агабалян\*, Л. М. Багдасарян\*, А. Т. Багдасарян\*\*, А. В. Маркарян\*\*\*

\* Государственния комиссия по запасим полезных ископаемых Армении 375009 Ереван, ул. Корюна 14, (ГКЗ), Республика Армения \*\* Институт геологических наук НАН РА 375019 Ереван, пр. Маршала Баграмяна 24а, Республика Армения \*\*\* Государственный инженерный университет Армении 375009 Ереван, ул. Теряна 105, горно-металлургический ф-т, Республика Армения Поступила в редакцию 29.10.96.

Социально-экономическому развитию Армении в значительной степени может способствовать создание на собственной сырьевой базе железорудной промышленности и черной металлургии. В статье рассматриваются вопросы, связанные с подготовкой разведанных месторождений к освоению с позиций рыночной экономики, излагается программа необходимых действий для решения данной проблемы.

Черная металлургия является стержнем развития тяжелой индустрии. Создание же этой отрасли в Армении, особенно с учетом ее геополитических условий, имеет первостепенное значение. Важно отметить, что это осуществимо на базе собственных минерально-сырьевых ресурсов-утвержденных запасов железных руд Разданского и Абовянского железорудных месторождений, а также после проведения соответствующих стадий геологоразведочных работ-тигано-магнетитовых руд Сваранцского и некоторых других месторождений и проявлений республики. Руды первых двух месторождений пригодны для производства чистого железа способом его прямого восстановления из высококачественных магнетитовых концентратов, а руды Сваранцского месторождения могут служить сырьевой базой для развития тради-

ционной черной металлургии—доменного производства.

В то же время следует отметить, что с точки зрения современных требований, предъявляемых к изученности объектов минерального сырья для их рационального и комплексного освоения, ни одно из железорудных месторождений не может считаться полностью подготовленным к промышленному освоению. Это касается даже Разданского месторождения, руды которого были подвергнуты глубоким технологическим исследованиям, вплоть до получения чистого железа на основе электроплавок 20 проб губчатого железа. Кроме, того, техникоэкономическими расчетами доказана исключительно высокая экономическая эффективность его освоения [1]; в частности сроки окупаемости капиталовложений по оцениваемым вариантам колеблются от 1,5-2.0 до 3-4 лет. Однако до передачи в промышленное освоение нам представляется необходимым решить следующие задачи:

1. Собрать полноценную информацию о спросе, производстве, марочности чистого железа на мировом рынке и в отдельных (особенно близлежащих к Армении) регионах, направлениях использования. ценах на готовую продукцию, сведения о ведущих фирмах; необходимо также выявить собственные потребности Армении в чистом железе.

2. Учитывая, что технологические исследования (обогащение, прямое восстановление, электроплавка) производились примерно 30 лет назад, следует повторить экспериментальные работы на представительных пробах с целью уточнения технологических показателей

3. Провести дополнительные геологоразведочные работы с целью установления содержаний, формы нахождения и подсчета запасов золота и серебра\*). В процессе геологоразведочных работ на благородные металлы целесообразно изучить также физико-механические свойства различных разновидностей вскрышных пород, выявить возможные потребности в них и произвести подсчет их запасов в пределах конечных контуров железорудного карьера.

4. При производстве дополнительных технологических исследований, включая промышленные испытания, особое внимание следует уделить технологической схеме извлечения золота, снижению содержания железа в отвальных хвостах, испытаниям по утилизации последных в цементном производстве и повышению качества чистого железа.

5. С учетом полученных результатов по доразведке и технологическим исследованиям следует произвести коренную переоценку месторождения и представить в ГКЗ РА на утверждение вновь обоснованные кондиции и подсчет запасов основных и попутных полезных ископаемых и компонентов.

Учитывая большую капиталоемкость будущего горно-металлургического производства, отсутствие в республике опыта и кадров по принциппально новому производству, связанному с прямым восстановлением железа из концентратов, реализация такой крупной программы реаль-

но осуществима на основе привлечения зарубежных фирм.

Перечисленные выше работы могут быть выполнены за 1,5—2 года и потребуют не более 20—30 млн. драм. В результате завершения этих работ следует ожидать: а) прироста запасов железных руд на 20 млн. т или на 40%; б) подсчета запасов золота (предположительно 40—50т) и серебра; в) подсчета запасов строительных материалов в объеме 30—50млн.м³; г) повышения сквозного коэффициента извлечения железа; д) повышения средней марочности чистого железа; е) обеспечения цементных заводов республики высококачественными железистыми добавками за счет утилизации отвальных хвостов железных руд; ж) обеспечения прироста годового экономического эффекта в размере 10 и более млн. долларов (4млрд. драм).

В меньшей степени подготовлено для передачи в промышленное освоение Абовянское месторождение, на котором наряду с железными рудами (244 млн. т) утверждены и запасы покрывающих скальных пород (64 млн. м³), мощность которых колеблется в пределах 50-200 м. В связи с отсутствием непосредственных выходов руд на земную поверхность полезное ископаемое подвергнуто было менее глубоким техпологическим испытаниям, чем разданские руды; на основе лабораторных исследований кернового материала довольно детально определена лишь обогатимость руд. Этим исследованиям подвергнуты руды с очень широким диапазоном содержания в них железа (от 8,8 до 55%). В результате получены высококачественные концентраты, содержащие от 65 до 69% железа, что позволяет использовать методы прямого восстановления Ожидаемое содержание металлического железа в продукте переработки концентрата - 92%. Судить же о марочности чистого железа, которое может быть получено в результате электроплавки губчатого железа, естественно, не представляется возможным до проведения соответствующих технологических испытаний

Следует отметить, что руды Абовянского месторождения содержат

<sup>\*)</sup> Золоторудная минерализация (самородные золото и серебро, петцит, гессит другие теллуриды) в железных рудах Разданского месторождения установлены и описаны А. И Карапетяном (Карапетян А. И Об обнаружении А и Ад В — Геминерализации в пределах Разданского железорудного месторождения Армянской ССР — ДЛИ АрмССР, 1969, т. 49. № 1, с. 16—19.)

апатит (около 0,7%), с которым связаны выявленные редкоземельные элементы церневой и иттриевой групп. При обогащении апатит извлекается в хвосты переработки. Имеется принципиальная возможность получения из хвостов обогащения апатитового концептрата, редких земель, стекольного сырья и других продуктов. Чтобы достоверно ответить на вопросы о возможной марочности чистого железа, возможности и целесообразности производства апатитового концентрата и редких земель необходимо провести глубокие технологические исследования руд и продуктов их переработки на крупных пробах, что возможно лишь после вскрытия рудного тела открытыми или подземными горными выработками, а также осуществить коренную переоценку месторождения. Помимо этого необходимо также более строго обосновать наиболее целесообразный способ разработки Абовянского месторождения. До настоящего времени во всех известных работах предусматривалась открытая разработка месторсждения на всю глубину. Однако при этом практически не учитывались природоохранные аспекты, возможные изменения гидрогеологического режима района и т. д. В этой связи нам представляется необходимым, наряду с открытым способом, рассмотреть ряд альтернативных вариантов комбинированной открыто-подземной разработки месторождения: традиционную, трехъярусную [4], с целенаправленным формированием подземных

пустот [3].

Как при открытом, так и при любом из комбинированных способев разработки, очевидно, необходимо удалять покрывающие скальные породы, (базальты, андезито-базальты и т. д.), которые, как было отмечено выше, утверждены в качестве сырья для производства строительных магерналов. Опережающая отработка этих пород, очевидно, весьма целесообразна: во-первых, это позволит практически осуществить вскрытие железорудного месторождения при огромной экономии капитальных вложений и времени; во-вторых, будет создана возможность более полно использовать эти породы в качестве товарной продукции (при высоких темпах подготовки железорудного тела к эксплуатации большая часть удаляемых пород может не «успеть» найти потребления); в третьих, после удаления этих пород и обнажения железных руд на определенной площади впервые появится возможность отбора крупных технологических проб и завершения комплексных испытаний руд, вплоть до определения марочности производимого чистого железа, возможности и целесообразности получения апатитового концентрата, извлечения редких земель, утилизации отвальных хвостов. Немаловажите значение булет иметь также то обстоятельство, что при отборе технологических проб появляется возможность изучить и внутреннее строение рудного тела. Кроме того, на базе утвержденных скальных пород Абовянского железерудного месторождения возможна организация крупного дробильно-сортировочного предприятия, что будет весьма целесообразно при увеличении объемов строительства в республике, деблокаде транспортных коммуникаций. Если при этом учесть и исключительно благоприятные географо-экономические условия этого месторождения, то, счевидно, производимая продукция будет характеризоваться небольшими затратами и умеренными ценами. а большая мощиесть покрывающих пород позволит сократить площади изымаемых сельскохозяйственных земель на каждые 1000 м³ погашаемых запасов полезного ископаемого. Поэтому весьма своевременным является объявление тендера на освоение покрывающих скальных пород Абовянского железорудного месторождения (объявленный тендер на освоение всего объекта желающих, естественно, не выявил).

В связи с невыясненностью вопроса о марочности чистого железа, производимого из руд Абовянского месторождения, нами произведена гипотетическая оценка последнего. В частности, укрупненными технико-экономическими расчетами установлено, что, если производимая продукция будет удовлетворять даже 8-ой марке (015 ЖРЮ) из девяти существующих [6], то уже будет обеспечена эффективность капиталовложений в размере 17-18%, а бортовое содержание на основе метода приростных приведенных затрат [2] составит 18% (запасы утвержлены при бортовом содержании железа 15%). Если же будет обеспечено производство 7-ой и 6-ой марок, то бортовое содержание составит 15 и 12%, соответственно, при росте эффективности капиталовложений до 25% и более Эти данные свидетельствуют о том, насколько важно детально точно знать о возможности получения той или иной марки чистого железа, что окажет значительное воздействие на величину бортового содержания железа в руде и эффективность будущего горно-металлургического производства

Абовянское месторождение может рассматриваться в качестве объекта второй (после Разданского) очереди освоения. Однако, не исключается его освоение с целью производства концентратов (или окатышей) с их реализацией в соседние страны. Например, на западе Прана в г. Ахваз функционирует завод прямого восстановления, просктиая мощность которого составляет 2,53 млн. т губчатого железа в год [5]. Завод работает на завозимых из Индин железных рудах (4,5 млн. т в год). По нашим расчетам, при годовой производительности Абовянского карьера 5 млн. т может производиться 1,5—1,6 млн. т высококачественных окатышей с приведенными затратами примерно 30—35 долларов за тонну. При решении проблемы их транспортировки окатыши будут весьма конкурентоспособной пролукцией. Не исклю-

ким комбинатом.

Что касается вопросов изучения и особенно дальнейшего освоения Сваранцского месторождения, то это следует увязать по времени со строительством железной дороги Варденис-Сисиан-Горис-Мегри. Прогнозные ресурсы руд этого месторождения оцениваются в 1 млрд. т, а полезное ископаемое, помимо железа, содержит также титан, магний, вападий и ряд других ценных компонентов. Укрупненные расчеты по-казали, что суммарная ценность попутных компонентов значительно превышает стоимость железа. Поэтому проведение опережающих глубоких технологических исследований руд этого месторождения представляет собей актуальную задачу, решение которой может способство-

чается также возможность кооперации с Руставским металлургичес-

вать созданию в Армении большой черной металлургии.

Отдельно следует отметить проблему обеспечения цементных заводов республики железистыми добавками. В прошлом эти потребности покрывались за счет использования шлаков Алавердского ГМК, а после его ликвидации, вплоть до блокады железной дороги, железистые добавки завозились из России и Украины. В настоящее время Разданский цемзавод использует высокоценные руды одноименного железорудного месторождения, что не допустимо как с юридических, так и с экономических позиций (извлекаемая ценность 1 т руды заметно превосходит цену 1 т цемента). Нам представляется наиболее правильным в сложившихся условиях срочно разведать одно из сравнительно небольших проявлений железных руд в б. Разданском районе (например, Агавнадзорское) и материалы ТЭО кондиций и подсчета запасов железных руд представить на утверждение Государственной комиссии по запасам полезных ископаемых РА. Использование руд вновь разведанного месторождения, по-видимому, будет целесообразно до пус-

ка обогатительной фабрики будущего Разданского горно-металлурги-ческого комбината, когда появится возможность применять отвальные хвосты обогащения железных руд.

Работа выполнена в рамках темы 94-176, финансируемой из гос-

бюджета Республики Армения.

# ՀԱՅԱՍՏԱՆԻ ԵՐԿԱԹԻ ՀԱՆՔԱՎԱՅՐԵՐԻ ՀԱՄԱԼԻՐ ՅՈՒՐԱՑՄԱՆ ՀԵՌԱՆԿԱՐՆԵՐԸ

3ու. Ա. Աղաբալյան, Լ. Մ. Քաղոտսաբյան, Ա. Թ. Բաղդտսաբյան, Հ. Վ. Մաբգաբյան

### Udhnhnid

Երկանահանքային արդյունաբերության և սև մետալուրգիայի (բարձր մակնիշների մաքուր երկանի, հատուկ պողպատների և ճշգրիտ համաձուլված հումքային հենք։ Սակայն, նույնիսկ առավել ուսումնասիրված Հրազդանի երկանի հանքավայրը, այսօրվա տեսանկյունից, չի կարող համարվել լիովին նախապատրաստված լուրացման համար։ Այդ նպատակով հանքավայրերի (այդ նվում ոսկու և արծանի պարունակունյունների) մակաբացման ապարների, հարստացման պոշերի համալիր ուսումնասիրման համար առաջարկվում և անցկացնել լրացուցիլ երկրաբանահետախուղական աշխատանքներ, ինչպես նաև ճոտել հանքավայրի վերամշակման տեխնոլոգիական շափագծերը ժամա նակակից համաշխարհային մակարդակի հիման վրա։

նշված աշխատանքների ավարտից հետո անհրաժեշտ է իրականացնել Հանրավայրի վերագնահատումը և նոր կոնդիցիաները ու պաշարների հաշ-

վարկը ներկայացնել ՀՀ ՊՊՀ-ի հաստատմանը։

# PROSPECTS OF COMPREHENSIVE DEVELOPMENT OF IRON-ORE DEPOSITS OF ARMENIA

Yu. A. Aghabalian, L. M. Bagdasarian, A. T. Bagdasarian, A. V. Markarian

#### Abstract

The social and economic evolution of Armenia can be greatly promoted by establishing the iron-ore industry and the ferrous metallurgy with their own raw material basis. The paper deals with the issues related to preparation of the explored deposits for development, based on market economics principles, and describes the programme of actions needed to solve this problem

#### SHITEPATYPA

I Агабалян Ю. А. и др Целесообразность создания в Армении железорудной промышленности и черной металлургии.—Экономика, 1993, № 11—12.

2 Агабалян Ю. А. Теория и практика оптимального освоения недр. М.: Недра, 1991 3 Агабалян Ю. А., Оганесян А. Г. Разработка рудных месторождений с целенаправания формированием пустот.—Горный журнал, 1995, № 5.

4 Агошков М. И. Комплексный трехъярусный открыто-подземный способ разработ ки мощных рудных месторождений. М.: ИПКОН АН СССР, 1985

5 Горная энциклопедия. М.: Изд. Советская энциклопедия, т. 2, 1986 6 Прейскурант № 01—07—43 М : Прейскурантиалат 1990

6 Прейскурант № 01--07 43. М.: Прейскурантиздат, 1990. 84

## НОВЫЕ ДАННЫЕ О ВОЗРАСТЕ ДИЛИЖАНСКОЙ СВИТЫ ПО ИСКОПАЕМЫМ ФАУНИСТИЧЕСКИМ ОСТАТКАМ

© 1996 г. С. М. Григорян, С. А. Бубикян

Институт геологических наук НАН РА 375019 Ереван. пр. Маршала Баграмяна 24а. Республика Армения Поступила в редакцию 10.07.94.

Вопрос возраста дилижанской свиты (Дилижанское месторождение горючих и углистых сланцев) из-за отсутствия в ней руководящих фаунистических остатков до сих пор считается предметом оживленной дискуссии. Многие исследователи относили ее к среднему или верхнему эоцену (К. Н. Паффенгольц, А. П. Демехии, М. Б. Гзовский и др.). При решении возраста названной свиты (средний олигоцен—нижний миоцен) исследователями были широко использованы главным образом флористические данные—листовая флора, богато представленная в угленосно-сланценосных отложениях окрестности г. Дилижана [2, 4].

В 1993 г. при проведении полевых работ в окрестностях г. Дилижана по теме «Биостратиграфия фанерозойских отложений зоны Спитакского землетрясения» сотрудниками лаборатории палеонтологии и стратиграфии ИГН НАН РА под руководством С. М. Григорян были составлены многочисленные послойные разрезы со сборами образцов

для микрофаунистических исследований,

Разрезы составлены между сс. Папанино и Шамахян «Брыкина балка» на левом берегу р. Агстев у железнодорожнего вокзала «Дили-жан», в районе пансионата кинематографистов (правый берег р. Агс-

тев), в ущелье «Штоканаджур» и др. местах.

В результате лабораторных исследований в восьми образцах совместно с флористическими остатками С. А. Бубикян выявлен определенный комплекс пресноводных остракод, анализ которых дает полную возможность доказать среднеолигоцен-среднемноценовый (?) возраст рассматриваемой свиты.

Ниже приводится краткое описание некоторых разрезов, составленных нами в 1993 г в окрестностях гор. Дилижана, с указанием ви-

дов ископаемых остракод (рис. 1).

1. Разрез между сс. Папанино-Шамахян «Брыкина балка» (разрез составлен стратиграфически сверху-вииз).

Обн. 1. 1. Конгломераты, слабо сцементированные. Видимая мощность 20—25 м.

- 2. Песчаники и песчанистые глины с Kassinina kassini Mandelst. (плохой сохранности, обр. 736/93). Мощность 2 м.
- 3. Глинистые песчаники с растительными остатками Мощность 3 м.
- Оби, 2. 4. Чередование конгломератов, песчаников и песчанистых глин. Мощность 10—12 м.
- Обн. 3. 5. Глинистые сланцы флореносные. Мощность 2,7 м.
  - 6. Груборассланцованные глинистые сланцы. Мощность 4 м
  - 7. Песчаники, сильно ожелезненные с Kassinina kassini

Mandelsi. (плохая сохранность, обр. 741/93). Мощность 2 м.

8. Конгломераты с плохо окатанными гальками различпого размера. Мощность 0,30 м.

9. Тонкорассланцованные глинистые сланцы. Мощность

3 11.

10. Песчаники желтовато-серого цвета с Kassinina kassini Manaelst. (в большом количестве цельные раковины и отдельные створки, обр. 743/93).

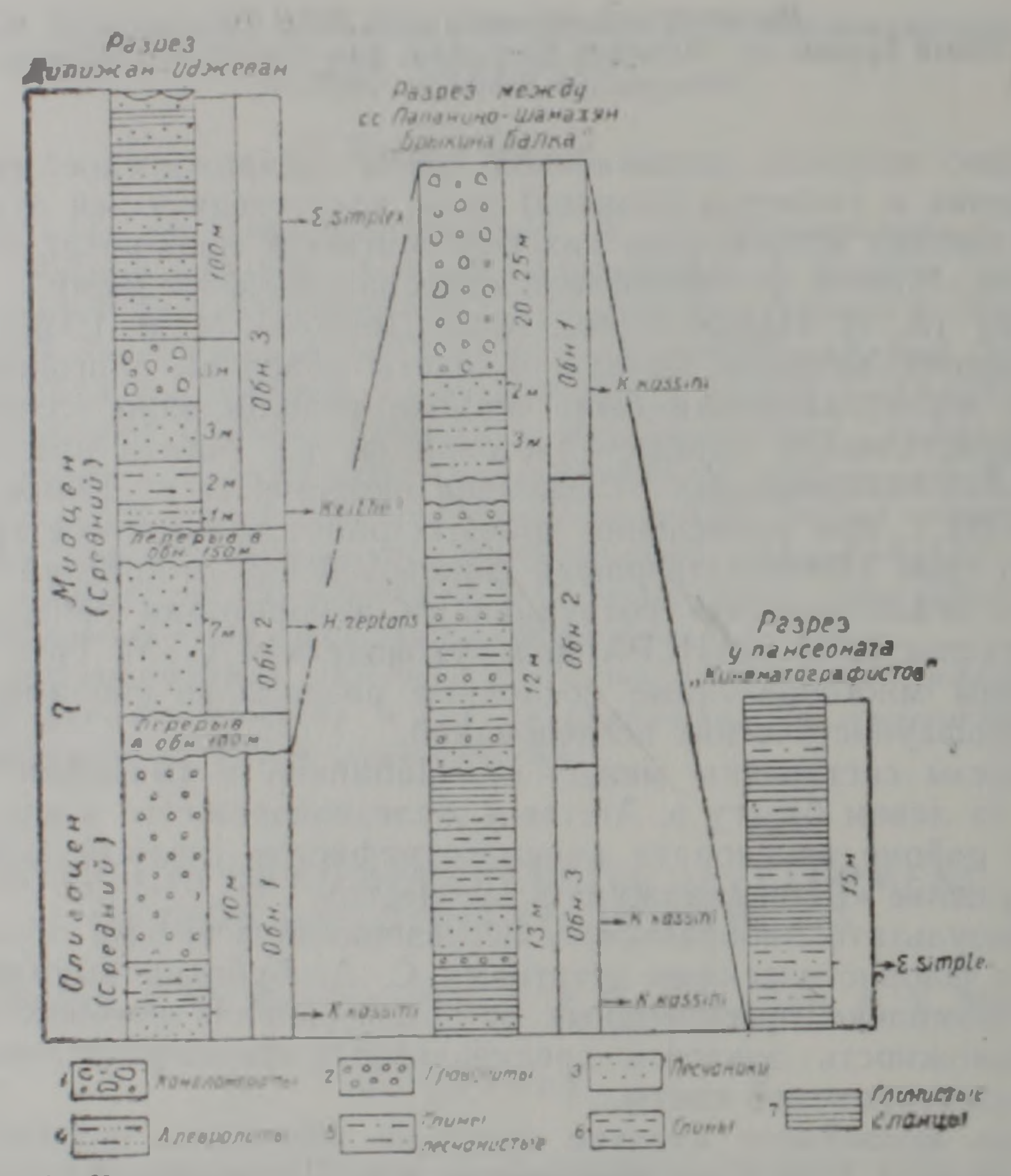


Рис 1. Корреляция разрезов дилижанской свиты по остракодам.

2. Разрез по дороге Дилижан-Иджеван (у гор Дилижана по левую сторону железнодорожной станции «Дилижан», левый берегр. Агстев). Разрез составлен стратиграфически снизу-вверх. Весь раз-

рез представлен отдельными обнажениями в количестве 8.

Обн. 1—1. Песчаники, слабо глинистые, чередуются с тонкорассланцованными алевролитами. На поверхности слоев имеются многочисленные крышки гастропод черного цвета. Из остракод встречаются Kassinina kassini Mandelst. (плохой сохранности, обр. 741/93). Мощность 1,5 м.

2. Алевролиты, тонкорассланцованные, почти черного цвета, с крышками гастропод, чередуются с тонкими прослойками плотных песчаников. Мощность 1,5 м.

З Гравелиты, постепенно переходящие в конгломераты. Мощность 10 м.

Перерыв в обнаженности 100 м.

Обн. 2. 4. Песчаники мелкозернистые серого цвета с *Herp (су-pris reptans (Baird)* (хорошей сохранности, обр. 749/93). Мощность 7 м.

Перерыв в обнаженности 150 м.

- Обн. 3. 5. Чередование тонко- и груборассланцованных алевролигов и песчаников серого цвета. В песчаниках встречаются редкие крышки гастропол. Из остракол встречается Krithe? плохой сохранности. (Обр. 751/93). Мощность 1 м.
  - 6. Алевролиты, полосчатые, серого цвета. Мошность 2 м.
  - 7. Песчаники, рассланцованные, с крышками гастропод. Мощность 3 м.

8. Конгломераты. Мощность 3 м.

9. Чередование сильно метаморфизованных сланцев и груборассланцованных песчаников. В песчаниках встречаются остракоды— Eucypris simplex Schn. (многочисленные, обр. 755/93). Мощность 100 м.

Описание обн. 4—8 нами не приводится, т. к. в образцах горных пород

не обнаружены ископаемые фаунистические остатки.

3. Разрез на правом берегу р. Агстев у пансионата кинемато-

графистов.

В данном разрезе породы дилижанской свиты, общей видимой мощностью 10—15 м, представлены чередованием грубо- и тонкорассланцованных алевролитов и глинистых сланцев. Из многочисленных образцов в лабораторных условиях только в одном образце (обр. 770/93) выявлены остракоды— Eucypris simplex Schn. (в большем количестве).

Таким образом, в породах дилижанской свиты в различных участках окрестности гор. Дилижана из остракол обнаружены: Kassinina kassini Mandelst., Eucypris simplex Schn., Herpetocypris reptans

(Baird) Krithe? sp.

Из перечисленных видов Kassinina kassini, Eucypris simplex впервые встречаются в изученных разрезах Армении. Эти виды известны из среднего олигоцена Казахстана и караганского горизоната Дагестана, а Herpetocypris reptans, который встречен впервые в Дилижанском районе, имеет широкое распространение и установлен в многочисленных разрезах скважин и обнажений Армавирского (Октемберянского) района, возраст его определяется как средний миоцен (караган).

Herpetocypris reptans — широко распространенная форма в глинисто-песчанистых отложениях карагана Западного Предкавказья, в разрезе р. Пшиша Ходыжинского нефтеносного района и р. Пшехо Апшеронского нефтеносного района, в Закавказье в районе нефтеносно-

го месторождения Кавтисхеви.

На основании вышеизложенного анализа пресноводных остракод возраст вмещающих пород определяется как средний олигоцен-сред-

ний миоцен (караган).

Полученные повые данные по остракодовой фаупе кроме стратиграфического значения имеют важное значение для восстановления палеоусловий образования дилижанской свиты, а также корреляции разрезов Дилижанского и Армавирского (Октемберянского) районев территории Армении.

Работа выполнена в рамках темы 92-220, финансируемой из гос-

бюджета Республики Армения.

- 1. Габриелян А. А. Палеоген и неоген Армянской ССР Изд. АН АрмССР, Ереван, 1964.
- 2. Габриелян А. А., Тахтаджян А. Л., Саркисян О. А. О возрасте угленосно-слапценосной свиты окрестностей гор. Дилижана — ДАН АрмССР 1958, т. XXVI, №3.
- 3 Саркисян О. А. Палеоген Севано-Ширакского синклинория Изд. «Митк», Ереван, 1966.
- 4 Саркисян О. А., Арутюнян М. Е. К вопросу о стратиграфическом расчленении дилижанской свиты .Уч. записки ЕГУ, 1970, № 3.

Известия НАН РА, Науки о Земле, 1996, ХЦХ, №1-3, 88-90

ZUULANIS ZUZALPANITAIP

# ՀԱՅԱՍՏԱՆԻ ՀԱՆՐԱՊԵՏՈՒԹՅԱՆ ՏԱՐԱԾՔԻ ՍԵԼԱՎԱՎՏԱՆԳԱՎՈՐՈՒԹՅԱՆ ԱՍՏԻՃԱՆԻ ԳՆԱՀԱՏՈՒՄԸ

C 1996 թ. Ռ. Հ. Տեր-Մինասյան

Управление чрезвычайных ситуаций Армении 375010 Ереван, ул. Пушкина 25, Респиблика Армения Поступили в редакцию 15.04 96.

Սելավների դեմ պայքարի միջոցառումներ մշակելիս հաճախ հարց է ա-

ռաջանում որոշելու նրանց վտանդավորության աստիճանը։

Հայաստանի Հանրապետության տարածքի սելավավտանդավորության աստիճանի գնահատականը տվել են Մ. Վ. Ծովյանը [4] և Խ. Ե. Նաղարյանը [1]։ Նրանք օգտագործելով դետային ավազանների սելավաբերության և սելավների հաճախականության ցուցանիշները տվել են սելավավտանդավուրության որակական դնահատականը՝ ուժեղ, միջին և թույլ չափանիշներով։

Սակայն սելավի վտանգավորության աստիճանը չի որոշվում միայն նրա սյարամետրերի հղորությամբ։ Մարդու կողմից անօգտագործելի վայրերում սհլավները, որքան էլ որոր լինեն ու հաճախ կրկնվեն վտանգավոր չեն տնտեսության համար։ Սրան հակառակ նոր լուրացվող տարածքներում ի հայտ են դալիս նրանց պոտենցիալ հնարավորությունները և մեծանում է նրանց վտանգավորության աստիճանը։ Այսպիսով նույնատիպ սելավարեր ավաղանները կարող են տարբեր աստիճանի վնասներ պատճառել տնտեսությանը։

շետևաբար, ան քրաժեշտություն է առաջանում սելավները ըստ վտանդավորության աստիճանի դասակարդելիս օգտադործել նաև հասցված վնասի մե
ծությունը։ Այդ բանը փորձել է կատարել Ս. Մ. Ֆլեյշմանը [3]։ Նա նկարադրում է սելավավտանգավորության չորս աստիճան՝ I—հունի ոչ մեծ ողողումներ, ջրթող կառուցվածջների անցջերի մասնակի խցանում, II—ուժեղ ողողումներ, անցջերի լրիվ խցանում, III—կամուրջի կրող կառուցատարրերի փրլուղում, II—բնակավայրերի իւորտակում, կառույցների թաղվում են ընր-

Թեև Ս. Մ. Ֆլեյչմանը իր դասակարդումը շարադրելիս առաջարկում է օգտաղործել քանակական տվյալներ՝ սելավի հաճախականությունը, բերվածրսերի ծավալը և ջրի ծախսը, նրա դասակարգումը, ինչպես երևում է վերը շա-

րադրվածից, նույնպես որակական է։

Սելավավտանդավորության քանակական դնահատման համար մեր կող մից ստեղծված է սելավների բանկ, որտեղ ընդդրկված են 1969 թ. «Հայհիդրո մետիս կողմից հրապարակված «Հայաստանի սելավավտանդ դետերի կատա-լոգի», «Հայհիդրոմետի» ամենամյա սելավային երևույթների հաշվետվությունների և ջրային սրոբլեմների և Հիդրոտեխնիկայի դիտահետադոտական ինս-աիտուտի տվյայները։

Սելավների բանկում ղետեղված են 1946—1995 թթ. տեղի ունեցած 460 սելավների հետևյալ տվյալները. սելավի անցման տարեթիվը, սելավի պարամետրերը՝ խորությունը, Հոսանքի շարժման արագությունը, առավելագույն

- 1. Габриелян А. А. Палеоген и неоген Армянской ССР Изд. АН АрмССР, Ереван, 1964.
- 2. Габриелян А. А., Тахтаджян А. Л., Саркисян О. А. О возрасте угленосно-слапценосной свиты окрестностей гор. Дилижана — ДАН АрмССР 1958, т. XXVI, №3.
- 3 Саркисян О. А. Палеоген Севано-Ширакского синклинория Изд. «Митк», Ереван, 1966.
- 4 Саркисян О. А., Арутюнян М. Е. К вопросу о стратиграфическом расчленении дилижанской свиты .Уч. записки ЕГУ, 1970, № 3.

Известия НАН РА, Науки о Земле, 1996, ХЦХ, №1-3, 88-90

ZUULANIS ZUZALPANITAIP

# ՀԱՅԱՍՏԱՆԻ ՀԱՆՐԱՊԵՏՈՒԹՅԱՆ ՏԱՐԱԾՔԻ ՍԵԼԱՎԱՎՏԱՆԳԱՎՈՐՈՒԹՅԱՆ ԱՍՏԻՃԱՆԻ ԳՆԱՀԱՏՈՒՄԸ

C 1996 թ. Ռ. Հ. Տեր-Մինասյան

Управление чрезвычайных ситуаций Армении 375010 Ереван, ул. Пушкина 25, Респиблика Армения Поступили в редакцию 15.04 96.

Սելավների դեմ պայքարի միջոցառումներ մշակելիս հաճախ հարց է ա-

ռաջանում որոշելու նրանց վտանդավորության աստիճանը։

Հայաստանի Հանրապետության տարածքի սելավավտանդավորության աստիճանի գնահատականը տվել են Մ. Վ. Ծովյանը [4] և Խ. Ե. Նաղարյանը [1]։ Նրանք օգտագործելով դետային ավազանների սելավաբերության և սելավների հաճախականության ցուցանիշները տվել են սելավավտանդավուրության որակական դնահատականը՝ ուժեղ, միջին և թույլ չափանիշներով։

Սակայն սելավի վտանգավորության աստիճանը չի որոշվում միայն նրա սյարամետրերի հղորությամբ։ Մարդու կողմից անօգտագործելի վայրերում սհլավները, որքան էլ որոր լինեն ու հաճախ կրկնվեն վտանգավոր չեն տնտեսության համար։ Սրան հակառակ նոր լուրացվող տարածքներում ի հայտ են դալիս նրանց պոտենցիալ հնարավորությունները և մեծանում է նրանց վտանգավորության աստիճանը։ Այսպիսով նույնատիպ սելավարեր ավաղանները կարող են տարբեր աստիճանի վնասներ պատճառել տնտեսությանը։

շետևաբար, ան քրաժեշտություն է առաջանում սելավները ըստ վտանդավորության աստիճանի դասակարդելիս օգտադործել նաև հասցված վնասի մե
ծությունը։ Այդ բանը փորձել է կատարել Ս. Մ. Ֆլեյշմանը [3]։ Նա նկարադրում է սելավավտանգավորության չորս աստիճան՝ I—հունի ոչ մեծ ողողումներ, ջրթող կառուցվածջների անցջերի մասնակի խցանում, II—ուժեղ ողողումներ, անցջերի լրիվ խցանում, III—կամուրջի կրող կառուցատարրերի փրլուղում, II—բնակավայրերի իւորտակում, կառույցների թաղվում են ընր-

Թեև Ս. Մ. Ֆլեյչմանը իր դասակարդումը շարադրելիս առաջարկում է օգտաղործել քանակական տվյալներ՝ սելավի հաճախականությունը, բերվածրսերի ծավալը և ջրի ծախսը, նրա դասակարգումը, ինչպես երևում է վերը շա-

րադրվածից, նույնպես որակական է։

Սելավավտանդավորության քանակական դնահատման համար մեր կող մից ստեղծված է սելավների բանկ, որտեղ ընդդրկված են 1969 թ. «Հայհիդրո մետիս կողմից հրապարակված «Հայաստանի սելավավտանդ դետերի կատա-լոգի», «Հայհիդրոմետի» ամենամյա սելավային երևույթների հաշվետվությունների և ջրային սրոբլեմների և Հիդրոտեխնիկայի դիտահետադոտական ինս-աիտուտի տվյայները։

Սելավների բանկում ղետեղված են 1946—1995 թթ. տեղի ունեցած 460 սելավների հետևյալ տվյալները. սելավի անցման տարեթիվը, սելավի պարամետրերը՝ խորությունը, Հոսանքի շարժման արագությունը, առավելագույն ծախսը, սելավային բերվածջների ծավալը, տեղափոխված ջարերի ամենամեծ տրամագիծը, սելավների անցման հաճախականությունը, նրանց դասակարգումն ըստ մորֆոլոգիական և հեղեղի ջրաբերուկներով հագեցվածության աստեսության առանձին ճյուղերի՝ գյուղատնտեսության, ավտոմոբիլային և երկաթուղային տրանսպորտ, կոմունալ տնտեսության, ավտոմոբիլային և երկաթուղային տրանսպորտ, կոմունալ տնտեսություն և որպես ամփոփում տեղային տրանսպորտ, կոմունալ տնտեսություն և որպես ամփոփում տեղային արանարանական արժեջը 1984 թ. գներով։ Սելավների բանկում տեղ է գտել նաև «Հայպետջընախադիծ» ինստիտուտի կողմից 1984 թ. կազմած ջրային ռեսուրսների օգտագործման ու պահպանման սխեմայով նախատեսված մակասելումային կանխարգելիչ միջոցառումների ու այդ միջոցառումների արժեջները։

Վերոհիշյալ տվյալները հավաքված են տարբեր հեղինակների կողմից, տարբեր ժամանակաշրջաններում և չունեն հավաստիության միևնույն աստիհանը։ Հայաստանի սելավների (ժամանակակից պատկերացմամբ) հետաղոտությունների հիմքը դրել է ակադ. Ի. Վ. Եղիաղարովը, 1946 թվականի մայիստի 25-ին տեղի ունեցած, Դետառի աղետաբեր սելավի բաղմակողմանի ու խորթն ուսումնասիրությամբ։ Այդ պատճառով սելավավտանդավորության դնահնատման համար մեր կողմից օդտադուծված են միայն սելավների բանկի

1946-1995 թվականների տվյալները։

Սելավավարանգավորության քանակական գնահատման համար նրարտատականարմար ենք գտնում օգտագործել ռիսկի գնահատման բանա ձևը [2], որը իրենից ներկայացնում է տարբեր սելավների հավանականության և նրանց պատճառած վնասների արտադրյալի գումար՝ EPXC, որտեղ Ի-ն ջրի մաքսիմալ ծախսի ւայտնվելու հավանականությունն է, իսկ C-ն վնասների համապատասխան մեծությունը, այսինքն հաշվարկվում են ւավանական կորուստների մեծությունները։ Սելավավտանգավորության մյուս պարամետրերի՝ սելավի ծախսն ու բերվածքների ծավայր նույնպես կապված են հաճախականության հետո Իրոք, որքան մեծ են սելավների մաքսիմալ ծախսերն ու բերվածքների ծավայն, այնքան փոքր է նրանց հայտնվելու հավանականությունը։ Հետևաբար P C մեծությունը իր մեջ ամփոփում է սելավավըատրետիսևականությունը երսևսմոս ոլրգություրը իրի, չավարաիարության ը որիավաբերության սինթեզո և հնարավորություն է ընձեռում քանակապես գնահաաթիս արիակատարարակարությունը։

Աղյուսակ 1 22 տարածքի գետային ավազանների սելավավտանգավորության աղյուսակ

5/4	9.4 m by p	Uhluduhel	Ubjuduhph yumn- sunud yhumbhpp sun, nn.p.	Uhy abludh shiph	Shap nethygud whymybhpp Jpghi sunjuntunhunten-	Uhrududundunungun- dapute guit gue- guitepe (sandunu- quite uhrpnetep-	Shubple milman Shple, pum (PXC)-b bidmy- ilas quepqb
1.	Ախուրյան	17	2394	141	15	2115	Phphy
2.	114-grip	4	380	95	2	190 714	Uhwhw the
3.	Punwh	13	3226	248	0	3744	Nash
4.	Dempu The	18	7482	416	9	568	11 Junepjus
5.	<b>்</b> மடிரமம்	11	786	/ 1	7	28	Up of w
6.	Uquu	2	8	10	6	60	2 mp w q L m
7.	·lbah	26	73	10	14	1483	Pwuw/u
8.	Uppu	26	2768	106	21	546	
9	lfhaph	2	51	26	6	3516	_րազդան
10.	Nash	18	10546	<b>58</b> 6	10	900	Մեղրի Փամբակ
11.	Пришив	18	1612	90	10	342	III - gnsp
12.	Финдриц	27	1035	38	9	1208	Unumb
13.	וע לף שיון חצ	10	3021	302		4108	4676
14.	Phphn	15	15412	1027	4	148	
15.	Ununa	12	439	37	4	140	Цqши
							90

Այս նկատառումները փորձենք իրականացնել ՀՀ տարածքի սելավարեր

գետավագանների վտանգավորության աստիճանը գնահատելու համար։

Սելավներն, ուսումնասիրող գետային ավաղաններում, տեղի են ունեցեր տարբեր հավանականությամբ։ Հետևաբար, որպեսզի համեմատելի դարձնենք բոլոր գետավազանների հավանական կորուստները, պետք է յուրաքանչյուր գետավաղան բնորոշել մեկ միջին արժեքով։ Այդ նպատակով սելավների բաների վերցված են սելավների հավանականության և վնասների մեծությունները և հաշվարկվել են նրանց միջին կախյալ արժեքների արտադրյալը՝

Հաշվարկման արդյունըները բերված են Թիվ մեկ աղյուսակում։

ինչպես երևում է թիվ 1 աղյուսակի վերջին սյունակից սելավավասնգավորության սանդղակը գլխավորում է Դեբեդի ավազանը, որտեղ հիմնական վտանգը կենտրոնացված է Ալավերդի քաղաքում, որն իր շրջակայքով ամբողօովին տեղադրված է 13 սելավաբեր ձորակների արտաբերման կոների վրաւ Այս ձորակներում ձևավորված սելավներն աչքի են ընկնում իրենց աղետալի հետևանքներով և կասկած չի հարուցում այն հանդամանքը, որ Դեբեդի ավաղանը գլխավորում է սելավավտանդավորության սանդղակը։

կասկած չի հարուցում նաև նրան հաջորդող մյուս գետավազանների վրտանգի գնահատականները, որոնք լիովին համընկնում են սելավների ձևավորման հիդրոմետեորոլոգիական և գեոմոֆոլոգիական ժամանակակից պատ-

կերացումների հետ։

Մելավավտանգավորության այս սանդղակը վերջնական համարել չի կարելի, այն ժամանակի ընթացքում կարող է փոփոխություններ կրել, կապված ուրբանիզացիայի աստիճանի ղարգացման հետ։

#### ЛИТЕРАТУРА

1. Назарян X. Е. Классификация селевых потоков.—В кн. Вопросы географии, вып. 1—2. В кн. Межвузовский сб. науч. трудов Ереван: Изд. Ер. госунта, 1984. с. 180—195.

2. Стефенсон Д. Вероятность и риск.—В кн. Гидрология и дренажи ливневых вод.

Л.: Гидрометеоиздат, 1986. с. 117-195.

3. Флейшман С. М., Перов В. Ф. Селевые бассейны.—В кн. Сели. М.: Изд. Московс-

кого универ., 1986 с. 41-46.

4. Цовян М. В. Типизация селеносных бассейнов Армянской ССР—В кн. Мат. V Всесоюзн. сов. по изучению селевых потоков и мер борьбы с ними. Баку: Изд. АН Азерб ССР, 1962, с. 86—90.

Известия НАН РА. Науки о Земле, 1996, XLIX, №1-3, 90-93

КРАТКИЕ СООБЩЕНИЯ

# О МЕТОДЕ ОПРЕДЕЛЕНИЯ ВОДОПРОВОДИМОСТИ АРТЕЗИАНСКОГО ВОДОНОСНОГО ПЛАСТА

#### С 1996 г. Н. Л. Меликян

Научно-исследовательский институт водных проблем и гидротехники Минсельхоза Армении 375047 Ереван, ул. Амараноцаин 125, Республика Армения Поступила в редакцию 6.02 96.

Методы обработки данных опытных откачек основаны на использовании аналитических решений в различных их модификациях, соответствующих характеру информации, полученной при откачке.

Современные методы обработки опытных откачек из вертикаль-

Այս նկատառումները փորձենք իրականացնել ՀՀ տարածքի սելավարեր

գետավագանների վտանգավորության աստիճանը գնահատելու համար։

Սելավներն, ուսումնասիրող գետային ավաղաններում, տեղի են ունեցեր տարբեր հավանականությամբ։ Հետևաբար, որպեսզի համեմատելի դարձնենք բոլոր գետավազանների հավանական կորուստները, պետք է յուրաքանչյուր գետավաղան բնորոշել մեկ միջին արժեքով։ Այդ նպատակով սելավների բաների վերցված են սելավների հավանականության և վնասների մեծությունները և հաշվարկվել են նրանց միջին կախյալ արժեքների արտադրյալը՝

Հաշվարկման արդյունըները բերված են Թիվ մեկ աղյուսակում։

ինչպես երևում է թիվ 1 աղյուսակի վերջին սյունակից սելավավասնգավորության սանդղակը գլխավորում է Դեբեդի ավազանը, որտեղ հիմնական վտանգը կենտրոնացված է Ալավերդի քաղաքում, որն իր շրջակայքով ամբողօովին տեղադրված է 13 սելավաբեր ձորակների արտաբերման կոների վրաւ Այս ձորակներում ձևավորված սելավներն աչքի են ընկնում իրենց աղետալի հետևանքներով և կասկած չի հարուցում այն հանդամանքը, որ Դեբեդի ավաղանը գլխավորում է սելավավտանդավորության սանդղակը։

կասկած չի հարուցում նաև նրան հաջորդող մյուս գետավազանների վրտանգի գնահատականները, որոնք լիովին համընկնում են սելավների ձևավորման հիդրոմետեորոլոգիական և գեոմոֆոլոգիական ժամանակակից պատ-

կերացումների հետ։

Մելավավտանգավորության այս սանդղակը վերջնական համարել չի կարելի, այն ժամանակի ընթացքում կարող է փոփոխություններ կրել, կապված ուրբանիզացիայի աստիճանի ղարգացման հետ։

#### ЛИТЕРАТУРА

1. Назарян X. Е. Классификация селевых потоков.—В кн. Вопросы географии, вып. 1—2. В кн. Межвузовский сб. науч. трудов Ереван: Изд. Ер. госунта, 1984. с. 180—195.

2. Стефенсон Д. Вероятность и риск.—В кн. Гидрология и дренажи ливневых вод.

Л.: Гидрометеоиздат, 1986. с. 117-195.

3. Флейшман С. М., Перов В. Ф. Селевые бассейны.—В кн. Сели. М.: Изд. Московс-

кого универ., 1986 с. 41-46.

4. Цовян М. В. Типизация селеносных бассейнов Армянской ССР—В кн. Мат. V Всесоюзн. сов. по изучению селевых потоков и мер борьбы с ними. Баку: Изд. АН Азерб ССР, 1962, с. 86—90.

Известия НАН РА. Науки о Земле, 1996, XLIX, №1-3, 90-93

КРАТКИЕ СООБЩЕНИЯ

# О МЕТОДЕ ОПРЕДЕЛЕНИЯ ВОДОПРОВОДИМОСТИ АРТЕЗИАНСКОГО ВОДОНОСНОГО ПЛАСТА

#### С 1996 г. Н. Л. Меликян

Научно-исследовательский институт водных проблем и гидротехники Минсельхоза Армении 375047 Ереван, ул. Амараноцаин 125, Республика Армения Поступила в редакцию 6.02 96.

Методы обработки данных опытных откачек основаны на использовании аналитических решений в различных их модификациях, соответствующих характеру информации, полученной при откачке.

Современные методы обработки опытных откачек из вертикаль-

шегося режима фильтрации, позволяющего использовать для определения гидрогеологических параметров данные о снижении уровня воды во времени в наблюдательных скважинах или в самой водозаборной

скважине при его постоянном дебите [1, 3].

Этим, достаточно известным, методом, за исключением [2], очень трудно с необходимой точностью определить гидрогеологические параметры артезианских водоносных пластов по данным фонтанирующих скважин с уменьшающимся во времени дебитом. А при отсутствии наблюдательных скважин, что характерно почти для всех фонтанирующих скважин Араратской равнины, решение поставленной задачи этими методами становится еще труднее.

Отсутствие здесь наблюдательных (непродуктивных) скважин связано с глубоким расположением артезианского пласта, при кото-

ром бурение таких скважин является очень дорогостоящим

В настоящее время в Араратской равнине для целей водоснабжения и орошения эксплуатируются около 900 фонтанирующих скважин без наличия надлежащей наблюдательной сети, дающих необходимую информацию о понижении напора в артезианском водоносном пласте, параметры которого часто необходимо определять для целей проектирования новых водозаборных скважин или для различных гидрогеологических расчетов.

Поэтому здесь дается методика расчета проводимости артезианского пласта, базируясь только на информации о дебитах скважин в различных моментах времени и характеристиках самой скважины.

В основу метода положена следующая формула, полученная автором для определения в момент времени t дебита одиночной фонтанирующей скважины, заложенной в артезианском водоносном пласте:

$$Q = \frac{-F_0 + \sqrt{F_0^2 + 64\pi^2 T^2 \eta H_n}}{8\pi T \eta}, F_0 = \ln \frac{2.25at}{r_0^2} + 2\xi_{HC}. \tag{1}$$

где, T = km—проводимость пласта, k—его коэффициент фильтрации, m—мощность,  $r_0$ —радиус скважины,  $\xi_{HC}$ —суммарный коэффициент несовершенства скважины, t—продолжительность фонтанирования.  $H_n$ —начальный положительный напор пласта над устьем скважины,

 $a = \frac{k m}{\mu^*}$  — пьезопроводимость пласта,  $\mu^*$  — коэффициент упругои водо-

отдачи, определяемый по водовмещающим породам пласта известным методом [1; 3], η—нелинейные гидравлические сопротивления внутри скважины, определяемые по формуле:

$$\eta = \frac{1 + \lambda \frac{1}{2r_0}}{2g\pi^3 r_0^4},$$
(2)

где л-коэффициент гидравлического трения (коэффициент Дарси),

l<sub>тр</sub> — длина водоподъемной части скважины.

Модификация уравнения (1) для определения Г при заранее известных остальных параметрах приводит к следующему трансцедентному уравнению:

$$\ln T - 4\pi \left(\frac{H_n}{Q} - \eta Q\right) T + \ln \frac{2,25t}{\mu^+ r_0^2} + 2\xi_{HC} = 0.$$
 (3)

Уравнение (3) решаем графическим путем. Для этого строим графики функций: 91

$$f_1 = \ln T \ U f_2 - 4\pi \left(\frac{H_n}{Q} - \eta Q\right) T - \ln \frac{2,25t}{\mu^2 r_0^2} - 2\xi_{HC}.$$

Из пересечения логарифмической кривой  $f_1$  с прямой линией ваходим и значение Т. Необходимо отметить, что замер дебита необходимо производить с большой точностью, так как уравнение  $f_2$  очень чувствительно к значениям дебитов и даже малые неточности замера последних приводят к большим отклонениям значения T.

Иллюстрация расчета по формуле (3) приведена на примере скважины № 133 ПНИИСа, имеющей следующие исходные параметры:

$$H_n = 21.75 \text{м}; \ I_{TP} = 85 \text{м}; \ r_0 = 0.125 \text{м}; \ \xi_{HC} = 0; \ r_i = 2.64 \cdot 10^{-8} \text{ сут}^3 / \text{м}^5.$$
 при  $t = 5 \text{сут} \ Q = 200 \ \text{л/c} = 17280 \ \text{м}^3 / \text{сут}.$ 

Водовмещающие породы представлены трещиноватыми базальтами, для которых по расчету [1] получено  $\mu^* = 0.04$ . Тогда для  $f_2$  получим:

$$f_2 = 1.008 \cdot 10^{-2}T - 9.9.$$

На рис. I построен график этих функций, от пересечения которых получим:  $T = 1710 \, \text{м}^2/\text{сут}$ .

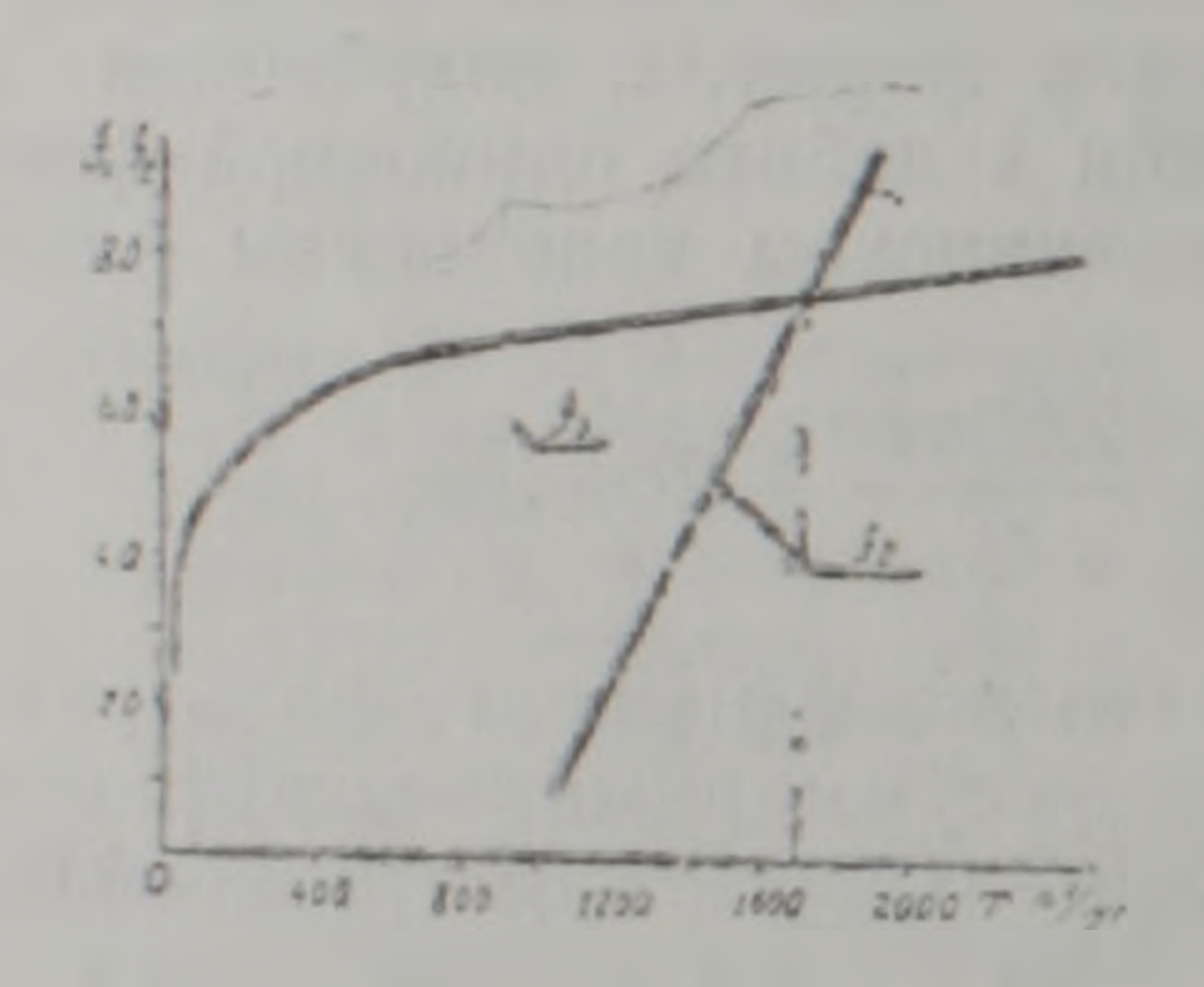


Рис. 1

Иной раз, для расчета T можно избегать построения графиков, если по аналогии для данного региона известен характерный пределизменения  $F_0$  в формуле (1), например, для фонтанирующих скважин Араратской равнины этот предел составляет (15..22).

Имея в виду это, для определения Т, из уравнения (1), получим

следующую модификацию:

$$T = \frac{F_0 Q}{4\pi (H_n - \eta Q^2)}.$$
 (4)

Значение Т определяется методом постепенного приближения. Задавая в первом приближении какое-либо значение  $F_0$  из вышеотмеченных пределов, определяется значение T, с помощью последнего уточняется  $F_0$  и снова определяется T. Это повторяется до тех порпока новое значение T будет незначительно отличаться от предыдущего. Отметим, что формула (4) не так чувствительна к значениям Q. как формула (3).

При сложных гидрогеологических условиях для более точного определения значений гидрогеологических параметров артезианского

водоносного пласта, особенно в ходе проектирования крупных водозаборов, необходимо использовать метод математического моделирования фонтанирующих скважин на гидроинтеграторе путем решения обратной задачи.

#### ЛИТЕРАТУРА

1. Веригин Н. Н., Васильев С. В., Саркисян В С., Шержуков Б. С. Гидродинамичес кие и физико-химические свойства горных пород. М.: Недра. 1977, 271 с.

2. Казарян С. М. Водный объем на фоне вертикального дренажа Ереван Айастан

1988, 270 c.

3. Мироненко В. А., Шестаков В. М. Теория и методика интерпретации опытно-фильтрационных работ. М.: Недра, 1978, 325 с.

Известия НАН РА, Науки о Земле, 1996, XLIX, №1-3, 93-95

КРАТКИЕ СООБЩЕНИЯ

## РЕЗУЛЬТАТЫ ИЗМЕРЕНИЙ ОБЩЕГО СОДЕРЖАНИЯ ОЗОНА НАД ТЕРРИТОРИЕЙ АРМЕНИИ В 1990—95 ГГ.

© 1996 г. Д. О. Мелконян, П. А. Матевосян, М. Г. Мнацаканян, С. Г. Саркисян

Государственный инженерный университет Армении 375009 Ереван, ул. Теряна 105, НИЧ, Республика Армения Поступила в редакцию 7. 05.96.

Озоновый слой атмосферы Земли является основным поглотителем ультрафиолетовой радиации (УФР) Солнца, которая обладает многообразным воздействием на биосферу. В частности, известно [3], что повышение уровня УФР на земной поверхности, в особенности ее так называемой Б-компоненты (в интервале длин волн 1750—3200 ангстрем), приводит к понижению и подавлению воспроизводимости растений, к подавлению иммунитета, возникновению кожных заболеваний (от дерматита до рака), к катаракте и поражению сетчатки глаз (вплоть до слепоты) у человека и животных и т. д.

На большей части высокогорной территории Армении, находящейся в условиях высокого естественного фона УФР, повышение среднего уровня УФР представляет серьезную опасность для ее растительного и животного мира (включая людей). Поэтому вопрос о систематическом контроле состояния озонового слоя над территорией Армении об-

ладает особой актуальностью.

Измерения общего содержания озона (ОСО) в атмосфере над территорией Армении выполнены в результате многолетнего сотрудничества Государственного инженерного университета Армении (ГИУА) с Институтом экспериментальной метеорологии (НПО «Тайфун», г. Обнинск, РФ).

Для проведения измерений ОСО был использован озонометрический пункт ГИУА в г. Ереване, оснащенный аппаратурой для автоматического наведения и слежения за Солнцем, разработанной на кафедре Автоматики и телемеханики ГИУА.

В качестве измерительной аппаратуры использован предоставленный НПО «Тайфун» фильтровый озонометр М-124, разработанный в

водоносного пласта, особенно в ходе проектирования крупных водозаборов, необходимо использовать метод математического моделирования фонтанирующих скважин на гидроинтеграторе путем решения обратной задачи.

#### ЛИТЕРАТУРА

1. Веригин Н. Н., Васильев С. В., Саркисян В С., Шержуков Б. С. Гидродинамичес кие и физико-химические свойства горных пород. М.: Недра. 1977, 271 с.

2. Казарян С. М. Водный объем на фоне вертикального дренажа Ереван Айастан

1988, 270 c.

3. Мироненко В. А., Шестаков В. М. Теория и методика интерпретации опытно-фильтрационных работ. М.: Недра, 1978, 325 с.

Известия НАН РА, Науки о Земле, 1996, XLIX, №1-3, 93-95

КРАТКИЕ СООБЩЕНИЯ

## РЕЗУЛЬТАТЫ ИЗМЕРЕНИЙ ОБЩЕГО СОДЕРЖАНИЯ ОЗОНА НАД ТЕРРИТОРИЕЙ АРМЕНИИ В 1990—95 ГГ.

© 1996 г. Д. О. Мелконян, П. А. Матевосян, М. Г. Мнацаканян, С. Г. Саркисян

Государственный инженерный университет Армении 375009 Ереван, ул. Теряна 105, НИЧ, Республика Армения Поступила в редакцию 7. 05.96.

Озоновый слой атмосферы Земли является основным поглотителем ультрафиолетовой радиации (УФР) Солнца, которая обладает многообразным воздействием на биосферу. В частности, известно [3], что повышение уровня УФР на земной поверхности, в особенности ее так называемой Б-компоненты (в интервале длин волн 1750—3200 ангстрем), приводит к понижению и подавлению воспроизводимости растений, к подавлению иммунитета, возникновению кожных заболеваний (от дерматита до рака), к катаракте и поражению сетчатки глаз (вплоть до слепоты) у человека и животных и т. д.

На большей части высокогорной территории Армении, находящейся в условиях высокого естественного фона УФР, повышение среднего уровня УФР представляет серьезную опасность для ее растительного и животного мира (включая людей). Поэтому вопрос о систематическом контроле состояния озонового слоя над территорией Армении об-

ладает особой актуальностью.

Измерения общего содержания озона (ОСО) в атмосфере над территорией Армении выполнены в результате многолетнего сотрудничества Государственного инженерного университета Армении (ГИУА) с Институтом экспериментальной метеорологии (НПО «Тайфун», г. Обнинск, РФ).

Для проведения измерений ОСО был использован озонометрический пункт ГИУА в г. Ереване, оснащенный аппаратурой для автоматического наведения и слежения за Солнцем, разработанной на кафедре Автоматики и телемеханики ГИУА.

В качестве измерительной аппаратуры использован предоставленный НПО «Тайфун» фильтровый озонометр М-124, разработанный в

ГГО им. Воейкова (г. Санкт-Петербург, РФ), откалиброванный на ПЭБ ГГО в 1991 г.

Припции определения ОСО основан на свойстве селективного по-

ти спектра 280-330 им.

ОСО определяется в  $a\tau m/cm$  или Добсоновских единицах ( $\mathcal{A}.e$ ); при этом число  $\mathcal{A}.e$ . означает приведенную к нормальным условиям (давлению 1013 гПа и температуре 0°С) толщину озонового слоя над пунктом наблюдений в вертикальном направлении, измеренную в миллиметрах и умноженную на 100. Иначе говоря, 1  $\mathcal{A}.e.=10^{-3}$   $a\tau m/cm$ .

Определение ОСО производится по разработанной в ГГО методике

согласно специальным озонным диаграммам.

Предел допустимой погрешности определения ОСО не превышает 8% по отношению к образцовому средству измерения—спектрофотометру Добсона, используемому для калибровки озонометров на ПЭБ ГГО.

Озопометрами М-124 оснащена вся озопометрическая сеть РФ; эти озопометры являются одним из основных применяемых в мире при-

боров для измерения ОСО

Полученные результаты измерений приведены в табл. 1. Неполнота данных по зимним месяцам объясняется отсутствием достаточного

кольчества ясных солнечных дней в течение этих сезонов.

Характерной особенностью, отмеченной по результатам наблюдений за ОСО [1,2], подтвержденной также в наших наблюдениях, является высокая межсуточная изменчивость значений ОСО. Эти изменения зависят от характера и активности синоптических процессов и концентрации аэрезольных примесей в атмосфере [1,2]. Вместе с тем, эти резкие межсуточные колебания значений ОСО проходят на фоне стчетливо выраженного сезонного хода, имеющего годичный цикл (см. табл. 1). Поэтому динамика изменений ОСО исследуется в основном по распределению среднемесячных—в лучшем случае декадных значений ОСО.

Таблица 1 Среднемесячные значения ОСО над ереванским озонометрическим пунктом в 1990—95 г. г. (в Д. е.)

Месяцы	Годы						
	1990	1991	1992	1993	1994	1995	
Февраль		300		_		278	
Mapr			353	327	1000	259	
Апрель	253	309	319	303	281	275	
Май	236	298	303	271	264	266	
Июнь	228	293	2×5	248	245		
Июль	240		253	239	231	212	
Сентябрь	238	239	251	236	2 <b>2</b> 5	223	
Октябрь	243	236	248	23 !	227	22.	
Ноябрь		280	249	2 <b>2</b> 5	227	242	

Согласно полученным данным, в целом наиболее высокие среднемесячные значения ОСО наблюдались в 1992 г. Отнесенные к уровню этого года среднемесячные значения ОСО в 1990, 1991, 1993—95 гг. 18%), а также сравнительная оценка среднегодовых уровней ОСО для тех же лет приведена в таблице 2.

Если принять во внимание, что по данным [2], в 1990—95 гг. в ссверном полушарии наблюдалось общее понижение значений ОСО в среднем на несколько процентов в год, то, по данным табл. 2, в дина-

мике озонового слоя над территорией Армении наблюдались некоторые региональные особенности, приведшие в 1990—92 гг. к возрастанию содержания озона в среднем около 6% в год.

Сравнительные данные среднемесячных и среднегодовых значений ОСО в отношении к 1992г. (в%)

Месяцы	1	Годы					
	1990	1991	1 1993	1994	1995		
Марг Апрель Май Июнь Июль Сентябрь Октябрь	79.3 77.9 80.0 94.9 94.8 98.0	96.9 98.3 102.8 95.2 95.2	92.6 95.0 89.4 87.0 94.5 94.0 93.5	88.1 87.1 86.0 91.3 89.6 91.5	73.4 86.2 87.8 83.8 88.8 89.5		
Среднегодоные	87.5	97.7	92.3	89,0	84.9		

В 1992—95 гг. отмечалось постоянное снижение ОСО над территорией Армении, в среднем на 4,5% в год. При этом в период ежегодного зимне-весеннего максимума ОСО, пик которого обычно приходится на март, темпы снижения ОСО (8—9% в год) были существенно выше, чем в период осеннего минимума, наблюдаемого обычно в сентябре—4% в год.

Известно расчетное соотношение между изменениями ОСО и УФР: уменьшение (увеличение) ОСО на 1% влечет за собой увеличение (уменьшение) уровня УФР в среднем на 1,5—2% Поэтому, увеличение, папример, сентябрьской дозы облучения УФР территории Армении в 1995 г. по сравнению с 1990 и 1992 гг. согласно расчетам по данным

табл. 2 составило соответственно 9-12 и 18-24%.

Следует отметить, что хотя и реальное изменение доз УФР в определенной степени зависит также от облачности, прозрачности атмосферы и ряда других факторов, однако в зоне высокогорья, где прозрачность атмосферы сравнительно высока, в среднем реальные измезрачность атмосферы сравнительно высока, в среднем реальные измезрачность.

нения УФР будут близки к расчетным.

Согласно данным доклада ООН, посвященного данной проблеме, увеличение средних доз УФР на 1% повышает заболеваемость населения раком кожи на 1,5—1,6%. В Армении не проводилось пока специальных исследований по выявлению реальной связи между ОСО и заболеваемостью населения раком кожи. Поэтому, ограничиваясь только расчетными данными, можно утверждать, что риск заболеваемости в 1995 г. по сравнению с 1990 и 1992 гг. по крайней мере, в высокогорных районах Армении возрос соответственно на 12—19 и на 27—38%.

Таким образом, из результатов проведенных измерений следует необходимость дальнейших систематических наблюдений ОСО и прямых измерений уровия УФР с целью контроля и прогнозирования эко-

логической обстановки на территории Армении.

#### ЛИТЕРАТУРА

1. Гущин Г. П. Озон и аэросиноптические условия. Л.: Гидрометеоиздат, 1964. 2. Хргиан А. Х. Физика атмосферного озона. Л.: Гидрометеоиздат, 1973

3. Our Radiant Planet. Greenpease, October, 1995.